Государственный комитет СССР по гидрометеорологии

Труды

ордена Трудового Красного Знамени Главной геофизической обсерватории им. А.И.Воейкова

Выпуск 523

МЕТОЛИКА И ТЕХНИЧЕСКИЕ СРЕДСТВА
ОБЕСПЕЧЕНИЯ
МЕТЕОРОЛОГИЧЕСКИХ НАБЛЮДЕНИЙ

Под редакцией канд. техн. наук Е.В.Романова и канд. геогр. наук Т.П.Светловой



Ленинград Гидрометеоиздат 1989

06 778

VIIK 551,50T

Рассматриваются вопросы развития методики и технических средств обеспечения метеорологических наблюдений с учетом задач их автоматизации: метеорологическое обеспечение воздушного движения и дальнейшее совершенствование алгоритмов контроля и обработки метеорологической информации; исследование погрешностей, возникающих при наблюдениях за различными метеорологическими величинами; требования к приборам и оборудованию, используемым для наблюдений и метеообеспечения авиации.

Сборник рассчитан на специалистов управлений по гидрометео-рологии, а также преподавателей и студентов вузов и техникумов по специальности метеорология и метеорологические измерения.

The publication deals with the problems of developing procedures and technique for supporting meteorological observations with due regard for their automation.

The questions are examined concerning air traffic meteorological support and further improvement of the algorithms for checking and processing meteorological information. Results are presented of studying errors that arise in observations of different meteorological parameters, as well as requirements for instruments and equipment applied to observations and meteorological support of aviation.

The publication is meant for specialists of regional administrations for hydrometeorology and control of natural environment, as well as for teachers and students specializing in meteorology and meteorological measurements.



M 1805040400-018 47-88(I) 069(02)-89 ISBN 5-286-00485-7

© Главная геофизическая обсерватория им. А.И.Воейкова (ITO), 1989.

П.Я.Никишков

ТРЕБОВАНИЯ К МЕТЕООБОРУДОВАНИЮ, ПРЕДНАЗНАЧЕННОМУ ДЛЯ ПОЛУЧЕНИЯ МЕТЕОИИФОРМАЦИИ, НЕОБХОДИМОЙ ПРИ ОБЕСПЕЧЕНИИ ВЗЛЕТА И ПОСАДКИ ВОЗДУШНЫХ СУЛОВ НА АЭРОЛРОМАХ ТА

Посадка воздушного судна при метеоусловиях, близких к минимуму, может бить успешной, если:

- пилот этого воздушного судна уверенно обнаружит вздетнопосадочную полосу (ВШ) котя бы на уровне порогового контраста на расстоянии, равном или большем установленного минимума по дальности видимости, и в процессе посадки до приземления сохранит визуальный контакт с ВШ;
- висота принятия решения на посадку будет равна или больше 0,75 фактической висоты нижней границы облаков (вертикальной видимости) /I/;
- воздействие ветра на воздушное судно при приземлении не создает опасной ситуации;
- на линии глиссани не будет опасных для авиации метеорологических явлений /2/ (гроза, град, ледяной дождь, шквал, смерч, умеренное и сильное обледенение, гололед, сильная болтанка, сильный и очень сильный сдвиг ветра).

Успешний взлет воздушного судна при значениях метеовеличин, близких к минимуму, возможен тогда, когда при разбеге и отрыве воздушного судна от ВШ пилот его не утратит визуального контакта с ориентирами (огнями), ограничивающими ВШ; воздействие ветра на воздушное судно не создаст опасной ситуации; при взлете и наборе внсоти не встретятся опасные для авиации метеорологические явления (гроза, град, ледяной дождь, шквал, смерч, умеренное и сильное обледенение, сильная болтанка, сильный и очень сильный сдвиг ветра). Выполнение этих условий возможно, если пилот воздушного судна и диспетчеры управления движением самолетов заблаговременно получат достоверную информацию о следующих метеорологических величинах и явлениях:

- дальности видимости на ВШІ (желательно о дальности посадочной видимости или наклонной дальности видимости) и метеорологической дальности видимости;
- высоте нижней границы облаков (вертикальной видимости) и их количестве;
 - параметрах ветра;

- атмосферном давлении (давлении на ВШТ):
- температуре и влажности воздуха;
- местоположении и интенсивности опасных для авиации метеорологических явлений (грозы, града, ледяного дождя, шквала, смерча, умеренного и сильного обледенения, гололеда, сильной болтанки, сильного и очень сильного сдвига ветра).

Получение перечисленного выше состава метеоинформации с необходимой заблаговременностью и достоверностью возможно, если метеосборудование аэродромов будет удовлетворять требованиям, изложенным ниже /3/.

I. Требования к измерителям (регистраторам) дальности видимости

Чтоби знать расстояние, с которого пилот воздушного судна, производящего посадку, уверенно обнаружит ВШ и до посадки не утратит визуальный контакт с ней, необходима информация о посадочной дальности видимости. Посадочная дальность видимости — максимальное расстояние, с которого пилот воздушного судна, находящегося на линии глиссади, уверенно обнаружит ВШ при конкретных яркостных характеристиках ВШ (маркировка, огни), фона и состояния атмосфери по линии глиссади.

Предпринятие попитки определения посадочной дальности видимости, например, по метеорологической дальности видимости, коэффициенту видимости ВШ, отношению яркости дымки (тумана) в слое,
равном дальности видимости, к яркости ВШІ /4/; по уравнениям
дальности видимости /5/; послойному определению среднего показателя ослабления с некоторой дискретностью с помощью ЭВМ метеорологических измерительных систем /6/; по градиентным измерениям
прозрачности с помощью нефелометров, устанавливаемых на различных
высотах /7/, практического применения не получили.

Не производится определения (измерения) наклонной дальности видимости, которая могла би бить более близкой к посадочной дальности видимости, котя бил предложен ряд методов определения ее (например, по результатам зондирования лучом света под некоторым углом /8/), оценен необходимый угол зондирования /9/ и ведутся опытно-конструкторские работы по созданию технических средств.

В последние годы в практику метеорологического обеспечения взлета и посадки воздушных судов гражданской авиации введена выдача информации о дальности видимости на ВШ /I, 2/ и метеорологической дальности видимости. Дальность видимости на ВШ - макси-

мальное расстояние, с которого пилот воздушного суйна, находящегося над осевой линией ВШ, может видеть маркировку покрытия ВШ или огни, обозначающие контуры ВШ и ее осевую линию. Метеорологическая дальность видимости (МДВ) — максимальное расстояние, на котором в светлое время суток под воздействием атмосферной цымки (тумана) утрачивается восприятие черной поверхности с угловыми размерами 15х15°/3/.

Дальность видимости на ВШ является одним из наиболее важных элементов метеоинформации, необходимой при обеспечении взлета и посадки воздушных судов. По дальности видимости на ВШ и высоте принятия решения устанавливаются минимумы командира воздушного судна, аэродрома и воздушного судна /I/. Например, для аэродромов, обеспечивающих посадку по минимуму I категории, установлена дальность видимости на ВШ 800 м, высота принятия решения 60 м; П категории — дальность видимости на ВШ от 800 до 400 м, высота принятия решения от 60 до 30 м; Ш категории — дальность видимости на ВШ менее 400 м, высота принятия решения менее 30 м. При МДВ более 2000 м метеоусловия считаются простыми /I/.

Практически дальность видимости на ВШ не может бить измерена непосредственно на ВШ, она не может бить результатом наблюдения или измерения, как, например, атмосферное давление, скорость и направление ветра. Она является результатом оценки, основанной на расчетах, учитывающих различние факторы, в том числе атмосферные (коэффициент пропускания на определенной базе или метеорологическую дальность видимости, освещенность, силу света огней ВШ или контрастность маркировки поверхности ВШ).

Коэффициент пропускания атмосферы на определенной базе подвержен значительным изменениям во времени (флуктуации) и в пространстве, причем чем меньше длина измерительной базы, тем больше флуктуации. Кроме того, длина измерительной базы всегда меньше измеряемой дальности видимости. В результате этого дальность видимости на ВШ, выдаваемая в метеоинформации на посадку, не совпадает с дальностью видимости, определяемой пилотом воздушного судна при посадке /IO/.

Исходя из вышеизложенного, технические средства, предназначенные для определения дальности видимости на ВШ и метеорологической дальности видимости, должны обеспечивать:

- определение (вычисление) дальности видимости на ВШ в диапазоне от 50 до 2000 м. Предел допускаемой погрешности определения дальности видимости на ВШ должен быть не более: 25 м в диапазоне до 150 м; 50 м в дианазоне от 150 до 500 м; 100 м в диапазоне от 500 до 1000 м и 200 м в диапазоне от 1000 до 2000 м:

- округление вичисленных значений дальности видимости на ВШ в сторону наименьшего значения, кратного: 25 м при дальности видимости на ВШ до I50 м; 50 м при дальности видимости на ВШ от I50 до 800 м; I00 м при дальности видимости на ВШ от 800 до I200 м и 200 м при дальности видимости на ВШ более I200 м /II/. Округленная в сторону наименьшего значения информации о дальности видимости на ВШ с большей вероятностью свидетельствует, что дальность видимости на ВШ при посадке или взлете будет не меньше выданного значения.

Технические средства для определения (вычисления) дальности видимости на ВШ должны состоять из средств измерения коэффициента пропускания в определенном слое атмосферы или метеорологической дальности видимости и дальности видимости огня, средств измерения освещенности, вычислителей дальности видимости на ВШ. Технические средства для определения дальности видимости на ВШ должны удовлетворять следующим требованиям:

- измерители коэффициента пропускания должны обеспечивать измерение коэффициента пропускания (прозрачности) в слое, соответствующем длине базы, в диапазоне от 5 до 90 % с общей погрешностью не более 3 %, производить скользящее осреднение (сглаживание) измеренных значений за период от 30 до 60 с;
- измерители метеорологической дальности видимости должны обеспечивать измерение МДВ в диапазоне от 20 до 2000 м с относительной приведенной погрешностью не более I5 % в диапазоне от 20 до 250 м и I0 % в диапазоне от 250 до 2000 м;
- измерители яркости фона должны обеспечивать измерение яркости фона в диапазоне от 4 до I2 000 кд на I кв. м с относительной приведенной погрешностью не более I0 %;
- вичислительние устройства для вичисления дальности видимости на ВШ должни обеспечивать автоматический прием сигналов от средств измерения вышеуказанных параметров, производить вичисление дальности видимости на ВШ с учетом сили света включенных на ВШ огней, производить округление вичисленных значений дальности видимости на ВШ и выдавать на средства отображения не менее трех значений дальности видимости на ВШ. Относительная погрешность приема и обработки сигналов и вичисления дальности видимости на ВШ вичислительного устройства не должна превышать 5%.

Желательно, чтобы вычислительные устройства для вычисления дальности видимости на ВШ могли при вычислении дальности видимости на ВШ учитывать следующие факторы:

- порог освещенности глаза с учетом условий наблюдения, в котором находится пилот воздушного судна:
- влияние остекления кабины воздушного судна на видимость BIIII :
- суммарный эффект ряда огней, вызванный их слиянием из-за интервалов и углов. пол которыми они наблюдаются.
- 2. Требования к измерителям (регистраторам) висоты нижней границы облаков (вертикальной видимости)

Информация о количестве и висоте нижней граници облаков (ВНГО), а в тумане и сильных осадках о вертикальной видимости (ВВ) имеет важное значение при обеспечении посадки воздушных судов, так как высота установления визуального контакта пилота воздушного судна зависит от ВНГО (ВВ). Поэтому в минимумы командира воздушного судна, аэродрома и воздушного судна вместе с дальностью видимости на ВПП входит высота принятия решения или высота нижней границы облаков /І/. Высота принятия решения при посадке по минимуму П категории менее 30 м (нижний предел диапазона измерения). При высоте нижней границы облаков 200 м и более метеоусловия считаются простыми /І/.

Высота нижней границы облаков — расстояние по вертикали между поверхностью суши (воды) и нижней границей самого низкого слоя облаков /I, 2/. Нижняя граница облаков имеет сложную структуру и представляет собой переходный слой переменной оптической плотности. Плотной части облака предшествует предоблачный слой. Предоблачный слой слоистых облаков может иметь толщину 200 м. Колебания высоты нижней границы облаков достигают 100 м и более /I2/.

При тумане или сильных осадках предоблачный слой распространяется до поверхности земли (води), при этом плотность их с высотой увеличивается даже тогда, когда их структура по площади остается одинаковой /I2/. Поэтому при тумане и сильных осадках должна измеряться не высота нижней границы облаков, а вертикальная видимость. Вертикальная видимость — максимальное расстояние от поверхности земли до уровня, с которого вертикально вниз видны объекти на земной поверхности /2/. Измеряемая о помощью ИВО (РВО-2) /2/ вертикальная видимость не соответствует вышеизложенному определению, так как она является высотой светового пятна, имеющего яркость, соответствующую пороговой, чувствительности приемника.

Большая изменчивость высоты нижней границы облаков (верти-

кальной видимости) во времени и в пространстве /I3/ приводит к тому, что информация о ВНГО и вертикальной видимости, полученная по единичным измерениям с помощью ИВО (РВО-2), как правило, не совпадает с высотой нижней границы облаков (вертикальной видимостью) или высотой принятия решения на посадку, определяемой пиломом воздушного судна /I4/. Кроме того, при обеспечении посадки по минимумам II и II категорий, когда информация о высоте нижней границы облаков (вертикальной видимости) обновляется каждую минуту, информацию о них, полученную по единичным измерениям, использовать невозможно, особенно при значениях, близких к высоте принятия решения на посадку.

Исходя из вышеизложенного средства измерения висоти нижней граници облаков (вертикальной вилимости) полжни обеспечивать:

- непрерывные измерения ВНГО (ВВ) с временным интервалом не более IO с со скользящим осреднением и выдачей минимального значения за один из I, 2, 3, 4 и 5-минутных интервалов времени;
- измерение ВНГО (ВВ) в диапазоне от 15 до 1000 м с пределом допускаемой погрешности: 15 м в диапазоне от 15 до 150 м; (10 + 0,07 h) м в диапазоне от 150 до 500 м; (10 + 0,1 h) м в диапазоне от 500 до 1000 м, где h висота нижней граници облаков.
- 3. Требования к измерителям (регистраторам) параметров ветра

Скорость и направление ветра являются важными метеорологическими элементами при оценке метеорологической ситуации для закода на посадку, для посадки, пробега и руления воздушного судна, а также для разбега, отрива от ВШ и для висоти набора.

При определенных значениях скорости и направления ветра, превышающих установленный минимум командира воздушного судна или воздушного судна, ветер рассматривается опасным для авиации метеорологическим явлением. По скорости и направлению ветра определяется рабочий курс аэродрома.

Влияние приземного ветра на посадку и взлет воздушного судна зависит от скорости и направления ветра относительно курса посадки и взлета или относительно ВШ. Максимально допустимая скорость бокового ветра для большинства воздушных судов гражданской авиации ограничивается 12 м/с при корошем сцеплении с ВШ (сухая ВШ). При посадке на мокрую ВШ максимально допустимая скорость бокового ветра снижается до 8 м/с, а при гололеде — до 3 м/с.

Ограничений по встречному ветру при посадке и взлете тяжелых

воздушных судов практически нет, но с увеличением скорости ветра, как правило, усиливается турбулентность. Ограничения по встречному ветру для легких воздушных судов зависят от максимальной посадочной скорости. Попутный к курсу взлета и посадки воздушного судна ветер увеличивает длину его разбега или пробега, увеличивает силу удара приземляющегося воздушного судна о ЕШ. Максимально допустимая скорость попутного ветра, как правило, не превышает 5 м/с /9/.

Следовательно, для исключения опасных воздействий приземного ветра на воздушное судно при взлете его или приземлении необходима информация о векторе ветра относительно ВШ или о перпендикулярной составляющей к ВШ скорости ветра и направлении относительно истинного ветра (или магнитного, если магнитное склонение на аэродроме составляет 10° и более).

Турбулентний характер ветра в приземном слое атмосферы обусловливает сложную картину пространственно-временной изменчивости параметров ветра. В целях получения более объективной информации о параметрах ветра, необходимой для обеспечения взлета и посадки воздушных судов, измерение параметров ветра следует производить на высоте не менее 6 м от поверхности земли (6-ІО м) и в местах, по возможности максимально приближенных к точкам приземления и взлета воздушных судов.

Туроулентный характер ветра в приземном слое по внешней форме проявления представляет собой случайный процесс /І5/, для описания которого статистический подход оказывается наиболее рациональным. Ветровое поле разделяется на поле средних значений и поле пульсаций миновенных значений относительно среднего уровня. Практически необходимо обеспечить измерение средних во времени значений скорости и направления ветра, а также максимальных порывов миновенной скорости ветра.

Для оперативного метеорологического обеспечения посадки воздушного судна информация о параметрах ветра должна быть репрезентативной на период посадки и пробега, взлета — на период руления, разбега и взлета (около 2 мин). Для приема воздушных судов, находящихся на трассе, информация о параметрах ветра должна быть репрезентативной на период подхода к аэродрому и захода на посадку (на период времени от IO до 30 мин). Исходя из этого рекомендованы следующие временные интервалы осреднения:

 2-минутный интервал осреднения скорости ветра в информации, предназначенной для обеспечения взлета и посадки воздушных судов;

- 10-минутный интервал осреднения скорости ветра в информации, предназначенной для обмена между аэродромами и передачи экинажам воздушных судов, находящихся на маршрутах /16/;
 - 2-минутное осреднение направления ветра;
- вноор максимального значения скорости ветра за IO-минутный интервал времени во всех видах передаваемой информации о параметрах ветра /32/.

Максимальные значения скорости ветра должны осредняться за интервал времени от 2 до 5 с /I6, I7/.

Исходя из вышеизложенного измерители (регистраторы) параметров ветра должни обеспечивать:

- измерение мгновенной скорости ветра ($\mathcal{V}_{\text{мгн}}$), осредненной за счет инерции измерительной схемы, за период от 2 до 5 с в дианизоне от I до 55 м/с с погрешностью не более \pm (0,5+0,05 $\mathcal{V}_{\text{мгн}}$) м/с;
- измерение направления ветра, осредненного за I мин, в диапазоне от 0 до 360^{0} с погрешностью $\pm 8^{0}$;
- скользящее осреднение (сглаживание) скорости ветра (\mathcal{V}_{CP}) в дианазоне от I до 40 м/с с погрешностью $\pm (0.5+0.05~\mathcal{V}_{\text{CP}})$ м/с;
- скользящий вноор максимальной скорости ветра ($\mathcal{V}_{\text{MAKC}}$) в диапазоне от 3 до 60 м/с с погрешностью \pm (I,0+0,07 $\mathcal{V}_{\text{MAKC}}$) м/с;
- порог чувствительности первичного измерительного преобразователя параметров ветра должен бить по скорости ветра не более 0,6 м/с;
- должна быть обеспечена установка первичного измерительного преобразователя параметров ветра на мачте высотой от 6 до IO м.

Распределение ветра в приземном слое атмосферы (до высоты 100 м) оказывает существенное влияние на воздушное судно, производящее взлет или посадку. Имея малое время, ограниченный запас высоты, скоросты, приемистость двигателей, пилот воздушного судна не всегда может своевременно парировать влияние резкого изменения ветра, т.е. сильный и очень сильный сдвиг ветра. Опасными для современных воздушных судов считаются сдвиги, превышающие 4 м/с на 30 м высоты (сильные и очень сильные) /12/.

Сдвиг ветра — это изменение ветра в пространстве, описывае—мое векторной разностью скоростей, между двумя точками. В зависимости от расположения этих точек различают вертикальный сдвиг ветра (изменение горизонтальной составляющей ветра по вертикали), горизонтальный сдвиг ветра (изменение горизонтальной составляющей ветра на заданной висоте), а также сдвиг ветра в заданном направлении в пространстве (например, идоль траектории движения воздуш-

ного судна — линии глиссады). Кроме того, в нижних слоях атмосферы встречаются зоны восходящих или нисходящих потоков, которые в отличие от туроулентности, вызывающей болтанку воздушных судов, имеют большую протяженность и приводят соответственно к подъему или опусканию воздушного судна в полете в течение десятков секунд и более /18/.

Наибольшие вертикальные сдвиги ветра наблюдаются в слое от земли до 50 м, причем сильные и очень сильные встречаются соответственно в 3 и 0,5 % сдучаев, а сильные горизонтальные сдвиги ветра — в 0,1 % случаев. Вертикальные потоки воздуха в 100-м слое над поверхностью земли могут достигать 10 м/с /18/.

В связи с опасностью, которую представляют сдвиги ветра в приземном слое (50-IOO м) от поверхности земли, в материалах ИКАО /19/ дани требования к информации о сдвигах ветра, которая должна заблаговременно передаваться пилоту воздушного судна, производящего взлет или посадку. Рекомендовани следующие численные критерии качественных характеристик сдвига ветра на 30 м висоти: слабий – от 0 до 2 м/с, умеренный – от 2 до 4 м/с, сильный – от 4 до 6 м/с, очень сильный – более 6 м/с.

По направлению воздействия рекомендована передача следующей информации о сдвигах ветра:

- отридательний компонента сдвига ветра направлена противоположно направлению курса полета воздушного судна;
- положительный компонента сдвига ветра по направлению совпадает с курсом полета воздушного судна;
- левий компонента сдвига ветра направлена поперек курса полета влево от направления движения воздушного судна;
- правый компонента сдвига ветра направлена поперек курса полета вправо от направления движения воздушного судна.

В настоящее время нет технических средств, которые могли бы надежно измерять параметры ветра в слое от земли до высоты 100 м вдоль линии глиссады или по траектории взлета воздушного судна. Оперативно используемые на аэродромах средства прямых измерений параметров ветра (основные — на высоте 6—10 м и дополнительные — на высоте 30 м и более, шаропилотные), позволяют производить измерения на некотором удалении от линии глиссады или траектории взлета воздушного судна и лишь частично удовлетворяют требованиям обеспечения безопасности посадки и взлета воздушных судов по воздействию сдвигов ветра.

Исследования сдвигов ветра и турбулентности в нижнем 300метровом слое атмосферы /20/ показали, что сдвиги ветра в приземном слое носят локальный и кратковременный характер. Поэтому для получения достоверной информации о сдвигах ветра и турбулентности, которые может встретить воздушное судно при взлете и посадке, необходимы технические средства, позволяющие обнаруживать сдвиги ветра и турбулентность на линии глиссады и по траектории взлета воздушного судна и в районе аэродрома.

4. Требования к измерителям атмосферного давления

Информация об атмосферном давлении (давлении на аэродроме /I/) при обеспечении взлета и посадки воздушных судов необходима для определения высоты воздушного судна, так как основным навигационно-пилотажным прибором на воздушном судне является барометрический высотомер, показания которого выставляются по атмосферному давлению, измеренному органами метеослужбы на аэродроме взлета при взлете и на аэродроме посадки при посадке воздушного судна /I/.

Давление на аэродроме - атмосферное давление в миллиметрах ртутного столба или в гектопаскалях (гПа) на уровне ВШ.

При посадке воздушного судна на конечном этапе (при висоте 150 м и менее) висота воздушного судна определяется по радиовисо-томеру с установкой сигнализатора радиовисотомера на определенную висоту (согласно руководству по летной эксплуатации /I/). Поэтому, учитывая изменение атмосферного давления на I гПа на 10 м высоти в приземном слое атмосферы (барометрическая ступень), измерение атмосферного давления с пределом допускаемой погрешности 0.5 гПа (мм рт.ст.) можно считать вполне допустимым.

Для анализа поля давления по площади используется атмосферное давление, приведенное к единому уровню — уровню моря. Атмосферное давление, приведенное к уровню моря, используется в информации, применяемой для обмена между аэродромами.

Атмосферное давление на уровне моря изменяется в пределах от 880 до I080 гПа /2I/. Следовательно, верхним пределом измерения атмосферного давления следует считать I080 гПа. При определении нижнего предела измерения атмосферного давления необходимо учитывать наличие высокогорных аэродромов, где атмосферное давление может понижаться до 600 гПа.

Во времени атмосферное давление изменяется в среднем на $\pm 0,5$ гПа за I ч, максимальные изменения атмосферного давления за I ч могут достигать 4 гПа.

Исходя из вышеизложенного, измерители атмосферного давления должны удовлетворять следующим требованиям:

- дианазон измерения атмосферного давления от 580 до 1080 г.Па:
- предел допускаемой погрешности измерения атмосферного давления 0,5 гПа, инструментальной – 0,35 гПа;
- значение вариаций при постоянном давлении не более 0.05 rПa:
- температурный коэффициент компенсации первичного измерительного преобразователя атмосферного давления не более 0,005 гПа на I $^{
 m OC}$;
- цена деления шкалы не менее 0,I тПа, а при цифровой индикации - до первого знака после запитой.

Требования к измерителям температуры и влажности воздуха

Температура воздуха оказывает незначительное влияние на взлетные и посадочные характеристики воздушных судов. Только значительные повышения температуры воздуха приводят к увеличению длины разбега и скорости отрыва воздушного судна, к увеличению посадочной скорости и длины пробега. У большинства воздушных судов с реактивными двигателями на каждые 10 °С повышения температуры воздуха при неизменных оборотах двигателей длина разбега увеличивается на 13 %, длина пробега — на 3,5 % /12/. Следовательно, измерение температуры воздуха с точностью ±1 °С, с точки зрения потребностей непосредственного обеспечения авиации информацией о температуре воздуха, можно считать вполне допустимым.

Диапазон измерения температуры воздуха определяется значениями ее, которые наолюдаются на территории СССР. Ниже -70 °C и выше +50 °C температура воздуха на территории СССР не наолюдается /2I/.

Влажность воздуха непосредственного влияния на взлет и посадку воздушных судов, за исключением вертолетов, не оказывает: Но информация о влажности воздуха является одним из важных исходных данных для предупреждения о возникновении таких опасных для авиации метеорологических явлений, как туман, дымка и низкая облачность.

Наиболее удобным термогигрометрическим параметром для предунпреждения о возникновении тумана, усилении дымки и понижении облачности является точка роси или дефицит точки роси. Точка роси →

скоростями ветра и перепадом давления.

Шквал — резкое кратковременное усиление ветра, сопровождающееся изменением его направления. Скорость ветра при шквале часто превышает 20-30 м/с.

Для обеспечения безопасности взлета и посадки воздушных судов очень важна информация о наличии и местоположении кучево-дождевых облаков, гроз, смерчей и шквалов в районе аэродрома и их интенсивности, особенно по курсу полета и линии глиссады при заходе на посадку и посадке, а также по траектории взлета и набора высоты.

Технические средства (метеорологические радиолокаторы), предназначенные для обнаружения кучево-дождевых облаков и гроз, должны удовлетворять следующим требованиям /3/:

- метеорологические радиолокатори должны обеспечивать обнаружение и определение местоположения кучево-дождевых облаков и осадков обложного характера; определять верхние границы и горизонтальные размеры облаков и площадей осадков; определять скорость и направление перемещения облаков и осадков, определять интенсивность и эволюцию кучево-дождевых облаков;
- метеорологический потенциал метеорологических радиолокаторов на диапазонах волн от 0,03 до 0,11 м должен быть не менее 270 дБ; должна быть обеспечена зона обзора по азимуту 360° , по углу места от I до 95° ; скорость обзора по азимуту должна быть от 0,5 до 36° в секунду, а длительность одного цикла обзора по углу места от 18 до 80 с;
- предел допускаемой относительной погрешности измерения наклонной дальности в зависимости от выбранного масштаба на индикаторе кругового обзора (ИКО) и индикаторе "дальность высота" (ИДВ) с помощью дальномерного устройства должен быть не более I %; предельное отклонение линии развертки индикаторов от оси диаграммы направлениости антенны должно быть не более 3°; погрешность коррекции мощности отраженных сигналов на расстоянии должна быть не более 3 дБ;
- динамический диапазон приемного устройства должен быть не менее 70 дБ;
- предел допускаемой погрешности измерения мощности отраженних сигналов, определяемый как разность между измеренным ослаблением мощности входного сигнала и значением соответствующей ступени "ИЗОЭХА", не должен превышать по абсолютному значению 3 дБ;
- основные масштабы индикаторов, в том числе выносных, долж+ ны онть: ИКО - 25, 50, IOO, 300 км; ИДВ - I2,5, 25, 50, IOO км;

- желательно обеспечить встроенный контроль работоспособности и определение блока, в котором произошел отказ; герметизацию волноводных трактов для защити от пыли и влаги; вращение антенни без радиопрозрачного ветрового укрытия при скорости не менее 17 м/с; регистрацию индикаторов (ИКО и ИДВ), дати и времени наблюдений, при этом срок наблюдений не должен увеличиваться более чем на 2-3 мин; обеспечить учет времени нахождения отдельных блоков МРЛ во включенном состоянии; автоматическую обработку значений отраженных от метеоцелей сигналов (4 %) по месту и времени.

Технические средства, предназначенные для обнаружения гроз (грозопеленгаторы, грозопеленгаторы—дальномеры), должны удовлет ворять следующим требованиям:

- обеспечивать пелентацию грозовых очагов в радиусе до 300 км и в зоне от 0 до $360^{\rm O}$, а грозопелентатори-дальномери обеспечивать определение местоположения грозовых очагов в зоне от 0 до $360^{\rm O}$ и в радиусе до 300 км;
- вероятность пеленгации гроз, находящихся в радиусе до 300 км, должна бить не менее 0,9; предел допускаемой погрешности определения азимута гроз должен бить не более 90, дальности в радиусе от 10 до 100 км 10 км, а определение местоположения гроз в дискретной градации в зоне от 100 до 300 км должно бить с вероятностью 0.9:
- виходные измерительные сигналы грозопеленгатора и грозопеленгатора-дальномера должны отображаться на автономном индикаторном устройстве и передаваться в цифровом коде на внчислительное устройство автоматизированной метеорологической измерительной системы (АМИС). Данные о числе грозовых разрядов должны формироваться для той же пространственной дисперсности, что и данные об азимуте и удалении грозовых очагов.

Обледенением называется отложение льда на обтекаемых частях воздушных судов, силовых установках и внешних деталях специального оборудования. Опасность обледенения при взлете, наборе высоти, посадке зависит от его интенсивности. Несмотря на то что на воздушных судах применяются различные средства борьби с обледенением, умеренное и сильное обледенение при посадке и взлете представляет большую опасность, так как отлагающийся при обледенении лед не только увеличивает массу воздушного судна, но и ухудшает его аэродинамические качества, что приводит к потере скорости и затрудняет управление.

Гололед - это матовый или прозрачный дед, нарастакщий на аэродромных постройках, подъездных дорогах, взлетно-посадочной

полосе, на воздушных судах, линиях связи и электропередачи. Гололед осложняет посадку воздушных судов, так как торможение колес становится малоэффективным, а при посадке с боковым ветром возникает опасное уклонение от нужного направления пробега, что может привести к выкатыванию воздушного судна за пределы ЕШІ.

В настоящее времи нет технических средств, непосредственно определяющих наличие и интенсивность обледенения воздушных судов и гололеда. Предупреждения о возможности обледенения воздушных судов даются на основании косвенных данных (наличие облаков и осадков, распределение температуры с высотой).

Закритие облаками вершин гор, сопок, перевалов, високих искусственных препятствий (труб, мачт и т.д.) определяется визуально.

Требования к автоматизированным метеорологическим измерительным системам

При метеорологическом обеспечении посадки и взлета воздушних судов по минимумам II и II категорий необходимо обеспечить обновление информации о дальности видимости на ВШП, высоте нижней граници облаков (вертикальной видимости), параметрах ветра через I мин, давлении на ВШП, температуре и влажности через I5 мин, об опасных для авиации метеорологических явлениях по возникновении о автоматической передачей информации на средства отображения (табло, дисплей и др.) и обязательной регистрацией передаваемой метеоинформации на средствах регистрации.

Следовательно, для метеорологического обеспечения взлета и посадки воздушных судов по минимумам П и Ш категорий необходимы автоматизированные метеорологические измерительные системы, которые должны удовлетворять следующим требованиям:

- автоматизированные метеорологические измерительные системы (АМИС) должны обеспечивать автоматическое измерение, обработку, выдачу на оредотва отображения и в каналы связи, регистрацию метеоинформации, необходимой для метеорологического обеспечения взлета и посадки воздушных судов по минимумам П и Ш категорий;
- АМИС должна обеспечивать измерение, выдачу и регистрацию метеоэлементов (дальность видимости на ВШІ и метеорологическую дальность видимости, высоту нижней границы облаков или вертикальную видимость, параметры ветра, давление на ВШІ и атмосферное давление, приведенное к уровню моря, темнературу и влажность вознуха, сведения об опасных для авиации метеорологических явлениях)

- в диапазонах и с пределами допускаемых погрешностей, указанных выше (ом. nn.1-6);
- минимальный период обновления информации о дальности видимости на ВШ и метеорологической дальности видимости, висоте нижней граници облаков (вертикальной видимости) и параметрах ветра должен бить не более I мин; о давлении на ВШ, атмосферном давлении, приведенном к уровню моря, температуре и влажности воздуха не более I5 мин. Должна бить предусмотрена возможность перехода на обновление метеоинформации через 2, 5, I5, 30 и 60 мин (дальность видимости на ВШ и МДВ, ВНГО (ВВ), параметри ветра) и через 30, 60 мин и через 3 ч (давление на ВШ и атмосферное давление, приведенное к уровню моря, температура и влажность воздуха). Информация об опасных для авиации метеорологических явлениях должна передаваться немедленно при возникновении во всех режимах обновления информации;
- при обновлении метеоинформации через 5, 15, 30 и 60 мин должна быть предусмотрена возможность обновления метеоинформации по запросу с контрольного индикатора и с выносных индикаторов через контрольный индикатор. Время получения метеоинформации после запроса не должно превышать I мин;
- в АМИС должна бить обеспечена возможность ручного ввода метеоинформации о метеоэлементах, неизмеряемых автоматически (количество и форма облаков, атмосферные явления, погода в срок наблюдения и между сроками наблюдений и др.). Должна бить предусмотрена возможность контроля и исправления метеоинформации, передаваемой на выносные индикаторы. На выносные индикаторы должна передаваться метеоинформация только после контроля на контрольном индикаторе;
- к АМИС должно подключаться не менее 7 индикаторов, из них [контрольный;
- вся метеоинформация, выдаваемая на выносные индикаторы и з линию связи, должна регистрироваться на средствах регистрации. Іолжна быть обеспечена однозначность метеоинформации, отображаемой на контрольном и выносных индикаторах. Время хранения зарежистрированной метеоинформации должно быть не менее 10 сут;
- дистанционность передачи метеоинформации на выносние индисаторы (от контрольного) по двум проводам аэродромной линии связи должна обеспечиваться на изину не менее 10 км:
- на средствах отображения должна быть обеспечена буквенноцифровая индикация следующей информации:
 - дальность видимости на ВШ (три значения), округленная в

сторону наименьшего значения, как указано в п.І:

- метеорологическая дальность видимости (минимальная из трех) в десятках метров;
- висота нижней граници облаков (вертикальная видимость) в десятках метров (осредненная или минимальная);
- направление ветра, осредненное за I мин, в градусах, кратних $10^{\rm O}$:
 - средняя скорость ветра, осредненная за 2 мин, в м/с;
 - максимальная скорость ветра за 10 мин, в м/с;
- перпендикулярная составляющая к ВІШ скорость максимального ветра в м/с;
- давление на аэродроме в мм рт.ст. и в гектопаскалях, округленное до целых единиц в сторону наименьшего значения;
- наличие на аэродроме и в районе аэродрома опасных для авиации метеорологических явлений ("шторм");
- температура воздуха в ${}^{\mathrm{O}}\mathrm{C}$ и относительная влажность в процентах или точка росн в ${}^{\mathrm{O}}\mathrm{C}$;
 - время наблюдения (окончания измерений);
- АМИС должна обеспечивать дистанционный прием сигналов от первичных измерительных преобразователей метеовеличин по аэрод-ромным линиям связи длиной, указанной в п.8 (общие требования). Должна быть обеспечена сигнализация об отказе первичного измерительного преобразователя или блока с указанием отказавшего.

Желательно, чтобы автоматизированные метеорологические измерительные системы обеспечивали:

- прием буквенно-пифровой информации от метеорологических радиолокаторов, грозопелентаторов, станций и постов гидрометсети (штормового кольца), экипажей воздушных судов, обработку этой информации и автоматическую выдачу информации об опасных для авиации метеорологических явлениях;
- выдачу информации о наклонной дальности видимости, сдвигах ветра, турбулентности на линии глиссады и по траектории взлета воздушного судна;
 - информацию о температуре воздука над ВПП (на висоте 5 м);
- прогноз на 3-5 мин дальности видимости на ВПП, метеорологической дальности видимости, высоты нижней границы облаков (вертикальной видимости), параметров ветра и опасных для авиации метеорологических явлений.

- 8. Общие требования к метеооборудованию аэродромов
- <u>8.1</u>. По общим конструктивно-техническим требованиям метеооборудование должно:
- удовлетворять дейотвукцим требованиям по стандартизации и унификации. Средства измерения дальности видимости, висоти нижней граници облаков (вертикальной видимости), параметров ветра, атмо-сферного давления, температуры и влажности воздуха и др. должны обеспечивать возможность использования их как автономно, так и в качестве первичных измерительных преобразователей метеоэлементов в АМИС:
- быть электромагнитно совместимыми с аэродромными радиосветотехническими средствамы при условии размещения метеооборудования по действующим требованиям (нормам);
 - иметь массу блоков не более 30 кг;
- бить контролепригодными, иметь встроенние средства контроля расотоспособности и учета времени нарасотки, а средства намерения и измерительние системы - метрологическое обеспечение:
- комплектоваться элементами, соответствующими современному уровню развития радиоэлектроники;
 - иметь прочные лакокрасочные покрытия изделий;
- удовлетворять требованиям к электрической прочности изоляции и качеству электромонтажа (должна обеспечиваться работа изделий в условиях воздействия внешних факторов, соответствующих экстремальным условиям эксплуатации);
- быть работоспособными при питании от сети переменного тока напряжением 220 В с колебаниями в сторону увеличения до 10 %, в сторону уменьшения до 15 %, частотой (50±1) Гц /24/;
- удовлетворять эргономическим требованиям и требованиям технической эстетики (обеспечение удобного выполнения функциональных обязанностей оператором, достаточность физических, в том числе эрительных и слуховых связей между оператором и аппаратурой, соответствие формы назначению, достижение целевой формы при помощи композиционных средств и т.д.);
- удовлетворять требованиям техники безопасности (к изделиям, устанавливаемым на метеоплощацке и на открытом воздухе, должно подаваться электропитание переменного тока напряжением до 36 В /25/, постоянного тока до IIO В /26/; должно быть обеспечено заземление частей изделий, которые могут оказаться под напряжением выше указанного и т.д.) /27/;

- удовлетворять гитиеническим требованиям санитарных норм и правил (электромагнитная обстановка, вредные воздействия на окружающую среду и обслуживающий персонал).
- <u>8.2.</u> По устойчивости к климатическим воздействиям метеооборудование должно удовлетворять следующим требованиям:
- изделия, устанавливаемые на открытом воздухе и в неотапливаемых помещениях (будках), должны быть работоспособными при температуре окружающей среды от -60 до +50 $^{\rm O}{\rm C}$, относительной влажности (95 \pm 3) % при температуре +40 $^{\rm O}{\rm C}$, после циклического изменения температуры воздуха и должны быть пыле— и влагозащищенными;
- изделия, устанавливаемие в отапливаемых помещениях, должны быть работоспособными при температуре окружающей среды от +5 до +50 °C, относительной влажности до 98 % при температуре +30 °C;
- метеооборудование должно быть устойчиво к воздействию инея и росы, колодоустойчивым (быть работоспособным после воздействия окружающей среды, имеющей температуру -70° C, а также инея и росы), теплоустойчивым (быть работоспособным после воздействия окружающей среды, имеющей температуру $+60^{\circ}$ C).
- 8.3. По механическим воздействиям метеооборудование аэродромов должно бить работоспособным после транспортирования всеми видами транспорта (железнодорожный, автомобильный, воздушный и водный), бить вибропрочным, должен отсутствовать резонанс конструктивных элементов при вибрации в диапазоне частот от 5 до 25 Гц.
- 8.4. По надежности метеорологическое оборудование аэропромог должно быть восстанавливаемым, ремонтопригодным и при условии периодического технического обслуживания удовлетворять следующим требованиям:
- по безотказности, ремонтопригодности, сохраняемости ГОСТ I32I6-74 /28/ (вероятность безотказной работи за I000 ч не менее 0.8 или средняя наработка на отказ не менее 4500 ч);
- удельная суммарная продолжительность (трудоемкость) техни ческого обслуживания должна быть не более 0,0I (один рабочий ден в месяц при условии круглосуточной непрерывной работы, т.е. 8: 720);
- время непрерывной работы без технического обслуживания не менее 200 ч;
- время приведения в работоспособное состояние резервного изделия не более 2 мин;
 - средний срок службы не менее 8 лет.
- 8.5. Эксплуатационная документация на метеооборудование аэродромов должна соответствовать требованиям ГОСТ 2.60I-68

- 7297. В экоплуатационную документацию должны входить: техническое описание, инструкция по эксплуатации, формуляр. Эксплуатационные документы должны быть рассчитаны на технический уровень обслуживаниего персонала. В эксплуатационную документацию по /30/ должен входить регламент технического обслуживания.
- 8.6. Конструкция метеооборудования должна обеспечивать дистанционные измерения метеоэлементов на аэродроме. Дистанционность передачи выходных сигналов от первичных измерительных преобразователей до индикаторов (регистраторов) по аэродромным линиям связи, отвечающим требованиям ПТЭ РТОС ГА-74 /3I/, должна быть обеспечена на длину не менее: 8 км при измерении дальности видимости, высоты нижней границы облаков и параметров ветра; 50 м при измерении атмосферного давления; 200 м при измерении температуры и влажности воздуха.

Список литературы

- I. Наставление по производству полетов в гражданской авиации СССР (НШ ГА-78). М.: Воздушный транспорт, 1978.
- 2. Наставление по метеорологическому обеспечению гражданской авиании СССР (НМО ГА-82). Л.: Гидрометеоиздат, 1982.
- 3. Нормы годности к эксплуатации в СССР оборудования гражданских аэродромов и воздушных трасс (НГЭО-81). М.: Воздушный транспорт, 1983.
- 4. Гаврилов В.А., Горншин В.И. Об определении посадочной видимости на аэродромах // Труди ITO. 1964. Вып.153. C.18-23.
- 5. Бурлов Г.М. Уравнения дальности видимости для оптически неоднородной атмосфери // Труды НИИ ІМП. 1973. Вып. 28. С.83—91.
- 6. А фанасьев А.А. К вопросу об определении посадочной дальности вилимости // Труды ITO. - 1982. - Вып. 461. -С.94-102.
- 7. К р у г л о в Р.А. Оценка условии видимости на наклонном отрезке глиссады снижения по градиентным измерениям прозрачности // Труды ITO. — 1982. — Вып. 461. — С. 108—IIO.
- 8. Ковалев В.А. Определение условий видимости на конечном участке глиссади снижения // Метеорология и гидрология. — 1984. — № 4. — C.40-47.
- 9. Боханов В.Е. К вопросу о метеорологических посадочных минимумах // Трудн ITO. - I980. - Вып.4I3. - C.I33-I42.

- То. Белогородский С.Л. К вопросу определения видимости в атмосфере применительно к взлету и посадке воздушных судов // Метеорология и гидрология. 1979. № 5. С.57—61.
- II. Руководство по практике наблюдения за дальностью видимости на ВШ и передачи сообщений о ней / ИКАО. 1981.
- I2. Баранов А.М., Солонин С.В. Авиационная метеорология. Л.: Гидрометеоиздат, 1981.
- ІЗ. Рубинштейн М.В. О колебаниях высоты нижней границы облаков // Метеорология и гидрология. 1963. № 5.
- I4. Рубинштейн М.В. О сравнимости высот нижней границы облаков, определенных с помощью приборов и самолета // Труды ЦИП. I966. Вып. 157.
- I5. Ю дин М.А. Вопросы теории турбулентности и структуры ветра с приложением к задаче колебания самолета // Труды НИУ ІУІМС. I946. Сер.І, вып.35.
- Іб. Андреев И.Д. Выбор оптимального интервала осреднения скорости ветра // Труды ITO. - 1958. - Вып.83.
- 17. Луцкий В., Галашин Е. Вибрация самолета в полете // Авиация и космонавтика. - 1969. - № 7.
- 18. Глазунов В.Т. Сдвиги ветра, влинющие на взлет и посадку воздушных судов. М.: Гидрометеоиздат, 1982.
- 19. Оперативные требования, предъявляемые международной авиацией к метеорологической информации, необходимой при заходе на посадку, посадке и взлете самолетов (принятые совместно на ІУ сессии Комиссии авиационной метеорологии ВМО и У аэронавигационной конференции ИКАО. Монреаль, ноябрь-декабрь 1967). Основные рекомендации КАМ-ІУ и АНК-5. — М.: Гидрометеоиздат, 1968.
- 20. Бесчастнов С.П., Бызова Н.Л., Вол-ковицка в З.И. и др. Новые данные о сдвигах ветра и тур-булентности по измерениям на высотной мачте ИЭМ // Тез. докл. на Всесоюз. конф. по авиационной метеорологии и прикладной авиационной климатологии, октябрь 1982 г. М.: ВНИИТИИ-МЦД, 1982.
- 2I. Авиационно-климатический атлас-справочник СССР. Вып.I. Климатические характеристики основных аэропортов. Ч.I. — М.: Гидрометеоиздат, 1973.
- 22. ГОСТ 8.221-76. Влагометрия и гигрометрия. Термины и определения. М.: Изд-во стандартов, 1977.
- 23. О составе, точности и пространственно-временном разрешении информации, необходимой для гидрометеорологического обеспечения народного хозяйства и служби гидрометеорологических прогнозов. Л.: Гидрометеоиздат, 1975.

- 24. Правила устройства электроустановок (ПЭУ-76). 5-е изд. М.: Энергоиздат, 1982.
- 25. Правила по технике безопасности при производстве наблюдений и работ на сети Госкомгидромета. Л.: Гидрометеоиздат, 1983.
- 26. ГОСТ I2.2.007.0-75. Система стандартов безопасности труда. Изделия электротехнические. Общие требования безопасности. -М.: Изд-во стандартов, I979.
- 27. Правила технической эксплуатации электроустановок потребителей и правила техники безопасности при эксплуатации электроустановок потребителей (ПТЭ и ПТБ). — М.: Атомиздат, 1973.
- 28. ГОСТ I32I6-74. Приборы и средства автоматизации ГСП. Надежность. Общие технические требования и методы испытаний. М.: Изд-во стандартов. 1975.
- 29. ГОСТ 2.60І-68. Единая система конструкторской документации. Эксплуатационные документы. М.: Изд-во стандартов, 1969.
- 30. Правила сертификации оборудования аэропортов, гражданских аэродромов и воздушных трасс СССР (временные). М.: Воздушный транспорт, 1976.
- 31. Правила технической эксплуатации наземных средств радиотехнического обеспечения полетов и электросвязи гражданской авиации (ПТЭ РТОС ГА-77). - М.: Воздушный транспорт, 1978.
- 32. Персин С.М., Анискин Л.В. Обизмерении карактеристик ветра // См. наст. сб.

А.С.Солонин

OB AHAJINSE N CUHTESE CUCTEM METEOPOJIOTNYECKOTO OBECHEVEHUR ABNALINM

При разработке структуры и построении моделей системы метеорологического обеспечения обично используют методы системного
анализа, позволяющие выявить на уровне принципиальных схем ее обную структуру. С одной стороны, принципиальная схема системы является ее простейшей моделью, а с другой — отсутствует строгость
описания, которая особенно важна для процесса математического
анализа и синтеза всей системы в целом, а также при разработке
программного обеспечения вычислительного комплекса системы, реализующего процедуры обработки метеорологической информации в
реальном масштабе времени.

Использование теоретико-множественного подхода к анализу и синтезу системы метеорологического обеспечения авиации позволяет внести в ее описание математическую строгость и в то же время со-хранить простоту принципиальних схем /I-3/. В связи о этим в настоящей работе рассматривается задача теоретико-множественного анализа и синтеза системы метеорологического обеспеченыя авиации, решение которой представляет собой математическое описание високого уровня в терминах, характерных для задачи. При этом необходимо отметить, что движение воздушных судов (ВС) в атмосфере сопровождается сложным взаимодействием с окружающей их физической средой (атмосферой). Поэтому при анализе и синтезе автоматизированной системн управления воздушным движением (АС УВД) необходимо рассматривать ВС и атмосферу (АТ) как единую систему ("АТ-ВС").

С использованием теоретико-множественного подхода система "АТ-ВС" допускает описание в виде адекватной математической модели.

обозначим состояние атмосфери в одной точке $\mathfrak{t}\in\mathbb{N}$ в момент времени $\mathfrak{t}\in\mathbb{T}$ через $\omega_{\mathfrak{t}\mathfrak{t}}$, а множество всевозможных состояний атмосфери в этой точке через $\Omega_{\mathfrak{t}\mathfrak{t}}$:

$$\omega_{it} \in \Omega_i$$
.

Тотда множество всех состояний атмосферн Ω представляется декартовым произведением множеств Ω :

$$\Omega = \, \Omega_1 \times \Omega_2 \times \dots \times \, \Omega_\ell \ ,$$

где $\ell = \operatorname{cord} N$.

Пусть наблюдения за погодой производятся в точках $i \in \mathcal{N}$ трасон $K \in \mathcal{K}$. Тогда состояния атмосферы на трассах (включая районы аэропортов) полетов ВС определяются отображением

$$\omega: N \times K \times T \longrightarrow \Omega$$

Собственное подмножество S_{AT} декартова произведения множеств $S \times T \times N \times K$:

является адекватной системой реальной атмосферы на трассах полетов ВС. Для того чтобы судить о физическом состоянии атмосферы, производятся наблюдения и измерения какого-то определенного комплекса метеорологических параметров. Оборя $\mathfrak X$

$$= (x_1, x_2, \dots, x_n), \quad x \in X \subseteq \mathbb{R}^n,$$

$$x : T \times N \times K \times \Omega \longrightarrow X.$$

Таким образом, в реальных условиях имеется только модель атмосфеон. т.е.

Процесс построения модели атмосферы задается следующей диаграммой:

$$S_{AT} = \Omega \times T \times N \times K$$

$$\downarrow \qquad \qquad \downarrow$$

$$S_{M(AT)} = X \times T \times N \times K$$

Диаграмма показивает, что процесс построения модели атмосферы сводится к определению комплекса метеорологических параметров атмосферы и построению отношения на множество этих параметров, которое задается, например, системой уравнений динамики атмосферы с учетом турбулентного обмена, или определяется конечным набором физико-статистических операторов.

Пусть Γ множество BC ξ , выполняющих полеты по трассам $K \in K$. Тогда сооственное подмножество S_{BC} декартова произведения множеотв $F \times N \times K \times \Gamma$:

задает систему, которая описывается движением $\overline{BC} \notin \overline{F}$ по трассам $\kappa \in K$.

Для моделирования движения ВС в системе "АТ-ВС" воспользуемся евклидовым пространством R^m размерности m. Каждое ВС $f \in F$ будет описываться вектором g с компонентами $g_1, g_2, \ldots, g_m, g = (g_1, g_2, \ldots, g_m)$. Размерность этого пространства зависит от характера решаемых задач. При метеорологическом обеспечении полетов ВС минимальная размерность пространства равна $m_{\min R} = 5$ (долгота, широта, высота полета, курс полета и скорость). Отображение

$$y: F \times N \times K \times T \longrightarrow Y \subseteq R^m$$

ставит в соответствие каждому ВС $f \in F$ набор характеристик $g = (y_1, y_2, ..., y_m)$, которые определяют положение ВС в процессе их движения по трассам $K \in K$. Модель системы движения ВС $f \in F$ по трассам $K \in K$ задается сооственным подмножеством $S_{M(8C)}$ декартова произведения множеств $Y \times N \times K \times T$:

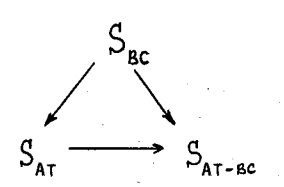
Построение модели движения ВС описывается следующей диаграммой:

$$S_{BC} \subseteq F \times N \times K \times T$$
,
 $S_{M(BC)} \subseteq Y \times N \times K \times T$.

Следовательно, построение модели системы движения ВС определяется заданием набора характеристик, описывающих положение ВС в процессе их движения по трассам, и отношения, которое описывает процесс движения. Такое отношение задается, например, с помощью системы кинематических уравнений траекторий полетов ВС.

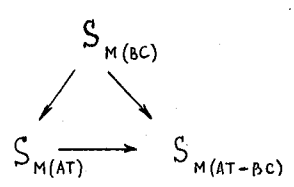
Синтезируемая система "AT-BC", описывающая движение BC в атмосфере, представляется собственным подмножеством $S_{\text{AT-BC}}$ декартова произведения множеств $\Omega \times \Gamma \times \mathbb{N} \times \mathbb{K} \times \mathbb{T}$:

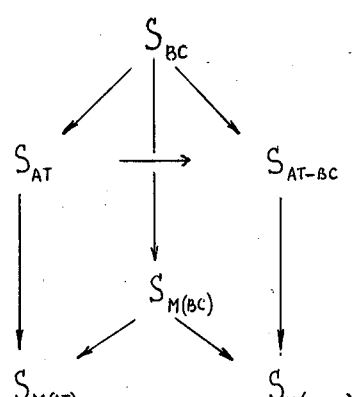
Синтез системы "АТ-ВС" задается следующей диаграммой:



В реальных условиях имеются лишь модели $S_{M(AT)}$ и $S_{M(BC)}$ рассматриваемых систем S_{AT} и S_{BC} . Таким образом, синтезируемая модель системы "AT-BC" описывается собственным подмножеством $S_{M(AT-BC)}$ декартова произведения множеств

Построение модели синтезируемой системы "AT-BC" определяется диаграммой Следующая обобщенная диаграмма ото-





Следующая обобщенная диаграмма отображений подводит итог всем, приведенным выше, концептуальным построениям систем S_{AT-BC} и Синтезируемая модель системы "АТ-ВС" с определенной степенью адекватности отражает процесс пвижения ВС в атмосфере. Степень соответствия модели системы $S_{M(AT-BC)}$ с реальной системой S_{AT-BC} одолжна возрастать с течением времени. Алгоритмы, обеспечивающие адаптацию параметров модели $S_{M(AT-BC)}$, в режиме функционирования должны на основе обработки доступной текущей метеорологической и навигационной обил истемвран аткнемен информации изменять нараметры либо структуру модели с тем, чтобы с течением времени она более алекватно описывала движения ВС $4 \varepsilon \Gamma$. по

трассам' к ∈ К с учетом метеороло÷ гических условий на нх.

Регулирует и контролирует процесс движения ВС $\xi \in F$, функционирует ющих в $S_{\text{AT-BC}}$, система УВД, структура которой может онть абстрактно представлена в виде двухуровенной системн S:

$$S = \langle u_0; u_1, ..., u_n; S_{AT-BC}; \prec \rangle;$$

где u_0 - система управления верхнего уровня (координата); u_i , $1 \le i \le n_0$ - системы оперативного управления нижнего уровня; $S_{\text{AI-BC}}$ -

описанная выше управляемая система AT-BC, для которой управление строится в настоящее время только для S_{BC} с учетом фактического и прогностического состояния S_{AT} ; — предикат, устанавливающий место каждой управляющей системы в иерархиче. При синтезе более сложных систем УВД с многими иерархическими уровнями двух-уровневые системы управления S могут использоваться в качестве основных молулей.

Система управления верхнего уровня $\mathcal{U}_{\mathfrak{o}}$ решает задачи по координации работы систем оперативного уровня управления $\mathcal{U}_{\mathfrak{o}}$ посредством упорядочения потоков ВС с помощью организационных решений, установления правил по производству полетов, построения сети воздушных трасс, задания характеристик входящих потоков через расписание, обеспечения полетов ВС навигационной и метеорологической информацией. Системы оперативного управления нижнего уровня $\mathcal{U}_{\mathfrak{d}}$ решают задачи поддержания безопасного пространственного разделения ВС и обеспечения безопасности воздушного движения по метеорологическим причинам в контролируемой зоне.

Пусть

$$U_{01} = U_{01}^{(4)} \times \ldots \times U_{04}^{(n)}$$

- множество управляющих воздействий, поступающих к системам оперативного управления u_c от вншестоящей управляющей системы u_c ;

$$\widetilde{U}_{10} = \widetilde{U}_{10}^{(1)} \times \ldots \times \widetilde{U}_{10}^{(n)}$$

— множество информационных воздействий, поступающих к вышестоящей управляющей системе u_o по каналам обратной связи от систем u_i оперативного уровня управления;

$$U_{12} = U_{12}^{(1)} \times \ldots \times U_{12}^{(n)}$$

- множество управляющих воздействий, поступающих к управляемой системе $S_{\text{A1-BC}}$ от систем u_i оперативного уровня управления;

$$\tilde{U}_{24} = \tilde{U}_{24}^{(4)} \times ... \times \tilde{U}_{24}^{(n)}$$

- множество информационных воздействий, поступающих к системам оперативного уровня управления по каналам обратной связи от управляемой системы $S_{_{\Lambda_{T},R,C}}$.

Тогда функционирование системы управления воздушным движе-

нием \$ задается с помощью трех отображений:

$$\begin{split} u_{0} \colon & \widetilde{U}_{10} \longrightarrow U_{01} \ , \\ u_{i} \colon & U_{01}^{(i)} \times \widetilde{U}_{21}^{(i)} \longrightarrow U_{12}^{(i)} \times \widetilde{U}_{40}^{(i)} \ , \ 1 \leq i \leq n \ , \\ u_{s} \colon & S_{\text{AT-BC}} \times U_{12} \longrightarrow S_{\text{AT-BC}} \times \widetilde{U}_{21} \ . \end{split}$$

Отображение \mathcal{U}_0 онисывает работу вышестоящей управляющей системы, которая строит по информационным воздействиям $\widetilde{\mathcal{U}}_{40}=(\widetilde{\mathcal{U}}_{40}^{(n)},...,\widetilde{\mathcal{U}}_{40}^{(n)})\in\widetilde{\mathcal{U}}_{40}$ управляющие воздействия $\mathcal{U}_{04}=(\mathcal{U}_{04}^{(4)},...,\mathcal{U}_{04}^{(n)})\in\mathcal{U}_{04}$, поотупающие к системам оперативного уровня управления \mathcal{U}_{i} . Отображения \mathcal{U}_{i} задают работу систем оперативного уровня управления, которые по управляющим воздействиям $\widetilde{\mathcal{U}}_{24}=(\widetilde{\mathcal{U}}_{24}^{(n)},...,\widetilde{\mathcal{U}}_{24}^{(n)})\in\mathcal{U}_{04}$ и информационным воздействиям $\widetilde{\mathcal{U}}_{24}=(\widetilde{\mathcal{U}}_{24}^{(n)},...,\widetilde{\mathcal{U}}_{24}^{(n)})\in\mathcal{U}_{04}$ и информационным воздействия $\mathcal{U}_{i2}=(\widetilde{\mathcal{U}}_{i2}^{(n)},...,\widetilde{\mathcal{U}}_{i2}^{(n)})\in\mathcal{U}_{04}$ и информационные к S_{AT-8C} и \mathcal{U}_{0} соответственно. Отображение \mathcal{U}_{0} поступающие к S_{AT-8C} и \mathcal{U}_{0} соответственно. Отображение \mathcal{U}_{0} преобразует состояния системы "AT—BC" $S=(\mathcal{U}_{0},\widehat{\mathcal{J}},n,\kappa,\frac{1}{2})\in\mathcal{S}_{04}$ под действием управляющих воздействий $\mathcal{U}_{0}=(\mathcal{U}_{02}^{(n)},...,\mathcal{U}_{02}^{(n)})\in\mathcal{U}_{03}$ и передает информационные воздействия $\widetilde{\mathcal{U}}_{0}=(\widehat{\mathcal{U}}_{02}^{(n)},...,\widehat{\mathcal{U}}_{02}^{(n)})\in\mathcal{U}_{03}$ системам \mathcal{U}_{0} , \mathcal{U}_{0} оперативного уровня управления об этом, т.е. \mathcal{U}_{0} описывает процесс управления системой \mathcal{V}_{0}

Движение $f \in F$ с учетом метеорологических условий в зонах (секторах) управления описнвается подсистемами $S_{\text{AT-BC}}^{(i)}$, $1 \le i \le n$ системы $S_{\text{AT-BC}}$ такими, что

$$S_{AT-BC}^{(i)} = F^{(i)} \times \Omega^{(i)} \times N^{(i)} \times K^{(i)} \times T^{(i)},$$

где $F \stackrel{(i)}{\leq} F$, $\Omega \stackrel{(i)}{\leq} \Omega$, $N \stackrel{(i)}{\leq} N$, $K \stackrel{(i)}{\leq} K$, $T \stackrel{(i)}{\leq} T$ — процесс управления движением BC $4 \stackrel{(i)}{\leq} F \stackrel{(i)}{\otimes}$ из $S \stackrel{(i)}{\text{AT-BC}}$ характеризуется отображения ими $\mathcal{U}_S^{(i)}$, $4 \stackrel{(i)}{\leq} i \stackrel{(i)}{\leq} n$:

$$u_s^{(i)} : s_{AT-BC}^{(i)} \times U_{12}^{(i)} \times U_c^{(i)} \longrightarrow s_{AT-BC}^{(i)} \times \widetilde{U}_{24}^{(i)}$$
,

где $U_{\rm c}^{(i)}$ — множество информационных связующих воздействий $u_{\rm c}^{(i)}==(u_{\rm c_1}^{(i)},...,u_{\rm c_n}^{(i)})$, осуществляющих связь между подпроцессами $u_{\rm s}^{(i)}$ и $u_{\rm s}^{(i)}$ (к \neq i). Следовательно,

$$S_{AT-BC} = S_{AT-BC}^{(i)} \times ... \times S_{AT-BC}^{(n)},$$

$$u_g = (u_g^{(i)}, ..., u_g^{(n)}).$$

Проведенный теоретико-множественный анализ и синтез системым метеорологического обеспечения иерархических систем управления воздушным движением позволяет дать общее описание всей системы в делом. При этом необходимо отметить, что решение задач автоматизированного управления воздушным движением $S_{\rm ac}$ невозможно без построения модели атмосферы $S_{\rm at}$ и учета ее особенностей. Структура модели $S_{\rm at}$ должна иметь иерархический характер с вложенной организацией системы моделей (как гидродинамических, так и физико-статистических), описывающих пространственно-временные особенности атмосферы разного масштаба. Полученное описание системы $S_{\rm at-ac}$ может служить основой дальнейшей детализации и разработки программного обеспечения для вычислительного комплекса, реализующего алгоритмы обработки и представления метеорологической информации в автоматизированных системах управления воздушным движением реального масштаба времени.

Список литературы

- І. Калман Р., Фало ІІ., Арбио М. Очерки по математической теории систем. М.: Мир, 1972. 398 с.
- 2. Месарович М., Мако Д., Такахара Я. Теория иерархических многоуравневых систем. — М.: Мир, 1973. — 344 с
- 3. Требования и спецификации в разработке программ. Сб. стагей. - М.: Мир, 1984. - 344 с.

А.С.Солонин

- O KOOPJUHUPYKUUX CTPATEIVHX
- В ИЕРАРХИЧЕСКОЙ СИСТЕМЕ УПРАВЛЕНИЯ ВОЗЛУШНЫМ ЛВИЖЕНИЕМ
- С УЧЕТОМ МЕТЕОРОЛОГИЧЕСКИХ УСЛОВИЙ

Система управления воздушным движением регулирует и контролирует процесс движения воздушных судов (ВС). Ее структура, как показано в работе /3/, абстрактно представляется в виде двухуровневой иерархической системы

$$S = \langle u_0; u_1, \dots, u_n; \prec ; S_{M(AT-8C)} \rangle, \qquad (I)$$

где \mathcal{U}_o — система управления верхнего уровня (координатор); \mathcal{U}_i , $1 \le i \le n$ — системы оперативного уровня управления; \prec — предикат, устанавливающий место каждой управляющей системы в иерархии S; $S_{M(AT-BC)}$ — управляемая модель системы атмосфера — воздушные суда, для которой управление строится в настоящее время только для $S_{M(AC)}$ о учетом фактического и прогностического состояния $S_{M(AC)}$.

Взаимодействие подпроцессов управления $\mathcal{U}_s^{(l)}$, стремящихся достигнуть своих индивидуальных целей, и отсутствие оперативных координирующих воздействий $\mathcal{U}_{o_1} \in \mathcal{U}_{o_1}$ верхнего уровня управления \mathcal{U}_{o_2} который в реальных условиях формирует управляющие воздействия не на основе текущей информации о состоянии системы S в целом, а только на основе весьма общих ее свойств, известных априори (используется только информация о состоянии подсистем $S_{\text{AT-8C}}^{(l)}$ системы $S_{\text{AT-8C}}^{(l)}$), приводит к возникновению конфликтов между подсистемами $S_{\text{AT-8C}}^{(l)}$ /3/.

В связи с этим возникает необходимость рассмотрения принцинов координирования взаимодействий подпроцессов $u_s^{(i)}$ управления движением ВС в $S_{\rm BC}^{(i)}$, которые позволяют устранить эти конфликты. При этом безопасность и регулярность полетов обеспечивается оптимальным учетом состояний s системы $S_{\rm AT}$.

Преодоление внутриорганизационного конфликта между процессами \mathcal{U}_i управления движением ВС $f\in \Gamma$ в системах $S_{\text{AT-BC}}^{(i)}$ осуществияется вышестоящей управляющей системой \mathcal{U}_{o} , которая стремится согласовать их взаимодействие.

Пусть \mathcal{V}_{u_0} — задача вышестоящей управляющей системы u_0 по обеспечению безопасности, регулярности и высокой экономической эффективности воздушного движения в системе $\mathcal{S}_{\mathsf{AT-BC}}$. Координиру— ющие воздействия $\mathcal{U}_{\mathfrak{Id}} = (u_{\mathfrak{Id}}^{(4)}, ..., u_{\mathfrak{Id}}^{(n)}) \in \mathcal{U}_{\mathfrak{Id}}$ вышестоящей управля—

ющей системн u_o конкретизируют задачи $\mathcal{T}_{u_i}(u_{oi})$, стоящие перед нижестоящими системами u_i оперативного уровня УВД по обеспечению безопасности, регулярности и эффективности воздушного движения в зонах (секторах) управления системами $S_{AT-SC}^{(i)}$. Обозначим через

$$\mathcal{P}_{u} = \left\{ \mathcal{P}_{u_1}, \dots, \mathcal{P}_{u_n} \right\}$$

множество независимых задач \mathcal{P}_{u_i} , решаемых системами \mathcal{U}_i , $1 \le i \le n$ оперативного уровня управления. Решениями задач \mathcal{P}_{u_o} и \mathcal{P}_u являются координирующие воздействия $\mathcal{U}_{o_i} \in U_{o_1}$ и оперативные управляющие воздействия $\mathcal{U}_{ik} \in U_{ik}$ соответственно. Рассмотрим предикат СНЕСК (u, \mathcal{P}), который проверяет то, что u есть решение задачи \mathcal{P} УВД на некотором уровне иерархии системы \mathcal{S} . Тогда вышестоящая управляющая система \mathcal{U}_o координирует взаимодействия между процессами u_i оперативного уровня управления системами $\mathcal{S}_{i}^{(1)}$, если существует такое координирующее воздействие $u_{ci} \in U_{ci}$, параметризующее задачи \mathcal{P}_{u_i} (u_{ci}), и оперативное воздействие $u_{ik} \in U_{ik}$ на систему $\mathcal{S}_{\text{AT-BC}}$, что $u_{ik} = (u_{ik}^{(i)}, \dots, u_{ik}^{(n)})$ решает задачу \mathcal{P}_u оперативного УВД, а $u_{ci} = (u_{ci}^{(i)}, \dots, u_{oi}^{(n)})$ задачу \mathcal{P}_{u_o} , т.е. истинно логическое выражение:

$$(\exists u_{o_1} \in U_{o_1})(\exists u_{i_2} \in U_{i_2})[\mathsf{CHECK}(u_{i_2}, \mathcal{P}_u) \notin \mathsf{CHECK}(u_{o_1}, \mathcal{P}_{u_o})], \qquad (2)$$

Успех координирующих воздействий $u_{i_1} \in U_{o_1}$, решающих задачу \mathcal{T}_{u_0} , определяется воздействиями $u_u \in U_{i_2}$ оперативного уровня УВД. В связи с этим определим такой предикат VERIFY(u_{o_1}, u_{i_2}), контролирующий удовлетворительность решений u_{c_1} и u_{i_2} для задач \mathcal{T}_{u_0} и \mathcal{T}_u , при котором справедливо следующее логическое выражение:

CHECK
$$(u_{o_1}, \mathcal{P}_{u_o}) \iff (\exists u_{i_k} \in U_{i_k}) [VERIFY(u_{o_1}, u_{i_k})].$$
 (3)

Необходимым условием согласования взаимодействий подпроцессов u_i оперативного уровня УВД системой $S_{\text{AT-BC}}$ в целом является совместимость задач P_{u_i} , решаемых на этом уровне, с задачей P_{u_o} вышестоящего уровня управления. Такое условие совместимости представляется логической импликацией вида:

$$(\forall u_{o_1} \in U_{o_1})(\forall u_{i_2} \in U_{i_2}) \big\{ [\mathsf{CHECK}(\dot{u}_{i_2}\,,\,\mathcal{P}_u\,(u_{o_1})) \, \mathcal{L} \big\} \big\} = (u_{o_1}) \, \mathcal{L} \big(u_{o_2} \, \mathcal{L} \big) \, \mathcal{L} \big(u_{o_1} \, \mathcal{L} \big) \, \mathcal{L} \big(u_{o_2} \, \mathcal{L} \big) \, \mathcal{L} \big(u_{o_1} \, \mathcal{L} \big) \, \mathcal{L} \big(u_{o_2} \, \mathcal{L} \big) \, \mathcal{L} \big(u_{o_2} \, \mathcal{L} \big) \, \mathcal{L} \big(u_{o_1} \, \mathcal{L} \big) \, \mathcal{L} \big(u_{o_2} \, \mathcal{L} \big) \, \mathcal{L} \big(u_{o_2} \, \mathcal{L} \big) \, \mathcal{L} \big(u_{o_1} \, \mathcal{L} \big) \, \mathcal{L} \big(u_{o_2} \, \mathcal{L} \big)$$

& VERIFY
$$(u_{01}, u_{12})$$
 \Longrightarrow [CHECK $(u_{12}, \mathcal{P}_{u}(u_{01}))$ & CHECK $(u_{12}, \mathcal{P}_{u_{0}})$] $\}$. (4)

Сформулируем стратегии выбора координирующих воздействий $u_{o_i} \in U_{o_i}$ системой u_{o_i} управления движением $f \in F$ в $S_{\text{Ar-ac}}$, которые удовлетворяют условиям (3), (4).

Регулирование движением ВС в системе $S_{\text{AT-8C}}$ основано на командно-распорядительных методах воздействия. Следовательно, адекватными этим методам будут стратегии предписания, сравнения и множества взаимодействий, применимость которых зависит от поставленных задач \mathcal{P}_{u_n} и \mathcal{P}_u перед системой уВД.

Стратегия предписания взаимодействий основана на том, что задача $\mathcal{P}_{\mathcal{U}_0}$ вышестоящего уровня системы УВД имеет решение в образе управляющего воздействия $u_{i_2} \in U_{i_2}$ тогда и только тогда, когда управляющее воздействие u_{i_2} есть решение задачи \mathcal{P}_u (u_{o_4}), поставленной перед нижестоящими управляющими системами u_i для $\mathcal{S}_{A_{1-AC}}^{(i)}$, и предписанное связующее воздействие $u_c(u_{o_4}) = u_c(u_{i_2}(u_{o_4}))$ является правильным при использовании управляющего воздействия $u_{i_2}(u_{o_4})$. Эта стратегия задается следующей логической формулой:

$$(\forall u_{o_1} \in U_{o_1})(\forall u_{i_2} \in U_{i_2}) \{ [CHECK(u_{i_2}, \mathcal{P}_u(u_{o_1})) \& u_c(u_{i_2}) = u_c(u_{o_1})] \Longrightarrow CHECK(u_{i_2}, \mathcal{P}_{u_o}) \}.$$

$$(5)$$

Основным в стратегии (4) является предписание системам u_i таких связумних взаимодействий $u_e(u_{oi})=u_e(u_{i2}(u_{oi}))$, которые обеспечивают истинность предикату VEKIFУ (u_{oi},u_{i2}) .

Анализ различий между фактическими взаимодействиями $\mathcal{U}_{c}\left(\mathcal{U}_{\mathcal{U}}\right)$ с требуемыми подсистемами \mathcal{U}_{i} оперативного уровня УВД и взаимодействиями $\widetilde{\mathcal{U}}_{c}\left(\mathcal{U}_{\mathcal{U}}\right)$ позволяет сформулировать стратегию сравнения взаимодействий:

$$\frac{1}{2} \left\{ V u_{01} \in U_{01} \right\} \left\{ V u_{12} \in U_{12} \right\} \left\{ \left[CHECK \left(u_{12}, \mathcal{P}_{u}(u_{01}) \right) d \right] d d u_{01} \left(u_{12} \right) = \tilde{u}_{01} \left(u_{12} \right) \right\} \right\} .$$
(6)

Стратегия сравнения взаимодействий (6) используется для согласования взаимодействий подсистем \mathcal{U}_i в системе S (управления системой $S_{\mathsf{Ar-8C}}$) в целом. Согласованность взаимодействий происхо—

дит путем уменьшения рассогласованности между фактическими взаимодействиями $u_{\mathfrak{c}}(u_{\mathfrak{z}})$ с необходимнии взаимодействиями для подсистем $u_{\mathfrak{z}}$ оперативного уровня УВД.

Возможны случам, когда вышестоящая управляющая система \mathcal{U}_{c} имеет возможность задавать целое множество взаимодействий $\widetilde{U}_{c} \subset U_{c}$, из которого подсистемы \mathcal{U}_{i} оперативного уровня УВД вноирают связумщие взаимодействия $\mathcal{U}_{c}(\mathcal{U}_{i,k}) \in \widetilde{U}$, этому случаю соответствует стратегия множества взаимодействий:

$$(\forall u_{o_{1}} \in U_{o_{1}})(\forall u_{i_{2}} \in U_{i_{2}})\{[CHECK(u_{i_{2}}, \mathcal{P}_{u}(u_{o_{1}})) \& u_{c}(u_{i_{2}}) \in \widetilde{U}_{c} \Longrightarrow CHECK(u_{i_{2}}, \mathcal{P}_{u_{c}})\}.$$

$$(7)$$

Стратегия множества взаимодействий (7) обеспечивает некоторую свободу в внооре связующих взаимодействий $u_c(u_{i2})$, что объясняется возможным существованием целого множества вариантов решений глобальной задачи g_{u_0} .

Одной из основных задач, решаемых иерархической системой УВД S, является задача оптимального управления системой S_{AT-BC} . В связи с этим рассмотрим функционали качества управления для различных уровней иерархии \hat{S} .

Целью управления воздушным движением в системе S_{AT-BC} является решение задач \mathcal{P}_{u_0} и \mathcal{P}_{u_i} , $4 \neq i \neq n$, стоящих перед вышестоящей управляющей системой u_0 и системами оперативного уровня управления u_i , оптимальным образом. При этом оптимальность понимается в смысле достижения экстремумов для функционалов, характеризующих экономичность, регулярность и безопасность полетов ВС $f \in \mathcal{F}$. Достижение экстремумов для двух и более функционалов наталкивается на трудности, которые связани с тем, что экстремумы у различных функционалов не совпадают. Поэтому далее будем ставить задачу об экстремуме одного функционала, характеризующего экономичность полетов ВС $f \in \mathcal{F}$, налагая дополнительные условия на их безопасность и регулярность, которые определяются состоянием системы S_{AT} .

Общий вид функционала качества решения задачи \mathcal{P}_{u_o} управления системой $S_{\text{AT-BC}}$ в целом задается функциональным отображением

$$W^{(o)}: S_{AT-BC} \times U_{O4} \longrightarrow COST \subseteq \mathbb{R} , \qquad (8)$$

где COST - множество штрафов, которое частично или полностью

упорядочено отношением ≤, индуцированным из ТК.

Запишем функционал (8) в виде, предотавляющем практический интерес для оптимального управления системой S_{AT-AC} :

$$W^{(6)}(u_{oi}) = \sum_{i} w^{(0)}(s, u_{oi}),$$

$$s \in S_{AT-BC};$$
(9)

здесь $W^{(0)}$ есть, например, время или расход топлива при переходе системы в состояние $S \in S_{AT-8C}$ под действием управляющего воздействия $u_{04} \in U_{04}$. Задача оптимального управления оистемой S_{AT-8C} на вышестоящем уровне управления u_{0} состоит в нахождении таких координирующих воздействий u_{04}^{*} , чтобы

$$W^{(o)}(u_{oi}^*) = \min W^{(o)}(u_{oi}).$$

$$u_{oi} \in U_{oi}$$
(I0)

Для задач $\mathcal{P}_{\mathcal{U}_1}$, 1414 п , оперативного уровня управления в секторах или зонах $S_{\text{AT-BC}}^{(l)}$ функционалы качества представляются отображениями

$$W^{(i)}: S_{AT-BC}^{(i)} \times U_{12}^{(i)} \longrightarrow cost \subseteq R$$
 (II)

и выражаются формулами

$$W^{(i)} = \sum_{\mathbf{S} \in S_{AT-BC}^{(i)}} w^{(i)}(\mathbf{S}, u_{i2}) , \qquad (12)$$

где $w^{(i)}$ обично имеют смысл тот же, что и $w^{(o)}$ в (9). Задача состоит в том, чтобы построить такое оперативное управляющее воздействия u_{i1}^* , зависящее от координирующего воздействия u_{i1}^* задачи (10), чтобы

$$W^{(i)}(u_{i2}^*) = \min W^{(i)}(u_{i2}).$$

$$u_{i2}(u_{i1}^*) \in U_{i2}$$
(13)

Совместное решение оптимизационных задач (IO), (I3) при управлении системой $S_{\text{AT-BC}}$ приводит к необходимости модификации рассмотренных выше стратегий согласования взаимодействий для

устранения возникающих противоречий между оптимальными управляющими воздействиями разных уровней иерархии системы S. Поиск оптимальных координирующих $\mathcal{U}_{\text{cl}}^* \in U_{\text{cl}}$ и управляющих воздействий $\mathcal{U}_{\text{il}} \in U_{\text{il}}$ с использованием стратегии предписывания взаимодействий (5) приводит к следующей ее модификации:

$$(\forall u_{o}^{*} \in U_{o1})(\forall u_{i2}(u_{o1}^{*}) \in U_{i2})(\exists u_{i2}^{*} \in U_{i2})\{[(u_{i2} = u_{i2}(u_{oi}^{*})) \& CHECK(u_{i2}, \mathcal{P}_{u}(u_{oi}^{*})) \& (u_{c}(u_{i2}^{*} = u_{c}(u_{oi}^{*}))] \Longrightarrow [CHECK(v_{i2}, \mathcal{P}_{u_{o}}) \& (u_{i2} = u_{i2}^{*})]\}.$$

$$(14)$$

Стратегия сравнения взаимодействий (6) при решении задач (10), (13) записывается логической импликапией:

$$(\forall u_{oi}^* \in U_{oi})(\forall u_{i2}(u_{oi}^*) \in U_{i2})(\exists u_{i2}^* \in U_{i2})\{[(u_{i2}^* = u_{i2}(u_{oi}^*))d$$

$$\& CHECK\left(u_{12}, \mathcal{P}_{u}(u_{01}^{*})\right) \& \left(u_{c}\left(u_{12}\right) = \tilde{u}_{c}\left(u_{12}(u_{01}^{*})\right)\right)] \Longrightarrow$$
 (15)

$$\Longrightarrow$$
 { CHECK $(u_{12}, \mathcal{P}_{u_0})$ & $(u_{12} = u_{12}^*)$ }.

Модификация стратегии множества взаимодействий (7) представляется логической формулой:

$$(\forall u_{c_{i}}^{*} \in \overline{U}_{c_{i}})(\forall u_{i_{2}}(u_{c_{i}}^{*}) \in U_{i_{2}})(\exists u_{i_{2}}^{*} \in U_{i_{2}})\{[(u_{i_{2}} = u_{i_{2}}(u_{c_{i}}^{*})) \& CHECK(u_{i_{2}}, \mathcal{P}_{u}(u_{c_{i}}^{*})) \& (u_{c}(u_{i_{2}}) \in \widetilde{U}_{c}(u_{c_{i}}^{*})] = \}_{(16)}$$

$$\Longrightarrow \{CHECK(u_{i_{1}}, \mathcal{P}_{u_{i_{2}}}) \& (u_{i_{2}} = u_{i_{2}}^{*})\}\}.$$

Таким образом, стратегии (14)-(16) позволяют построить оптимальное управление $u_{c_i}^* \in U_{c_i}$ всей системой $S_{\text{AT-BC}}$, т.е. обеспечить экстремум функционала (I0) и определить оптимальные оперативные управляющие воздействия $u_{i2}^* \in U_{i2}$, которые соответствуют экстремуму функционала (I3) при дополнительных ограничениях на безопасность и регулярность полетов. Эти ограничения определяются фактическим и прогностическим состояниями физического состояния

атмосфери, которые описываются с помощью модели S_{AT} . Алгоритмы построения оптимальных координирующих и оперативных управляющих воздействий основаны на модифицированных стратегиях предписания, сравнения и множества взаимодействий. Использование таких алгоритмов в внаислительных комплексах иерархических систем управления воздушным движением реального масштаба времени позволяет устранить возможные конфликты между ее подсистемами на основе оптимального учета метеорологических условий на воздушных трассах и в районах аэропортов.

Список литературы

- І. Месиравич М., Мако Д., Такахара И. Теория иерархических многоуровневых систем. М.: Мир, 1973. 344 с.
- 2. Михалевич В.С., Волкович В.Л. Вычислительные методы исследования и проектирования сложных систем. — М.: Havka. 1982. — 286 с.
- 3. Со я о н и н А.С. Об анализе и синтезе систем метеорологического обеспечения авиации // См. наст. сб.

С.М.Персин, Л.В.Анискин

ОВ ИЗМЕРЕНИИ ХАРАКТЕРИСТИК ВЕТРА НА АЭРОДРОМАХ

Изменчивость ветра в пространстве и во времени существенно влияет на условия взлета и посадки воздушных судов. Перечень характеристик ветра, рекомендованный для измерения на аэродромах различными документами, довольно общирен и включает в себя:

- среднюю скорость ветра за 2 и IO мин:
- максимальные порывы миновенной скорости ветра за 2 и 10 мин;
 - среднее направление ветра за 2 и 10 мин;
 - порывы направления ветра за 10 мин;
- средние квадратические отклонения скорости и направления ветра;
 - вертикальный сдвиг ветра.

Обзор литературы показывает, что комплексного исследования по выбору этих характеристик для измерений параметров ветра ранее не проводилось. В основном изучались одна-две характеристики для определенных географических пунктов. Наибольшее количество работ посвящено выбору оптимального интервала осреднения параметров ветра, т.е. такого интервала, который позволяет получить статистически устойчивые оценки средних значений, которыми можно пользоваться в ближайшие 30-60 мин после измерений. В этих работах предлагается интервал осреднения 10 мин для устойчивой стратификации атмосферы, 15 и 20 мин для безразличной и неустойчивой стратификации соответственно.

В 70-х годах в связи с повышением интенсивности полетов появился ряд работ, в которых изучался вопрос репрезентативности
информации для небольших отрезков времени, достаточных для осуществления самолетами таких операций, как взлет, посадка, руление,
подход к аэродрому, полет по кругу. В работах /6, 7/ било показано, что в зависимости от заблаговременности инерционного прогноза
целесообразно рекомендовать следующие временные интервалы осреднения:

- при заблаговременности I-4 мин необходимо осреднять за 2-4 мин;
 - при заблаговременности свыше 4 мин за 5-10 мин.

При таких интервалах осреднения наблюдается минимум средней квадратической разности между прогнозируемой на заданный интервал и действительной скоростью ветра. В качестве примера в табл. І

Таблица I Процент частоти ошибок, превышающих различние пороги

- Интервал прог-		Значение	е порога	, M/O
нозирования, мин	3	5	7	IO
2	6,56	0,44	0,086	0,019
5	8,19	0,80	0,196	0,049
IO	I0,98	I,23	0,319	0,104
2	5,12	0 ,4 I	0,095	0,028
5	6,62	0,70	0,193	0,058
IO	9,36	I,03	0,316	0,101
	2 5 10 2 5	10 10,98 2 5,12 5 6,62	литерия прот нозирования, мин 3 5 2 6,56 0,44 5 8,19 0,80 10 10,98 1,23 2 5,12 0,41 5 6,62 0,70	нозирования, мин 3 5 7 2 6,56 0,44 0,086 5 8,19 0,80 0,196 10 10,98 1,23 0,319 2 5,12 0,41 0,095 5 6,62 0,70 0,193

приведены экспериментальные данные /6, 7/, полученные в аэропорту Хитроу (Англия), и процент частоты ошибок, превышающих определенные пороги при различных интервалах осреднения и прогнозирования.

Из данных этой таблицы и графиков, которые приводят авторы, не видно больших преимуществ 2-минутного осреднения по сравнению с 5-минутным при заблаговременности прогноза 2 мин. Авторы дают свои вышеприведенные рекомендации на основании того, что при 2-минутном осреднении меньше больших ошибок.

При обслуживании авиации необходимо учитнвать не только временную, но и пространственную изменчивость параметров ветра. Как показали исследования на Токийском аэродроме /8/, пространственная изменчивость параметров ветра в отдельных случаях может достигать значений, влияющих на безопасность взлета и посадки самолетов. Так, например, наблюдались ситуации, когда горизонтальные сдвиги скорости ветра достигали 5 м/с, а направления — до 900 на протяжении ВШ. На основании этой работы даются предложения об измерении параметров ветра не менее чем в двух точках. Выбор этих точек должен быть подчинен задаче более полной оценки ветрового поля для всей территории аэродрома. Несомненной является необходимость одновременного измерения параметров ветра вблизи порогов ВШ.

Аналогичные результаты были получены в ГТО при исследовании изменчивости параметров ветра в аэропорту Пулково. В частности, максимальные значения коэффициентов корредяции осредненных за интерван 10 мин значений скорости ветра в двух точках на расстоянии

3 км достигали 0.7-0.8, а направления 0.5-0.7. В то же время минимальные значения для отдельных реализаций опускались до 0.1. При этом следует отметить большие средние квадратические отклонения направления ветра, достигающие для миновенных отсчетов 15^0 , а для средних за 2 и 10 мин соответственно 8 и 4^0 .

Помимо средних характеристик важное значение для обеспечения безопасности полетов имеют экстремальные характеристики (пориви) ветра. Известно, что наиболее опасное воздействие порыва ветра на летательный аппарат наступает в момент, когда вихры порыва охватит его полностью. Если, например, размах крыльев самолета составляет 15—40 м, то вихры успеет охватить самолет полностью за 1—3 с при скорости ветра 15 м/с. Исходя из этого, при измерении максимальных значений міновенной скорости ветра необходимо осреднять последнюю за 1—3 с при обеспечении операций руления и разбега самолетов.

Времи осреднения максимального порыва, воздействующего на самолет при посадке или взлете, следует определять исходя из времени его релаксации при внешнем воздействии на него. Среднее время релаксации принято равным I,5 с /5/. При посадочной (взлетной) скорости около 70 м/с это время соответствует I00 м пути, пройденного воздушным судном, а следовательно, такому размеру вихря, опасного для самолета. Для скорости ветра I5 м/с эквивалентное время осреднения порыва должно составлять 6,5 с. В ряде работ /3/ показано, что наибольшее влияние на усталостную прочность самолета оказывают циклические нагрузки частотой 0,3 Гц, т.е. 3—секундные порыви.

Из сказанного следует, что осреднение мгновенной скорости ветра за 3 с будет удовлетворительным компромиссом для решения этих задач. Можно отметить, что современные ветроизмерительные приборы (М-63М-I, датчик КРАМС) при определении максимальной скорости ветра производят осреднение ветра за 3-секундный интервал.

Сложнее дело обстоит с определением интервала времени, на котором надо определять максимум. Обзор литературы показал отсутствие исследований по этому вопросу. Тем не менее ИКАО рекомендует определять максимальную скорость ветра за интервалы 2 и 10 мина а порывы направления ветра за 10 мин.

Правила обслуживания полетов, принятие в СССР, предусматривают определение максимальной скорости ветра только за 2-минутные интервалы V_{m2} . При таком полходе значения V_{m2} выдаются диспетерам и пилотам для обеспечения различных операций, таких как взлет самолета, подход, посадка, рудения, и потребители информа-

ции используют ее для инерционного прогноза порывов ветра на время выполнения этих операций, т.е. на интервали от I по 20 мин.

Как уже выше отмечалось, в ITO проводились экспериментальные исследования изменчивости различных характеристик ветра. На основании этих данных били получены различные статистические карактеристики временной и пространственной изменчивости параметров ветра. Оценка изменчивости карактеристик ветра проводилась также расчетным путем с использованием аппарата теории выбросов и корреляционного анализа. Эти результаты били использованы, в частности, для оценки погрешности ступенчатого (инерционного) прогноза различных карактеристик скорости ветра и выработки рекомендаций по их уменьшению. Остановимся на экстремальных характеристиках скорости ветра.

В работах /I, 2/ было показано, что для оценки интегрального распределения максимальной скорости ветра H_m за интервал T, значительно превышающий интервал корреляции процесса x(t), может быть использовано выражение

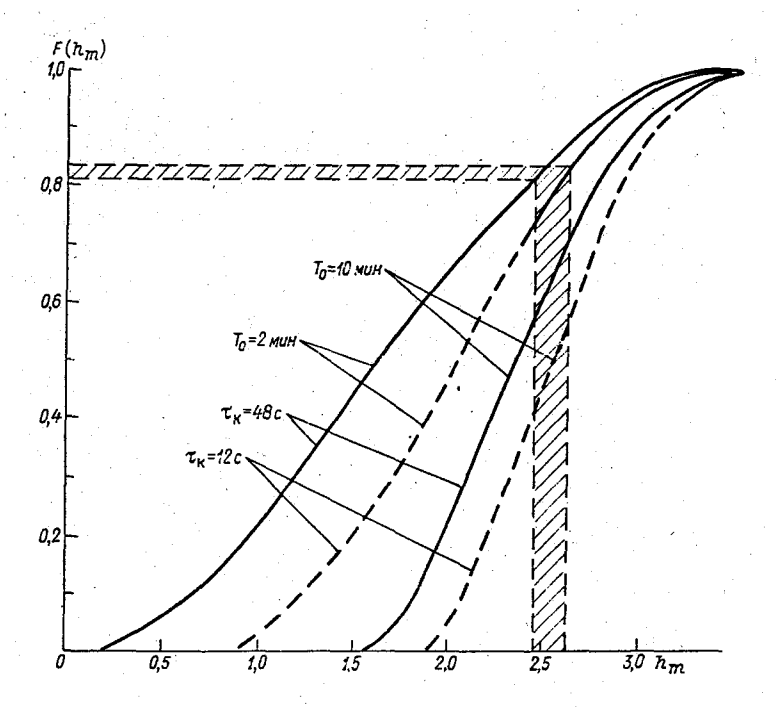
$$F(h_m) = \exp\left\{-\exp\left[2\ln\mu(T) - h_m\sqrt{2\ln\mu(T)}\right]\right\}, \qquad (I)$$

где μ (T) = $T6_x$ / $2\pi6_x$, $h_m = H_m/6_x$, 6_x^2 и 6_x^2 — дисперсия процесса x (t) и его производной.

Это виражение после небольших среобразований било использовано для ашпроксимации экспериментальных гистограмм распределения максимальной скорости ветра за интервали 2 и 10 мин. При ашпроксимации предполагалось, что корреляционная функция миновенной скорости ветра определяется показательной функцией, а интервал корреляции \mathcal{T}_{K} лежит в пределах 10-50 с. Возможность такого подхода подтверждается рядом работ, при этом показано, что значения зависят от состояния атмосферы и лежат в пределах 27-47, 15-27 и 12-18 с для неустойчивой, безразличной и устойчивой стратификации соответственно. Расчет распределения производился при значениях \mathcal{T}_{K} , равных 48 и 12 с, и с учетом того, что максимальные значения скорости ветра V(t) нужно получать путем осреднения миновенной скорости $\mathcal{V}(t)$ за интервал $\mathcal{T}_{A}=3$ с (т.е. $V(t)=\frac{1}{2}$

На рис. I приведены кривые интегрального распределения максимальной скорости ветра за интервалы 2 и 10 мин ($h_{m_{2}}$ и $h_{m_{30}}$).

На основании выражения (I) были получены также численные оценки математических ожиданий и средних квадратических отклоне-



Puc.I. Распределение максимальной скорости ветра за различные интервалы времени \mathcal{T}_0 .

ний величин h_{m2} и h_{m40} . Результати расчета приведены в табл.2. Из табл.2 видно следующее:

- а) математическое ожидание максимума за интервал 10 мин меньше зависит от состояния атмосферы (интервала \mathcal{T}_{k}), чем за интервал 2 мин;
- б) средние квадратические отклонения \mathbb{S}_{h_m} , а особенно отношения $\mathbb{S}_{h_m}/\mathbb{S}_m$, за 10-минутные интервалы значительно меньше, чем за 2-минутные.

Таким образом, можно сделать вывод, что максимальная скорость ветра, определяемая на интервале 10 мин, является более
устойчивой карактеристикей, чем осуществляемая за 2 мин. Кроме
того, использование этой карактеристики для расчета ожидаемой
максимальной скорости ветра на 2-минутном интервале повышает точность ступенчатого прогноза. Действительно, если для оценки максимальной скорости ветра на интервале
копользуется математи-

Интервал	Характеристика	Интервал корреляции $ \mathcal{T}_{K} $ с		
наблюдения мин		12	24	48
2	hm2 6hm2	I,96 0,7I5	I,86 0,830	I,7I I,0
~	$6h_{m2}/\bar{h}_{m2}$	0,362	0,447	0,586
	h mio	2,59	2,53	2,44
10	5h _{m10} бh _{m10} /h̄ _{m10}	0,435 0,190	0,535 0,2II	0,578 0,237

ческое ожидание максимальной скорости ветра на предшествующем интервале \top_{i-1} , то дисперсию такой оценки можно определить из виражения

$$\mathcal{D}_{h_m} = \mathcal{D}_{h_{mi-1}} + \mathcal{D}_{h_{mi}}$$

с учетом того, что при достаточно больших значениях T_i , T_{i-4} коеффициент корреляции величин h_{mi} и h_{mi-4} близок к нулю. Поэтому, как видно из табл.2, среднее квадратическое отклонение 6_{h_m} будет лежать в пределах I,4-2,0. В то же время, если максимальную скорость на 2-минутном интервале определять расчетным путем, используя математическое ожидание $h_{m.40}$ на предыдущем отрезке, то 6_{h_m} будет находиться в пределах I,I-I,6, т.е. при таком подходе точность инерционного прогноза повышается на 25-30 %, а если стоит задача прогноза математического ожидания $h_{m.2}$, то точность булет еще выше.

Целесообразность использования интервала 10 мин для определения V_m видна также из кривых интегрального распределения $F(h_m)$ на рис.1.

На этих кривых отмечена зона возможных отклонений h_m за 10-минутные интервалы, зависящая от \mathcal{T}_K (показана штриховкой), и соответствующая ей зона вероятностей $F(h_m)$ экстремумов за 2-ми-нутные интервалы. Из графика випно, что математическое оживание

абсолютного экстремума за интервал 10 мин представляет собой такое значение, вероятность непревышения которого абсолютным максимумом за 2 мин составляет 0,8-0,84. Следовательно, максимальную скорость ветра за 10-минутный интервал можно использовать как устойчивую порывов ветра и на 10-минутном, и на 2-минутном интервале.

Такой же подход можно использовать для оценки погрешности определения максимальной скорости ветра от инершии прибора и частоты измерений / І/. На рис. 2а приведены кумвые зависимости систематической погрешности определения максимальной скорости ветра от дискретности отсчетов \triangle на интервалах наблюдения 2 и IO мин, а на рис. 26 - зависимость (I) влияния частотных карактеристик преобразователя скорости (постоянной времени 🔭) на максимальную скорость (математическое ожидание h_m). Интересно отметить, что снижение влияния дискретности наблюдений и частотных характеристик на погрешность определения максимальной скорости ветра может онть достигнуто путем выбора оптимальных з<u>н</u>ачений △ и / ф для конкретного значения интервала осреднения 1, . Для этого можно использовать кривые зависимости математического ожидания $h_{m,t}$ максимального значения скорости ветра от интервала Т: (кривне 2 рис. 26). В настоящее время в связи с внедрением микропроцессорной техники в измерительные приборы вместо подбора оптимальных значений \triangle и \mathcal{T}_{ϕ} целесообразно расчетным путем вносить поправки в результати определения экстремальных характеристик в зависимости от частотных свойств чувствительных элементов и используемой дискретизации.

В заключение сформулируем предложения по выбору методов и карактеристик измерений параметров ветра.

- I. Информация о скорости ветра должна включать текущие значения, репрезентативные для интервала 0-2 мин, и более устойчивые карактеристики, репрезентативные для интервала 10-20 мин.
- 2. Текущие значения должны карактеризовать возможные средние и максимальные значения скорости ветра для интервала экстраполяшии 0-2 мин.

На основе анализа погрешности экстраполяции средних и максимальных значений за интервал 2 мин получено:

- принятая в настоящее время выдача среднего за предпествующие моменту выдачи 2 мин далека от оптимума, получаемого при прогнозе среднего за 2 мин, но все же достаточно рациональна;
- принятая сейчас видача максимальной скорости ветра за 2 мин, как прогнозируемого на такой же интервал максимума, нера-

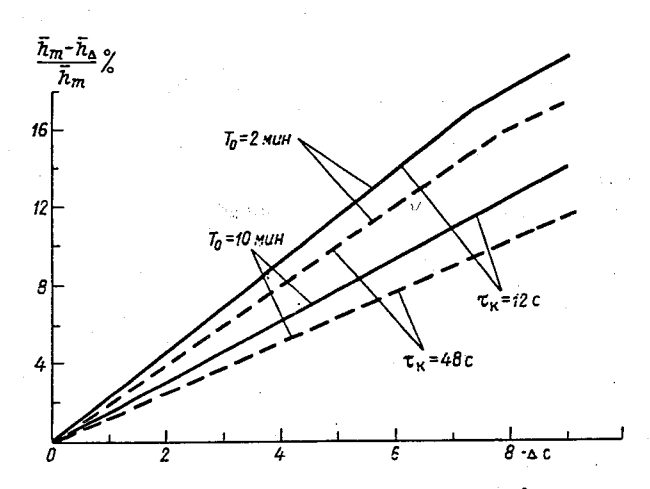


Рис.2a. Зависимость погрешности измерения V_{m} от шага дискретизации 🛆 .

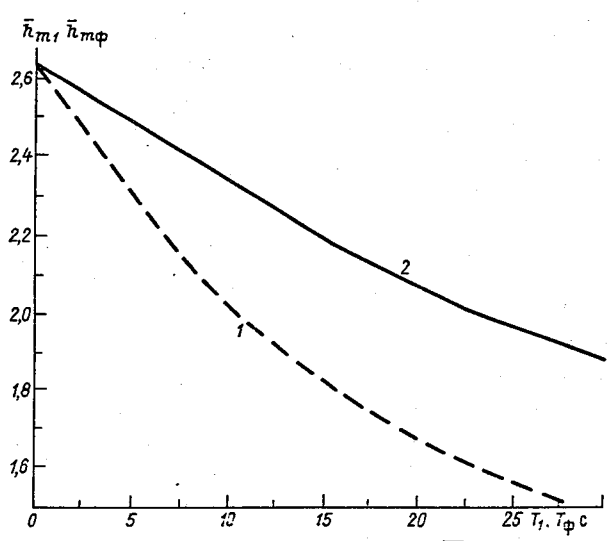


Рис. 26. Влияние интервалов осреднения T_{t} и сглаживания T_{ϕ} на величину V_{m} при $T_{0} = 10$ мин.

1) $V_{\phi}(t) = \frac{1}{t} \int_{t}^{t} v(t-t') e^{-\frac{t'}{t}} dt'$;

2) $V(t) = \int_{t-T_{4}}^{t} v(t') dt'$.

I)
$$V_{\Phi}(t) = \frac{1}{t^{\frac{1}{1+\epsilon}}} \int v(t-t') e^{-\frac{1}{1+\epsilon}} dt';$$

2)
$$V(t) = \int_{t=T_1}^{T} v(t') dt'$$

пиональна вследствие малой достоверности этой характеристики, Рекомендуется в качестве характеристики максимума ветра на 2-минутном интервале выдавать значение максимума на предшествующем IO-минутном интервале. При IO-минутном интервале получаем максимум за 2 мин примерно с 80 %-ной обеспеченностью. Значение среднего отклонения максимума за IO-минутный интервал от среднего значения скорости ветра примерно в I,3-I,4 раза больше среднего отклонения для 2-минутного интервала.

3. Принятый в настоящее время интервал осреднения при выдаче максимальной скорости ветра, равный 3 с, является некоторым компромиссом для ряда задач авиационной метеорологии, связанных с воздействием ветра на воздушное судно, т.е. достаточно рационален.

В работе приведени зависимости максимальной скорости ветра от интервала осреднения и интервала, за который определяется максимум. Эти зависимости позволяют оценить значение максимальной скорости при другом интервале осреднения (и при необходимости ввести поправку в показания прибора).

Приведены также соотношения для погрешности определения максимальной скорости ветра в функции от инерции прибора и частоты измерений и даны рекомендации по выбору этих параметров.

4. Волее устойчивие характеристики ветра в районе аэродрома должни давать информацию о ходе средней скорости и возможних отклонениях от средней на интервал IO-20 мин. Эта задача краткосрочного прогноза (в общем случае с привлечением измерений в ряде
точек аэродрома). С этой целью в первом приближении могут бить
использовани характеристики, принятые в настоящее время: среднее
и максимальное значения скорости ветра за IO-минутний интервал,
предшествующий моменту выдачи.

Измеренное значение максимума позволяет определить с прием-лемой точностью также изменчивость скорости ветра (среднее квад-ратическое отклонение \mathfrak{S}_{v}). Поэтому измерение \mathfrak{S}_{v} , предлагаемое в ряде работ, может быть излишним.

Интервал IO мин целесообразно использовать для определения средней и максимальной скорости, а также направления в сообщениях, передаваемых в другие аэропорты (код ФАП) и диспетчерам подхода и круга, вместо принятого сейчас интервала 2 мин.

5. В качестве среднего направления ветра, выдаваемого в составе текущих данных, может быть принято среднее за 2-минутный интервал, предшествующий моменту выдачи, что, в целом, соответствует практике метеоизмерений. В дополнение к этой информации представляется необходимой выдача информации о возможных порывах ветра по направлению. Форма представления данных о порывистости по направлению (среднее квадратическое значение или экстремальные значения направления, соответствующие максимальным отклонениям от среднего), требования к осреднению при определении порыва, интервал, на котором определяется порывистость по направлению, требуют дополнительного уточнения. Допустимо принять, например, осреднение 3 с и выдачу крайних значений осредненного направления за интервал 10 мин.

Представляет интерес также рассмотреть выдачу информации о скорости и направлении ветра в виде средних и экстремальных зна-

чений составляющих ветра вдоль и поперек ВШ.

6. Способ измерения скорости ветра должен обеспечивать непрерывное скользящее формирование максимальной скорости (и направления), что и определяет требования при цифровой обработке к периодичности измерений — не более I—3 с (см. п.3).

Периодичность формирования и выдачи выходных данных о скорости и маправлении ветра (средних и максимальных значениях) должна быть не более 15 с (т.е. интервал обновления данных 15 с).

Отметим, что для экстремальных значений это означает выдачу информации о порыве ветра, превышающем предшествующие на интервале определения экстремума, с задержкой не более чем на 15 с и сохранение этой информации в течение указанного интервала, даже если такой порыв не повторится.

7. Полученные данные о пространственной изменчивости параметров ветра (недостаточная корреляция даже осредненных за IO мин значений скорости и направления ветра в двух точках аэродрома) подтверждают необходимость используемой в настоящее время выдачи данных о ветре с рабочего старта.

Однако этого недостаточно. Необходима система измерения поля ветра в районе аэродрома, обеспечивающая виявление опасных гори—
зонтальных сдвигов ветра и опасных явлений типа шквалов. В мини—
мальной конфигурации такая система может включать датчики ветра, установленные у порога и в конце двух ВШ, и дополнительный датчик в середине аэродрома. Очевидно, при этом не требуется заметных дополнительных затрат. Необходимы лишь, как указывалось выше, параллельные измерения параметров ветра измерительной системой во всех точках, где установлены датчики, с возможностью вывода данных на дисплей метеоролога. Виявление опасных горизонтальных
сдвигов может быть автоматизировано уже на первом этапе путем,
например, контроля превышения порогового значения модулем
разности векторов скорости ветра.

Список литературы

- І. Анискин Л.В., Персин С.М. Влияние инерционности приборов и дискретности наблюдений на погрешность измерения экстремальных характеристик случайного процесса // Труды ITO. — 1974. — Вып. 342. — С. 35—45.
- 2. Анискин Л.В., Персин С.М. Распределение абсолютного экстремума случайного процесса // Труды ГТО. 1976. Вып. 346. С.10-15.
- 3. Луцкий В., Галашин Е. Вибрация самолета в полете // Авиация и космонавтика. 1969. № 7. С.15-21.
- 4. Нормы годности к эксплуатации в СССР оборудования гражданских аэродромов и воздушных трасс (НГЭО-81). М.: Воздушный транспорт, 1983.
- 5. Ю дин М.И. Вопросы теории турбулентности и структуры ветра с приложением к задаче колебания самолета // Труды НИУ ГУТМС. 1946. Сер. I, вып. 35.
- 6. Dutton M. Optimum averading time of wind reports for aviation // Meteorol. Mag. 1975. P.231-243.
- 7. Hardy R. A note on the optimum averading time of wind reports for aviation // Meteorol. Mag. 1974. P.99-105.
- 8. Shiotoni M., Iwatoni F. Horizontal space correlations of velosity fluctuance during strong winds // J. Meteorol. Soc. Jap. 1976. Vol.54, N 1. P.59-67.

Р.А.Круглов

РЕТРОРЕФЛЕКТОРЫ ДЛЯ ТРАНСМИССОМЕТРОВ

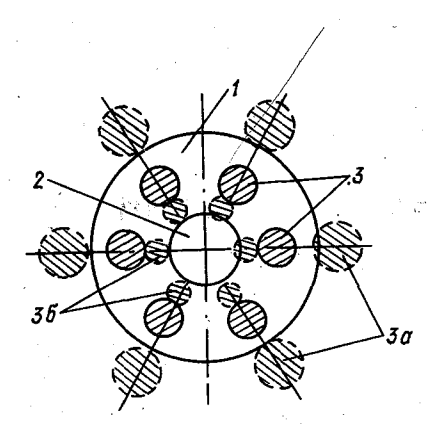
Отражатели, используемые в трансмиссометрах, должны обладать свойством возвращать свет на источник излучения в пропорции, слабо зависящей от пространственной ориентации собственной оптической оси. Такие отражатели называют ретрорефлекторами /6/.

Анализ опубликованных в общетехнической и патентной литературе работ показывает, что наряду с широко известным триппельпризменным отражателем /3/ в качестве ретрореблектора используется также отражатель типа "кошачий глаз". Как показано в работе /4/, обязательными конструктивными элементами такого отражателя являются зеркальный, или линзовый, фокусирующий объектив и сферическое зеркало, установленное в фокальной плоскости объектива. Не располагая этой информацией, авторы более поздних работ /І. 5/ предлагали в фокальной плоскости объектива устанавливать плоское зеркало. Такие отражатели были применены в первых фотометрах для измерения метеорологической дальности видимости /5/. Однако их эксплуатационные характеристики оказались неудовлетворительными, поскольку они были чувствительны к пространственным смещениям оптической оси. Вероятно, поэтому в трансмиссометрах типа РДВ-2 и РДВ-З в качестве ретрорефлектора был принят к использованию триппель-призменный отражатель. Спустя некоторое время возникла необходимость уменьшить длину измерительной базы РДВ с целью расширения диапазона измерения в сторону низких значений прозрачности атмосферы. При попытке использовать на укороченной измерительной базе прежнюю конструкцию отражателя вняснилось, что приборы типа РЛВ становятся чувствительными к взаимным пространственным омещениям оптических осей издучателя и отражателя. Это обстоятельство было учтено при разработке нового двухбазового фотометра ФИ-І /2/, в котором на укороченной измерительной базе применен отражатель типа кошачий глаз. Однако вскоре выяснилось, что в конкретных условиях применения на местах эксплуатации, а также при внполнении экспериментальных исследований целесообразно использовать ФИ-І на промежуточных измерительных базах. В связи с этим вновь возник вопрос о границах применимости используемых в трансмиссометрах различных конструкций отражателей. В метеорологическом приборостроении публикации по этому вопросу отсутствуют. Необходимые теоретические сведения о ретрорефлекторах изложены в узкоспециальной литературе. Отсутствие доступной исходной информации о критериях выбора конструкции отражателя применительно к трансмиссометрам ставит разработчика в затруднительное положение, заставляя всякий раз при проектировании заново осуществлять поиск правильных решений. Данная работа имеет цель частично восполнить этот пробел.

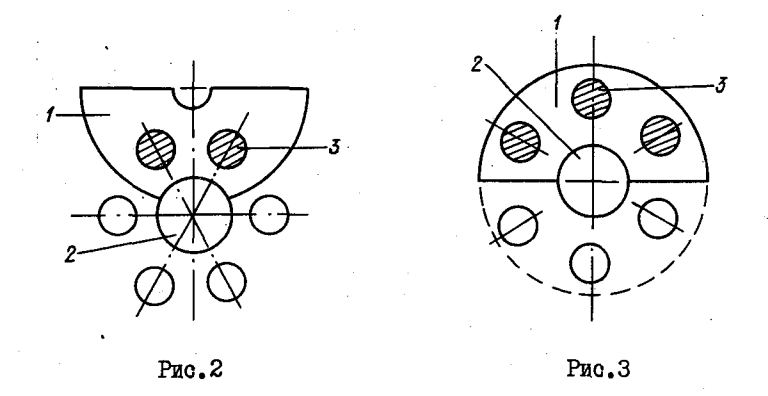
Выполним сравнительную оценку характеристик двух основных типов ретрорефлекторов, используя литературние источники и опыт эксплуатации приборов типа РДВ и Φ И-I.

Широко применяемый на практике триппель-призменный отражатель является разновилностыю уголкового отражателя и имеет превосходине характеристики ретрорефлектора. Однако он обладает рядом существенных недостатков /4/. Такому отражателю свойственны большие светопотери ввиду трежкратного отражения светового пучка, а также большая трудоемкость изготовления, которая объясняется високими требованиями к точности обработки и идентичности углов между гранями призмы. Три зеркальные плоскости и шесть юстировочных осей вращения обусловливают сложность и дороговизму истировки данного устройства. Самым крупным эксплуатационным недостатком такого отражателя в применении к трансмиссометрам является невозможность регулировки угла расходимости отраженного пучка. По этой причине иля каждой илини измерительной бази трансмиссометра требуется изготавливать триппель-призмы с определенным углом между гранями, отличным от 90°. В противном случае световой пучок не попадет на приемное зеркало, а будет смещаться либо за края зеркала по мере удаления отражателя от фотометрического блока. либо к центру зеркала по мере приближения отражателя к источнику излучения. Во втором случае возвращенный отражателем пучок света попадет на излучающий объектив, который в приборах РДВ-2 и ФИ-І расположен соосно с приемным зеркалом, экранируя его центральную часть. Сказанное иллострируется рис. І, где приняти следующие обозначения: I - приемная поверхность зеркала, 2 - излучающая поверхность объектива, 3 - пучки света от триппель-призменного отражателя при правильном его расположении относительно фотометрического блока, За - при удалении отражателя, Зб - при приближении отражателя к излучателю. В отличие от РДВ-2 и ФИ-І в приборе РДВ-З оптические оси издучающего объектива и приемного зеркала не совпадают. Это показано на рис. 2, где приняти те же обозначения. что и на рис. І.

Из рисунка видно, что в приборе РДВ-З нерационально используется энергия возвращенного отражателем пучка света (одна треть всей энергии). Кроме того, нетрудно оделать вывод о том, что та-



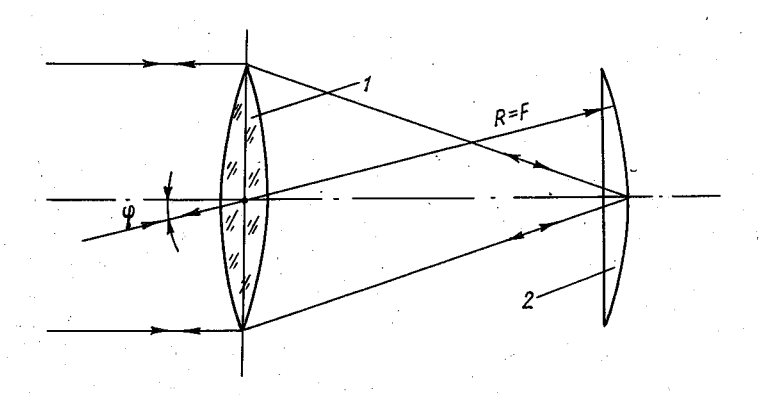
Puc.I



кая оптическая схема, несмотря на отсутствие экранировки центральной части зеркала, более чувствительна к смещению возвращенных отражателем пучков света в сторону объектива. Именно по этой причине оказалось невозможным использовать РДВ-3 на укороченной измерительной базе и пришлось использовать для этой цели приборы РДВ-2. В приборе ФИ-I, как и в РДВ-3, оптические оси излучателя и приемного зеркала совпадают, однако зеркало заимствовано от РДВ-3. Чтоби максимально использовать возвращенную отражателем световую энергию, триппель-призмы в отражателе ФИ-I развернути в плоскости, перпендикулярной оптической оси, на угол 90°. По этой

причине зеркало захвативает половину энергии светового поля отражателя (три из шести пучков света). Это хорошо видно на рис.3. Из сказанного следует, что в триппель-призменном отражателе все призмы должны быть одинаково ориентированы по отношению к его оптической оси, в противном случае трудно гарантировать требуемые эксплуатационные характеристики в конкретной оптической схеме прибора.

Рассмотрим теперь кратко основные свойства отражателя типа "кошачий глаз". Из рис. 4 видно. что такой отражатель содержит объектив I и сферическое зеркало 2. Радиус кривизны зеркала R равен фокусному расстоянию объектива Г. Нетрудно видеть, что при указанных условиях центральный дуч объектива независимо от угла наклона У к оптической оси объектива оказывается всегда нормальным к поверхности сферического зеркала, в силу чего возвращается на источник издучения. В таком отражателе всего один критичный размер - расстояние межиу объективом и зеркалом. Если конструктивно обеспечить регулировку этого размера. то можно при настройке отражателя скомпенсировать неточность изготовления его компонентов. что значительно удешевляет его производство. В работе /4/ показано. Что паже пои поле зрения 10° отклонение. паваемое таким отражателем. отличается от илеального не более чем на 5". В этой же работе делается вывод о том, что задача юстировки ретрорефлектора типа кошачий глаз с полем зрения I^O тривиальна. В пределах угла наклона 10 отражатель поворачивает лучи точно на



Pmc.4

180°. Если в качестве объектива использовать объектив типа "сфорогон", у которого фокальная поверхность сферическая, а не плоская, то можно гарантировать олизкие к идеальным характеристики ретрорефлектора при условии, что радиусы кривизны фокальной поверхности и поверхности зеркала одинаковы. В отличие от триппельпризменного отражателя такой отражатель возвращает на источник излучения световой поток в виде сплошного пучка круглого сечения. В идеальном случае пучок является параллельным. Если же изменять расстояние между объективом и зеркалом, то можно менять расходимость отраженного светового пучка, т.е. регулировать количество световой энергии, попадающей на приемное зеркало трансмиссометра.

Необходимо отметить, что рассмотренный ретрорефлектор, содержащий линзовый объектив и сферическое зеркало, является разновидностью классического отражателя типа кошачий глаз, подробно рассмотренного в работе /6/. В классическом отражателе используется зеркальный объектив. Лучшие результати дает параболическое зеркало. Вторичное (отражающее) зеркало должно быть, как и в рассмотренном зеркально-линзовом отражателе, сферическим. Однако оно может иметь как вогнутую, так и выпуклую поверхность. Тем не менее лучшие результати дает вогнутое вторичное зеркало. Предельный угол наклона лучей к оси для выпуклого зеркала составляет 2,3°, в то время как для вогнутого зеркала этот угол в 2 раза больше (примерно 5°) /6/.

Завершая сравнительний анализ характеристик рассмотренных ретрорефлекторов, можно сделать следующие выводы.

Отражатель типа кошачий глаз имеет более универсальные эксплуатационные характеристики. Одна и та же конструкция отражателя с регулировкой расстояния между объективом и сферическим зеркалом может быть использована на различных измерительных базах трансмиссометра. Такой отражатель прост в изготовлении, а неточность изготовления компонентов отражателя легко компенсируется при настройке. При соответствующем усложнении отражателя можно гарантировать более высокие эксплуатационные характеристики по сравнению с триппель-призменным отражатель. Триппель-призменный отражатель не может быть использован на различных измерительных базах без изменения конструктивных параметров. Возможность корректировки свойств отражателя после изготовления отсутствует. Для такого отражателя характерны высокая трудоемкость и стоимость изготовления. Отраженный пучок имеет не сплошную пространственную структуру в поперечном сечении, что приходится учитывать при использова-

нии в конкретной оптической схеме трансмиссометра. Такие отражатели целесообразно использовать на больших измерительных базах протяженностью более ста метров, поскольку для таких расстояний потребуется соответствующее усложнение конструкции и удорожание отражателя типа кошачий глаз.

Список литературы

- I. А.с. I08030. СССР, кл.42с. Зеркально-линзовый отражатель / В.А.Величко, К.А.Чудина. Опубл. I.I2.I956. Бюл. изобретений. I956. № 22.
- 2. А.с. 382037. СССР. МКИ ОІ І/ОО. Устройство для измерения прозрачности атмосферы / В.Е.Карпуша, Р.А.Круглов, М.С.Стернзат, С.Д.Плинте. — Заявл. 23.08.71; Опубл. 22.05.73. — Бюл. изобретений. — 1973. — № 22.
- 3. Бегунов Б.Н., Заказнов Н.П. Теория оптических систем. - М.: Машиностроение. 1973. - 234 с.
- 4. Белл Р.Дж. Введение в фурье-спектроскопию. М.: Мир. 1975. С.322-337.
- 5. Гаврилов В.А. Прозрачность атмосферы и видимость. - Л.: Гилрометеоиздат. 1958. - С.128.
 - 6. Патент № 2936012 ФРГ. Кл. 02В 5/12, 1981.
- 7. Beer R., Marjanieni D. Wavefronts and construction tolerances for a cat's-eye retroreflection // Appl. Opt. 1966. N 5. P.1191.

Ю.А.Житарев, Н.А.Плешкова, Е.В.Романов

О ПОВЫШЕНИИ ДОСТОВЕРНОСТИ ПОКАЗАНИЙ БАЗИСНЫХ ФОТОМЕТРОВ ФИ-І ПРИ РАБОТЕ В СОСТАВЕ АВТОМАТИЧЕСКОЙ МЕТЕОСТАНПИИ

Импульоний базионий фотометр ФИ-I /2/ является одним из основных приборов, применяемых при метеорологическом обеспечении взлетов и посадок воздушных судов на аэродромах гражданской авиании. В этом приборе в отличие от его предшественника РДВ-3 /3/ достигнуто расширение диапазона измерения по метеорологической дальности видимости (МДВ) до 50 м путем применения двух отражателей. Один отражатель установлен на расстоянии 100 м от фотометрического блока, что обеспечивает измерение МДВ в поддиапазоне 250-6000 м, второй отражатель, установленний на расстоянии 20 м, обеспечивает измерение МДВ в поддиапазоне 50-1200 м. При дальности видимости 250-1200 м прибор может поочередно работать с любым из двух отражателей (правда, не одновременю, по очереди).

В фотометре ФИ-I в отличие от РДВ-З реализована схема прямого преобразования коэффициента пропускания (прозрачности) в
электрический сигнал. Коэффициент пропускания представляет собой
отношение интенсивности света, ослабленного атмосферой на измерительной базе, к интенсивности излученного не ослабленного атмосферой света. Коэффициент пропускания в приборе пропорционален
выходному току фотоумножителя, который преобразуется в напряжение
постоянного тока и после сглаживания RC —фильтром с большой постоянной времени $T = RC \approx 30$ с подается в канал связи.

Для уверенного определемия поддиапазона на приемном конце в линии связи используются три жили. На рисунке изображена схема выходных цепей фотометра ФИ-І при его подключении к автоматической метеостанции. Сигнали управления в виде импульсов напряжения отрицательной полярности поступают в цепь І (дальняя база БД) или 2 (ближняя база ББ), включая реле К2 или К3 соответственно. Срабативая, реле К2 (К3) переводит в соответствующее положение (БД или ББ) релейний переключатель КІ. При этом в приборе переключатются оптические канали (измерительные базы).

Дистанционное выключение питания фотометра обеспечивается одновременной подачей сигналов управления в оба измерительных канала. Включается прибор подачей одиночного сигнала управления в любой измерительный канал.

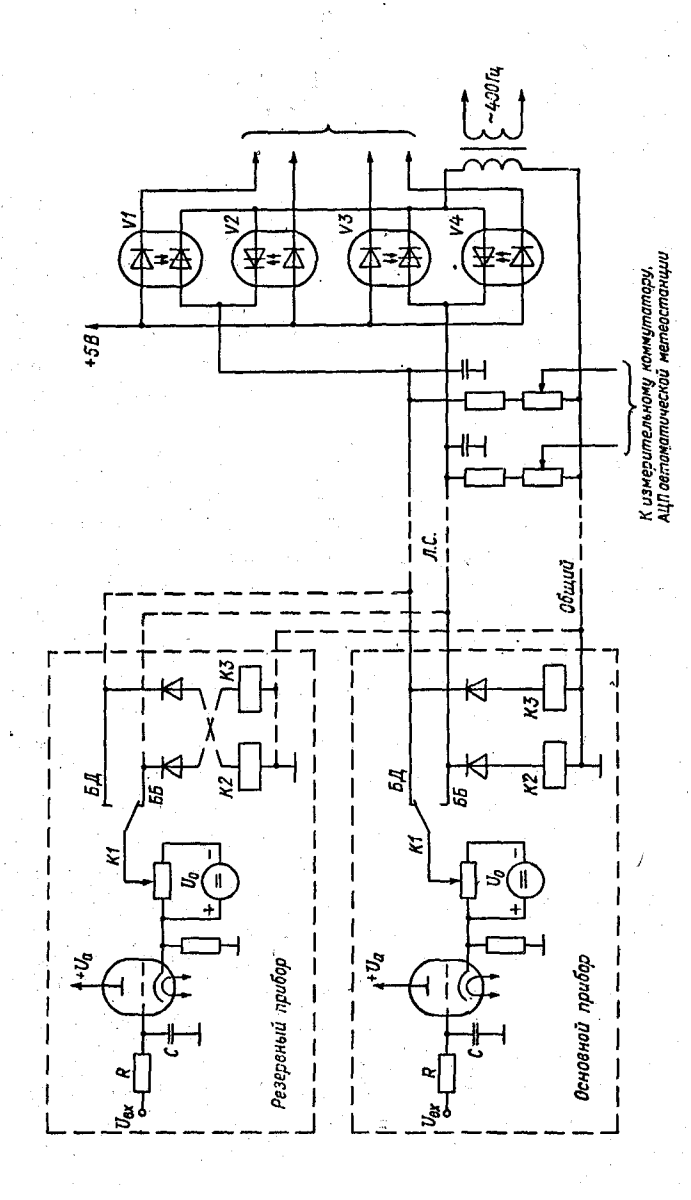


Схема полкличения приборов ФИ-І к автоматической станции.

В автоматической аэродромной метеостанции на микропроцессоре /I/ сигналы управления предложено формировать при помощи тиристорных оптронов, включаемых на время подачи сигналов управления импульсами, подаваемыми от управляющего коммутатора. Из соображений универсальности платы сопряжения метеостанции с группой приборов видимости, высоты облаков и др., рассчитанных в общем случае на разнополярные сигналы управления, предусмотрено формирование как отрицательных (открываются тиристоры VI, V3, ...), так и положительных импульсов (открываются тиристоры V2, V4, ...).

В каждом измерительном канале имеется делитель из резисторов, позволяющий нормировать напряжение, подаваемое через измерительный коммутатор на аналого-пифровой преобразователь (АШІ), который также из соображений универсальности рассчитан на работу с измерительными сигналами любой полярности.

В рассмотренной схеме соединения ФИ-I с автоматической метеостанцией один из измерительных каналов оказывается свободным, что позволяет подключить резервный прибор. Подключение резервного прибора (показан пунктиром на рисунке) выполняется параллельно основному к той же трехпроводной линии связи, при этом в резервном приборе изменяется подключение реле К2 и К3 к Л.С., как показано ва рисунке. Тогда при подаче от станции сигнала включения основного прибора на дальною базу резервный прибор включается на ближною базу, и, наоборот, при включается на дальною базу, резервный прибор включается на дальною базу.

Подключение к автоматической станции резервных приборов ФИ-І позволяет заметно поднять достоверность вырабатываемой информации о дальности видимости. Для этого следует периодически переключать приборы с базы на базу, сличая их показания на одной и той же базе, а также используя показания обоих приборов на разных базах в зоне перекрытия поддиапазонов 250-I200 м.

Может бить предложен следующий алгоритм работи и использования показаний двух приборов (основного и резервного). Во время обслуживания полетов при хорошей видимости, т.е. при МДВ не менее 2000 м необходимо периодически переключать приборы с бази на базу (например, каждые 2 мин) и сличать осредвенные на скользящем интервале 10-30 мин показания приборов на общей базе. В случае заметных расхождений показаний приборов (более 3-4 % по коэффициенту пропускания) необходимо вирабатывать сигнали оператору для принятия оперативных мер к подстройке приборов. Указанная процедура в случае сходимости показаний дает уверенность, что при дальнейшем ухущиении видимости показания будут достоверны.

При дальнейшем ухудшении видимости переключение приборов с бази на базу следует прекратить и, начиная с некоторого порогового значения (например 1500 м), использовать оба отсчета МДВ как по каналу дальней бази одного (основного) прибора $S_{\rm g}$, так и по каналу ближней бази второго (резервного) прибора $S_{\rm g}$. Простейший метод использования показаний $S_{\rm g}$ и $S_{\rm g}$ в зоне перекрития, который может бить рекомендован, — определение минимального значения МДВ и передача его в служби движения в качестве официального значения. Возможни другие подходы. Например, может производиться осреднение показаний с весами $K_{\rm g}$ ие $K_{\rm g}$

$$S = K_1 S_{A} + K_2 S_{S}$$
 (I)

На нижней границе зоны перекрытия $K_{\pm}=0$, $K_{\pm}=1$ и используются показания только S_{ϵ} , на верхней границе $K_{\pm}=1$, $K_{\pm}=0$ и используются показания только S_{\pm} . Внутри диапазона перекрытия K_{\pm} и K_{\pm} могут изменяться по некоторому закону, например в простейшем случае линейному. В качестве аргумента для определения значений коэффициентов можно взять среднее значение видимости

$$\overline{S} = \frac{S_A + S_5}{2}.$$

Осреднение с весами по формуле (I) дает более гладкую, непрерывную зависимость МДВ во времени.

Предложенную методику сглаживания МДВ при переходе с бази на базу следует применять при относительно небольших расхождениях $|S_A - S_B| < (0,2...0,3)$ \tilde{S} . При больших расхождениях необходимо автоматически вырабатывать для оператора сигнал несогласованности показаний прибора на разных базах, выдавая при этом потребителю из соображений безопасности минимальное значение МДВ.

Подключение резервного прибора по схеме, представленной на рисунке, имеет недостаток: по общему проводу протекают токи от двух разных приборов, что приводит к взаимозависимости каналов и вносит дополнительную погрешность в результати измерения. Эта погрешность пожет бить уменьшена повышением входного сопротивления пелителей измерительных каналов в автоматической станции.

Список литературы

І. Автоматизация аэродромных метеорологических измерений с использованием микропроцессоров / Л.П.Афиногенов, С.И.Грушин,

- С.В.Кузьминов, Е.В.Романов // Тез. докл. на Всесовз. конф. по авиационной метеорологии, 8-12 сентября 1986 г. М.: ВДНХ, 1986.
- 2. А.с. 382037. СССР. МКИ ОІ І/ОО. Устройство для измерения прозрачности атмосферы / В.Е.Карпуша, Р.А.Круглов, М.С.Стернзат, С.Д.Плинте. — Заявл. 23.08.71; Опубл. 22.05.73. — Бюл. изобретений. — 1973. — № 22.
- З.Приборы и установки для метеорологических измерений на аэродромах / Под ред. Л.П.Афиногенова, Е.В.Романова. Л.: Гидрометеоиздат, 1981. С.28—41.

А.А.Афанасьев, Е.В.Романов

ПОЛУАВТОМАТИЧЕСКОЕ КОДИРОВАНИЕ ГРУПП ЯВЛЕНИЙ ПОГОДЫ В МЕТЕОСООБЩЕНИЯХ АВТОМАТИЧЕСКИХ АЭРОДРОМНЫХ СТАНЦИЙ

Одной из основных задач метеорологического обеспечения авиапии является оперативное получение путем измерений и наблюдений исходной метеоинформации о фактической погоде на аэродроме, формирование (кодирование) метеорологических сообщений и максимально быстрая передача этих сообщений потребителям как внутри аэродрома, так и за его пределами по сети связи.

На авиационных метеостанциях контролируются инструментально (измеряются) параметры ветра, видимости (в том числе высота обла-ков), атмосферное давление, температура, влажность воздуха. Остальные метеопараметры (гроза, гололед, осадки, метель, пыльные и песчаные бури и др.) контролируются, как правило, визуально (наблюдаются).

С пелью повышения оперативности и достоверности метеоинформашии процесс формирования метеосообщений автоматизируют. Эту задачу на аэродромах ГА СССР решает автоматическая станция типа КРАМС-МІ /4/, которая передает на средства индикации измерительную информацию о параметрах ветра, видимости, высоте облаков, давлении, температуре и влажности. Вручную вводится и может быть передана на отображение информация о грозе, гололеде и каком-либо еще одном опасном явлении (осадках, пыльной или песчаной буре, метели и т.д.). Однако процесс формирования метеосообщений, распространяемых по каналам связи в установленных метеокодах ФАП, МЕТАР, КH-OI, не автоматизирован в КРАМС-МI из-за ограниченных возможностей ее вычислительного устройства по быстродействию, объему памяти и др. Использование микропроцессорных средств вычислительной техники при построении аэродромных автоматических метеостаниий открывает широкие возможности в направлении более полной, комплексной автоматизации технологии метеообеспечения,

В аэродромной метеостанции на микропроцессорах /I/ запрограммированы автоматическое формирование и передача на узел связи упомянутых метеосообщений, причем как регулярных, формируемых в сроки наблюдений, так и специальных сообщений о существенных изменениях погоды (ФАП IIIT, SPECI).

Группы W'W' об атмосферных явлениях в момент наблюдения в разных метеокодах отличаются по числу символов и по составу. Так,

в телеграммах внутрисовзного авиационного кода ФАП /5/ используется четырехсимвольное цифробуквенное обозначение каждого отдельного атмосферного явления (например, 42ТМ — туман, 64ДД — дожды сильный) но установленному перечню, содержащему 38 разных явлений.

Группа w'w' может повторяться столько раз, сколько разных явлений нужно описать. При отсутствии явлений группа w'w' опускается.

В международном коде МЕТАР (SPECI) для кодирования групп w'w' используется код 4678 /6/, содержащий перечень из 88 разных явлений погоды. Каждое явление кодируется двумя цифровыми разрядами от 04 до 99 и следующими за ними без пробела буквами (от двух до шести латинских букв). При необходимости описать несколько явлений погоды одновременно группа повторяется нужное число раз.

Внеочередные телеграммы в коде ФАП подаются при скорости ветра более 20 м/с и при возникновении (прекращении) некоторых атмосферных явлений (шквал, смерч, гроза, гололед) /3/.

Внеочередные телеграммы SPECI формируются при ряде изменений параметров ветра, видимости, а также при более полном перечне явлений погоды, их появлении, усилении, ослаблении или исчезновении (шквал, смерч, гроза, гололед, град, снег с дождем, поземок, пыльная или песчаная буря).

Наиболее полный перечень из ста явлений погоды предусмотрен в международном коде КН-І (ГМ12- \mathbb{W} SYNOP), однако в отличие от кодов ФАП и МЕТАР (SPECI) передается в установленный срок наблюдений только одна группа следующей структури: 7W_1W_2 ww , где 7 — условная пифра, 8W_2 — погода в срок наблюдений из перечня 00...99, 8W_1 , 8W_2 — погода между сроками наблюдений, по одной десятичной пифре, описывающей группу явлений погоды. Правила формирования 8W_1 и 8W_2 приведени в /2/.

Сравнение перечней явлений погоды, используемых в кодах ФАП, МЕТАР и КН-ОІ, позволило разработать для автоматической аэродромной метеостанции единую универсальную таблицу явлений погоды. В ней за основу взят перечень (множество) явлений погоды по коду КН-ОІ. Перечни явлений, используемые в кодах МЕТАР и ФАП, а также выдаваемые в службы движения аэронорта на блоки индикации БИ, выступают в качестве подмножеств. В таблице предусмотрена также графа W для прошедшей погоды.

Таблица заносится в постоянную память микроЭВМ автоматической метеостанции. В оперативной цамяти предусмотрено несколько

особые явления погоды

КН-	-0I	- METAP	ФАП	Явления погоды	Отображение (БИ)
00	0			Ясно	
OI	Ī			Переменная облач-	
				ность	
02	2			Пасмурно без измене-	
7				ний	*
.03	2			Пасмурно с ухудшени-	
		•		ем	a a
04	4	04 FU	04ДМ	Ilim (Дымка
05	4	05 H Z	OSIIM(CM)	Мгла (снежная)	Мгла
06	4	06 H Z	05IIM	Мгла пыльная	H v
07	3	08 PO	08IIB	Пыльный (песч.)	
				вихрь слаб.	
80	3	08 20	OSTIB	Пыльный (песч.)	
				вихрь разв.	
09	3	078A*	30IIB	Пыльная (песч.)	Пыльная буря
				буря	X.
10	4	IOBR	ІОДК	Дымка	Дымка
II	4	IIMIGF	IIT3	Поземный туман	Туман
		,		(клочками)	
12	4	I2MIGF	12111	Поземный туман	11
				(сплошной)	and the second
13	I		I63P	Зарница	
I 4	2			Осадки в поле зре-	
				ния слаб.	
15	2			Осадки в поле зре-	
				ния дальние	•
16	2.			Осадки в поле зре-	
				ния ближние	
17	9	17 TS *	I7IC*	Гроза сухая (без	Гроза
				осадков)	
18	3	I8 SQ *	ISIIB $^{\mathbf{x}}$	Шквал	
I9	3	I9 FC*	I9CŅ [₩]	Смерч	
20	5	20 REDZ	-	Недавняя морось	
2I	6	2I RERA		Недавний дождь	
22	7	22 RES N		Недавний снег	
				e	

KH-	OI	- METAP	ФАП	Явления погоды	Отображение (БИ)
23	7	23RERASN		Недавние дождь и	
04	•	04.000.704	3.5	CHOL	
24	6	24 REFZRA		Недавний переохл.	
25	8	25 RESH		дождь	
26	8	26 RESH		Недавние ливни Недавние снежные	
20	Ü	AU NEDIT		ливни	
27	7	27 REGR		Недавний град	
28	•	~ 1		nomental read	
29	9	29 RETS		Недавние грозы (в	*
				т.ч. с осадками)	
30	3	30 SA *	30IIB	Пыльная (песч.)	Пыльная буря
				буря (ослаб.)	
3I	3	3ISA X	30IIB	Пыльная (песч.)	То же
				буря умер. (неизм.)	
32	3	, 32 SA *	30IIE	Пыльная (песч.)	Ħ
		v.		буря умер. (усил.)	
3 3	3	33 XX\$A*	30IIB	Пыльная (песч.) бу-	. 11
				ря сильн. (ослаб.)	
34	3	34 XX S A *	30115	Пыльная (песч.)	
	_			буря (неизм.)	
35	3	35 XX SA *	30115	Пыльная (песч.)	**
00		36 DRS N*	O.CTTO	буря (усил.)	
36	3 3	37 DRSN*	36113		Метель
37 38	3	37 DR3N 38 BLSN *	36113 38MH		**
39	3	39 BLS N *	. 75MT		**
40	4	40 BCFG	ISTP	Туман на расстоя-	Туман
40	-1	40 DC1 0	1011	HUN	туман
4 I	4	4IBCFG	IIT3	Гряды тумана	п
42	4	42 F G	42TM	Туман	11 - 1
43	4	43 F G	42TM	11	
44	4	44 F G	42TM	n '	n ,
45	4	45 F G	42TM	11	n .
46	4	46 F G	42TM	n	ni

Продолжение таблицы

KH-0	<u> </u>	- METAP	ΦΑΠ	Явления погоды	Отображение (БИ)
47	4	47 FG	42TM	Туман	Туман
48	4	48 FZ FG	42TM	Переохлажденный ту- ман	11
49	4	49 FZFG	42TM	То же	1f
50/20	5	50 D Z	50MP	Морось с перерыва- ми, сильная	Морось
51/20	5	5I DZ	50MP	Морось непрерывная, слабая	11
52/20	5	52 DZ	50MP	Морось с перерыва- ми, умеренная	tt .
53/20	5	53DZ	50MP	Морось непрерывная, умеренная	11
54/20	5	54 XXDZ	54MM	Морось с перерыва- ми, сильная	tt .
55/20	5	55 XXDZ	54MM	Морось непрерывная, сильная	t1
56/20	5	56 F Z D Z *	56M∏¥	Морось переохлажд., слабая	Морось, гололе
57/20	5	57 FZDZ *	57∏¥	Морось переохлажд., сильная	То же
60 / 2I	6	60 RA	60ДЖ	Дождь с перерыва- ми, слабый	Дождь
6I/2I	6	6I RA	ЖДОЭ	Дождь непрерывный, слабый	. "
62/2I	6	62 RA	60AX	Дождь с перерыва- ми, умеренный	11 ·
63/2I	6	63 R A	60ДЖ	Дождь непрерывный, умеренный	tt
64/2I	6	64 XXRA	64ДД	Дождь с перерыва- ми. сильный	11
65/2I	6	65 XX RA	64ДД	Дождь непрерывный, сильный	11
66/24	6	66 FZRA*	66Д∏ <mark>≭</mark>	Дождь переохлажден- ный слабый	Дождь, гололед
67/24	6	67 XXFZRA*	67ДД ≭	Дождь переохлажден- ный сильный	То же

Продолжение таблицы

KH-C	·±	- METAP	ФАП	Явления погоды	Отображение (БИ)
68/23	7	68 RASN *	68ДС	Дождь сс снегом, слабне	Снег
69/23	7	69 XXRASN*	58ДС	Дождь со снегом, сильные	n
70/22	7	70 SN	70CH	Снег с перерывами, слабый	11
71/22	7	7I SN	70CH	Снег непрерывный, слабый	π
72/22	7	72 SN	70CH	Снег с перерывами, умеренный	11
73/22	7	73 S N	70CH	Снег непрерывный, умеренный	. n
74/22	7	74 XXSN	74 CC	Снег с перерывами, сильный	11
75/22	7	7 5 xx s N	74CC	Снег непрерывный, сильный	11
76/22	7	_	78ЛИ	Ледяные иглы	n
77/22	7	77 SN	7IC3	Снежные зерна	n
78/22	7	_	78ЛИ	Снежные кристаллы	Ħ
79/22	7.	79 PE	79JIK	Ледяной дождь (кру- па)	Ħ
80/25	8	80RASH	80ЛД	Ливневый дождь сла- бый	Дождь
81/25	8	8I XXRA	80ЛД	Ливневый дождь уме- ренный	n e e e e e e e e e e e e e e e e e e e
82/25	8	82 XXRA	80ЛД	Ливневый дождь сильный	Ħ
83/26	8	83 RASN *	83СД	Ливневый дождь со	Снег
84/26	8	84 RASN *	83СД	Ливневий дождь со снегом сильный	11
85/26	8	85 \$N\$H	85JIC	Ливневый снег	" ,
86/26	8	86 XXSN	85JIC	Ливневый снег силь-	Ħ
87/27	7	87 GR	79JIK	Ледяная (снежная) крупа слаб .	n '

Продолжение таблицы

KH-C)I	- METAP	ФАП	явления погоды	Отображение (БИ)
88/27	7	88 GR	79ЛК	Ледяная (снежная) крупа сильн.	Снег
89/27	7	89 GR*	89TP	Град	Град
90/27	7	90 XXGR*	89TP	Град сильный	11
91/29	9	9IRA	60ДЖ	Дождь (недавн. гро- за)	Дождь
92/29	9	92 XXRA	64ДД	Дождь сильн. (не- давн. гроза)	11
93/29	9	93 GR*	96IT*	Крупа, град слаб. (недавн. гроза)	Град
94/29	9	94 XXGR*	96TT [≭]	Крупа, град сильн. (недавн. гроза)	11
95/29	9	95 TS*	95 T 3 ^{≭}	Гроза с дождем (снегом)	Дождь, гроза
96/29	9	96 TS *	96IT**	Гроза с градом (крупой)	Град, гроза
97/29	9	97 XXTS*	95 T 3 ^{≭}	Гроза сильн. с дож- дем (снегом)	Дождь, гроза
98/29	9	98 TS S A *	98IƁ ≭	Гроза с пыльн. (песч.) бурей	Пильная буря, гроза
99/29	9	99 XXTSGR	* 99I₽ *	Гроза сильная с градом (крупой)	Град, гроза

ячеек, в которые оператор вводит вручную сведения о текущих атмосферных явлениях в коде КН-ОІ (две десятичные цифры на каждое явление).

Опасные атмосферные явления, перечисленные в колонке БИ, выдаются на средства отображения немедленно автоматически сразу после ввода. Опасные явления, помеченные в колонках ФАП и МЕТАР звездочкой, выдаются также немедленно автоматически в каналы связи в кодах ФАП ШТ и SPECI (явления погоды передаются при этом в виде предусмотренных комбинаций пифр и букв). В сроки наблюдений телеграммы ФАП и МЕТАР также выдаются автоматически с введенными на этот момент времени группами явлений погоды.

Телеграммы отбоя штормов вырабатываются автоматически после отмены ручным вводом соответствующих явлений с небольшой наузой

(2 мин для сообщений БИ и ФАП, 10 мин для сооощений SPEC1).

В перечне явлений погоды имеется группа (позиции 20...29)

"недавних" явлений, т.е. прекратившихся, но имевших место в течение последнего часа. Процесс подачи сообщений об этих явлениях может быть автоматизирован. В таблице (колонка ww) показано, какие явления переходят при их прекращении (это явления, связанные с осадками) в категорию недавних с указанием их нового кода (через косур черту). В ячейках оперативной памяти, хранящих эти явления, должны формироваться счетчики времени (на вычитание), устанавливаемые на 60 мин при вводе в них кода недавнего явления. По прошествии часа счетчик переходит через ноль и недавнее явление автоматически стирается из памяти ЭВМ.

Для сообщений, выдаваемых в коде КН-0I, может быть автоматизирован процесс формирования группы W_1W_2 о прошедшей погоде. Для этого производится следующая процедура обработки текущих явлений WW

Каждому введенному явлению $\vee\vee$ (двухразрядный код) соответствует одноразрядный код \vee прошедшей погодн (см. таблицу). В оперативной намяти выделены три ячейки, образующие стек, в которые автоматически вписываются коды $\vee\vee_4$ и $\vee\vee_2$. Происходит это следующим образом.

После выдачи телеграммы в коде КН-ОІ стек очищается (обнуляется). Каждый раз, когда обнаруживается, что код ww завершив-шегося явления погоды больше кода, который хранится в выходной ячейке стека, в стек вводится этот новый код. В срок выдачи телеграммы сравнивается код w, соответствующий текущему явлению погоды w, с кодом w выходной ячейки стека. Если код w текущего явления не равен коду выходной ячейки стека, последний идентифицируется с погодой w, а код следующей за ней ячейки стека – с w. Если код w текущего явления совпадает с содержимым выходной ячейки стека, то за w, и w, берется содержимое следующих за выходной пвух ячеек стека.

Таким образом, на основе ручного ввода в оперативную память ЭВМ автоматической аэродромной метеостанции кодов текущих явлений погоды обеспечивается автоматическое формирование групп явлений погоды в телеграммах ФАП (ФАП ШТ), МЕТАР (SPECT), КН-ОГ, включая коды недавней погоды и погоды между сроками.

Дальнейшим развитием этого алгоритма должна бить автоматизация формирования кодов текущих явлений погоды на основе обработки сигналов от соответствующих датчиков — сигнализаторов (грозы, осадков, метелей и др.).

Список литературы

- І. Автоматизация аэродромных метеорологических измерений с использованием микропроцессоров / Л.П.Афиногенов, С.И.Грушин, С.В.Кузьминов, Е.В.Романов // Тез. докл. на Всесоюз. конф. по авиационной метеорологии, 8-I2 сентября 1986 г. М.: ВДНХ, 1986.
- 2. Код для передачи данных гидрометеорологических наблюдений с наземных и морских наблюдательных станций КН-ОІ (международная форма FM I2-VII SINOP и FM I3-VII SHIP). Л.: Гидрометеоиздат, 1981. С.25-32.
- 3. Наставление по метеорологическому обеспечению гражданской авиации СССР (НМОГА-82). Л.: Гидрометеоиздат. 1982. С.46-76.
- 4. Приборн и установки для метеорологических измерений на аэродромах / Под ред. Л.П.Афиногенова, Е.В.Романова. Л.: Гидрометеоиздат, 1981. 295 с.
- 5. Сборник авиационных метеорологических кодов. М.: Гидрометеоиздат, 1983. С.27-28.
- 6. Сборник международных метеорологических авиационных кодов. Л.: Гидрометеоиздат, 1985. С.44-46.

С.М.Персин, В.И.Лайхтман

ХАРАКТЕРИСТИКИ ИЗМЕНЧИВОСТИ ПОЛЯ МЕТЕОРОЛОГИЧЕСКОЙ ОПТИЧЕСКОЙ ДАЛЬНОСТИ (МОД) В ОПТИЧЕСКИ НЕОЛНОРОЛНОЙ АТМОСФЕРЕ

Пля выработки требований к аэропромным метеорологическим измерительным системам требуется исследование пространственной структуры МОЛ при ее значениях. близких к минимумам I и II категорий ИКАО. Несмотря на большое число работ по изменчивости МОЛ. пельй при вопросов освещен явно непостаточно. Это прежде всего относится к материалам по пространственной изменчивости для малых пространственных интервалов (начиная оо ота метров и менее). а также к материалам по изменчивости иля ситуаций. близких к опасным, к экстремальным характеристикам. Кроме того, полученные ряпом авторов результати носят противоречивий характер. Вместе с тем из результатов всех исслепований слепует очевилный вывол о значительной пространственной неоднородности поля МОД, особенно при ее значениях ниже 3 км. о нелостаточной репрезентативности измерений МОЛ приоорами с малой базой /2/. Более того, в /3/ автор приходит к выводам. что результат измерения МОД приборами с базой 50-100 м является случайным и что флуктуации помутнения имеют размеры от песятков по сотен метров.

Необходимо подчеркнуть, что имеющиеся результати, свидетельствующие о значительной пространственной неоднородности поля МОД, получены по результатам измерений показателя ослабления (μ) базисными измерительными приборами. Расчет МОД производится по формуле

$$S = -\ln \varepsilon / \mu$$
, (I)

где S - метеорологическая оптическая дальность; E - порог контрастной чувствительности глаза. Формула (I) получена в предположении о горизонтальной опноролности показателя ослабления.

В данной расоте ставится задача расчета карактеристик МОД в онтически неоднородной атмосфере и оценки методических погрешностей определения МОД, вызванных допущением о горизонтальной однородности показателя ослабления.

Рассмотрим зависимость МОД от структуры поля показателя осласления. В соответствии с определением МОД и определением ко-эффициента пропускания $C_{L_{\infty}}$ слоя атмосферы толщиной $\mathcal X$ /I/ для

случая, когда показатель ослабления μ зависит от координати x, т.е. оптический путь в атмосфере не является однородным, а следовательно справедливо выражение (см. /4/)

$$\tau_x = \exp\left(-\int_0^x \mu(y) \, dy\right) , \qquad (2)$$

для МОД (S) будет иметь место соотношение

$$0.05 = \exp\left(-\int_{0}^{3} \mu(y) \, dy\right).$$
 (3)

Найдем характеристики пространственной структури поля МОД, определяемой соотношением (3), где M (ℓ) рассматривается как случайная функция координати. Нахождение точного решения (3) в общем сдучае не представляется возможным. Для приближенного реше-представлена в виде

$$\mu(\ell) = \bar{\mu} + \dot{\mu}(\ell)$$
 и при этом
$$\dot{\mu}^2(\ell) = O\left(\bar{\mu}^2\right).$$
 Решение для дальности видимости ищется в виде

видимости ищется в виде

$$S = L_0 + \Delta S , \qquad (5)$$

где

$$L_{c} = -\ln \varepsilon / \mu . \tag{6}$$

Разложив в ряд Тейлора в окрестности точки 👢 функцию $\mu(\ell)d\ell$ и взяв с учетом малости $\mu(\ell)$ только первые два члена разложения, получим

$$\ln \varepsilon = - \sqrt{\mu} \operatorname{Li}_{0} - \int_{0}^{L_{0}} \dot{\mu}(l) \, dl - \mu(\operatorname{Li}_{0}) \Delta S. \tag{7}$$

Из (6) и (7) находим выражения для Δ S и S (\mathfrak{X}):

$$\Delta S = -\frac{\int \dot{\mu}(l)dl}{\mu(L_0)} , \qquad (8)$$

$$S(x) = L_0 + \Delta S(x) = L_0 - \frac{\int_0^{L_0 + x} \dot{\mu}(\ell) d\ell}{\int_0^{L_0 + x}}$$
 (9)

Найдем математическое ожидание и корреляционную функцию случайной величины S ($\mathfrak X$), определяемой соотношением (9). Математи ческое ожидение S(x) будет иметь вид

$$E(S(x)) = L_o + E(\Delta S(x)).$$
 (10)

Воспользовавшись тем, что $\dot{\mu}^2(\ell) = 0$ ($\bar{\mu}^2$), получим

$$E(\Delta S(x)) = E\left[-\frac{\int_{\mathcal{L}} \mu(\ell) d\ell}{\mu(L_0 + x)}\right] =$$

$$\begin{split} &= E\left\{\frac{-\int_{x}^{L_{0}+x} j \hat{\iota}(\ell) d\ell}{\bar{\jmath} \hat{\iota} + j \hat{\iota}(L_{0}+\hat{x})} \cdot \frac{\bar{\jmath} \hat{\iota} - j \hat{\iota}(L_{0}+x)}{\bar{\jmath} \hat{\iota} - j \hat{\iota}(L_{0}+x)}\right\} \approx \frac{1}{\bar{\jmath} \hat{\iota}^{2}} E\left\{\left[j \hat{\iota}(L_{0}+x) - \bar{\jmath} \hat{\iota}\right] \int_{x}^{L_{0}+x} j \hat{\iota}(\ell) d\ell\right\} = \\ &= \frac{1}{\bar{\jmath} \hat{\iota}^{2}} \int_{x}^{L_{0}+x} R_{j \hat{\iota}}(L_{0}+x, \ell) d\ell , \end{split}$$

где R_{μ} (x_{1} , x_{2}) — корреляционная функция μ (ℓ). Окончательно для E(S(x)) будем иметь

$$E(S(x)) = L_o + \frac{1}{\sqrt{u^2}} \int_{\Omega} R_{Ju}(L_o + x, \ell) d\ell .$$
 (II)

Корреляционная функция S(x) определяется соотношением $R_{S}(\ell_{1},\ell_{2}) = E\left\{\left[S(\ell_{1}) - E\left(S(\ell_{2})\right)\right]\left[S(\ell_{2}) - E\left(S(\ell_{2})\right)\right]\right\} =$

$$= \mathbb{E}\left[\Delta S(\ell_1) \Delta S(\ell_2)\right] - \mathbb{E}\left(\Delta S(\ell_1)\right) \mathbb{E}\left(\Delta S(\ell_2)\right).$$

Учитывая, что
$$\dot{\mu}^{z}$$
 значительно меньше $\dot{\mu}^{z}$, получим $R_{S}(\ell_{1},\ell_{2}) = E\left\{ \left[\frac{1}{\bar{\mu}^{z}} \left(\dot{\mu} (L_{c} + \ell_{1}) - \bar{\mu} \right) \int_{\ell_{1}} \dot{\mu}(\ell) d\ell - \frac{1}{\bar{\mu}^{z}} \right] R_{\mu}(L_{c} + \ell_{1},\ell) d\ell \right] \times C$

$$\times \left[\frac{1}{\bar{h}^2} \left(\dot{\mu} \left(L_c + \ell_2 \right) - \bar{\mu} \right) \int_{\ell_*}^{L_c + \ell_2} \dot{\mu}(\ell) d\ell - \frac{1}{\bar{\mu}^2} \int_{\ell_2}^{L_c + \ell_2} \mathcal{R}_{\mu}(L_c + \ell_2, \ell) d\ell \right] \right\}. \tag{I2}$$

Воспользовавшись выражением для четвертичного момента многомерной нормальной функции /5/, в результате преобразований будем иметь

$$\begin{split} R_{S}(\ell_{1},\ell_{2}) &= \frac{1}{\sqrt{M}} \int_{\ell_{1}}^{L_{0}+\ell_{2}} \int_{\ell_{1}}^{L_{0}+\ell_{2}} \left[R_{M}(L_{0}+\ell_{1},L_{0}+\ell_{2})R_{M}(\ell,\tau) + R_{M}(L_{0}+\ell_{1},\ell) R_{M}(L_{0}+\ell_{2},\tau) + \right. \\ &+ R_{M}(L_{0}+\ell_{1},\tau)R_{M}(L_{0}+\ell_{2}\ell) \left[d\ell d\tau + \frac{1}{\sqrt{M}} \int_{\ell_{1}}^{L_{0}+\ell_{1}} R_{M}(\ell,\tau) d\ell d\tau - \right. \\ &- \frac{1}{\sqrt{M}} \int_{\ell_{1}}^{L_{0}+\ell_{1}} R_{M}(L_{0}+\ell_{1},\ell) d\ell \int_{\ell_{2}}^{L_{0}+\ell_{2}} R_{M}(L_{0}+\ell_{2},\ell) d\ell d\tau . \end{split}$$
(13)

Таким образом, получена зависимость корреляционной функции МОД от структуры показателя ослабления для общего вида корреляционной функции M (ℓ).

Для случая, когда $_{\rm M}$ ($^{\ell}$) является стационарной функцией, выражение для корреляционной функции МОД заметно упрощается. После преобразования двумерных интегралов в одномерные при стационарной функции $_{\rm M}$ ($^{\ell}$) $^{\ell}$ ($^{\ell}$) примет вид

$$R_{s}(\Delta \ell) = \frac{1}{\sqrt{M}} \left\{ \left[\int_{0}^{L_{c}+\Delta \ell} (L_{c}+\Delta \ell - \tau) R_{M}(\tau) d\tau + \int_{0}^{L_{c}-\Delta \ell} (L_{c}-\Delta \ell - \tau) R_{M}(\tau) d\tau + \right] \right\}$$

$$+2\int\limits_{0}^{\Delta\ell}(\tau-\Delta\ell)R_{\mu}(\tau)d\tau]\left[R_{\mu}(\Delta\ell)+\bar{\mu}^{2}\right]+\int\limits_{0}^{L}R_{\mu}(L_{0}-\Delta\ell-\tau)d\tau\int\limits_{0}^{L}R_{\mu}(L_{e}+\Delta\ell-\tau)d\tau\right], \quad (14)$$

где $\Delta \ell = \ell_1 - \ell_2$. Очевидно, эдесь R_S (ℓ_1 , ℓ_2) = R_S ($\Delta \ell$), т.е. функция $S(\ell)$ является стационарной.

В соответствии с (I4) выражение для дисперсии МОД будет иметь вид

$$\mathcal{D}_{g} = \frac{1}{\sqrt{\mu}^{4}} \left\{ 2 \int_{0}^{L_{o}} \left(L_{o} - \tau \right) R_{\mu}(\tau) d\tau \left[D_{\mu} + \overline{\mu}^{2} \right] + \left[\int_{c}^{L_{o}} R_{\mu}(\tau) d\tau \right]^{2} \right\}. \tag{15}$$

В частном случае, когда корреляционная функция μ (ℓ) определяется соотношением

$$R_{\mu}(\tau) = \mathcal{D}_{\mu}e^{-\lambda|\tau|}, \qquad (16)$$

для математического ожидания МОД будем иметь

$$E_{\rm S} = L_{\rm o} + \frac{1}{\sqrt{\mu}} \frac{\mathcal{D}_{\rm A}}{\mathcal{L}} \left(1 - e^{-\lambda L_{\rm o}} \right) . \tag{17}$$

Корреляционная функция и дисперсия S в этом случае будут иметь вид

$$R_{s}(\ell) = \frac{1}{\sqrt{\mu}} \left\{ \frac{D_{N}}{L} \left[2 L_{o} + \frac{1}{L} \left(e^{-L(L_{o} + \ell)} + e^{-L(L_{o} - \ell)} - 2 e^{-L\ell} \right) - 2 \ell \right] \times \right\}$$

$$\times \left[\mathcal{D}_{\mu} e^{-\mathcal{L} \ell} + \bar{\mu}^2 \right] + \frac{\mathcal{D}_{\mu}^2}{\ell^{2\mu}} \left[2 e^{-\mathcal{L} \ell} - 2 e^{-\mathcal{L}(L_0 + \ell)} - e^{-\mathcal{L}L_0} + e^{-2\mathcal{L}L_0} - e^{-2\mathcal{L}\ell} + e^{-2\mathcal{L}L_0} \right]$$

$$R_{\rm g}(\ell) = \frac{1}{\sqrt{\mu^4}} \left\{ \frac{\mathcal{D}_{\rm A}}{\sqrt{\ell^2}} \left[e^{-\mathcal{L}(L_{\rm o}+\ell)} + e^{\mathcal{L}(L_{\rm o}-\ell)} - 2e^{-\mathcal{L}\ell} \right] \left[\mathcal{D}_{\rm A} e^{-\mathcal{L}\ell} + \sqrt{\mu^2} \right] + e^{-\mathcal{L}(L_{\rm o}+\ell)} \right\} + e^{-\mathcal{L}(L_{\rm o}+\ell)} + e^$$

$$+\frac{\mathcal{D}_{M}^{2}}{l^{2^{2}}}\left[e^{\lambda(L_{0}-2\ell)}-e^{-2\lambda\ell}-e^{\lambda(L_{0}-3\ell)}+e^{-3\lambda\ell}\right]\right\} \quad \text{npm} \quad \ell \geqslant L_{0}, \tag{19}$$

$$\mathcal{D}_{S} = \frac{1}{\sqrt{M^{4}}} \left\{ \frac{2\pi^{2} \mathcal{D}_{M}}{d} - \left(L_{c} + \frac{1}{d} e^{-dL_{c}} - \frac{1}{d} \right) + \frac{\mathcal{D}_{M}^{2}}{d^{2}} \left(2dL_{o} + e^{-2dL_{o}} - 1 \right) \right\} . \tag{20}$$

Важно отметить, что в отличие от операций линейного осреднения получение карактеристики видимости (корреляционная функция и дисперсия) нелинейно зависят от R (С).

Сопоставим результати для реальной изменчивости МОД с характеристиками изменчивости МОД, получаемыми на основании точечных или базисных измерений показателя оснабления.

Используя предположение $(\overline{14})$ для сдучая точечных наблюдений. будем иметь

$$E(S(x)) = E(-\ln E/\mu(x)) \approx -\ln E/\overline{\mu} ,$$

$$R_{s}(x_{1}, x_{2}) = E\{[S(x_{1}) - E_{s}][S(x_{2}) - E_{s}]\} = E[S(x_{1}) S(x_{2})] - E_{s}^{2} ,$$
(21)

$$\begin{split} & \mathbb{E} \Big[\mathbb{S}(x_{1}) \mathbb{S}(x_{2}) = \ln^{2} \mathbb{E} \mathbb{E} \Big[\frac{1}{J^{\mu}(x_{1})J^{\mu}(x_{2})} \Big] = \frac{\ln^{2} \mathbb{E}}{J^{\mu}} \mathbb{E} \Big\{ \Big[J^{\mu} - j^{\mu}(x_{1}) \Big] \Big[J^{\mu} - j^{\mu}(x_{2}) \Big] \Big\} = \\ & = \frac{\ln^{2} \mathbb{E}}{J^{\mu}} \Big[J^{\mu} + \mathcal{R}_{J^{\mu}}(x_{1}, x_{2}) \Big] , \\ & \mathcal{R}_{S}(x_{1}, x_{2}) = \frac{\ln^{2} \mathbb{E}}{J^{\mu}} \mathcal{R}_{J^{\mu}}(x_{1}, x_{2}) . \end{split}$$
(22)

Очевидно, в первом приближении при сделанных допущениях математическое ожидание S при точечных измерениях определяется по формуле Кошмидера для математического ожидания показателя ослабления, а нормированная корреляционная функция для S совпадает с аналогичной функцией для и .

При базисных измерениях показатель ослабления и (ℓ) является результатом осреднения показателя ослабления \H (\H) по базе прибора (🗘) и определяется выражением

$$\mu'(x) = \frac{1}{L} \int_{x}^{L+x} \mu(\ell) d\ell . \qquad (23)$$

Его математическое ожидание $E_{\mathcal{N}}$ (x) совпадает с математическим ожиданием \mathcal{N} (x), а корреляционная функция имеет вид

$$R_{\mu}(x_1, x_2) = \frac{1}{L^2} \int_{x_1}^{L+x_1} \int_{x_2}^{L+x_2} R_{\mu}(\ell_1, \tau) d\ell d\tau.$$
 (24)

Для случая, когда корреляционная функция μ (ℓ) определяется выражением (16), получим

$$\mathcal{R}_{N'}(\tau) = \frac{1}{L^2} \left\{ \frac{\mathcal{D}_{N}}{\mathcal{L}} \left[2L + \frac{1}{\mathcal{L}} \left(e^{-\mathcal{L}(L + \tau)} + e^{-\mathcal{L}(L - \tau)} - 2e^{-\mathcal{L}\tau} \right) - 2\tau \right] \right\}, \tag{25}$$

$$R_{N'}(\tau) = \frac{1}{L^2} \left\{ \frac{\mathcal{D}_{N}}{L^2} \left(e^{-L(L+\tau)} + e^{L(L-\tau)} - 2e^{-L\tau} \right) \right\}$$
(26)

Подставив выражения для $R_{\mathcal{N}'}$ (\mathcal{T}) в (22), получим соотношение для дисперсии и корреляционной функции при базисных наблюдениях.

По полученним выражениям для указанных трех подходов к определению МОД (реальное значение и значения, получаемые по результатам точечных и базовых измерений) были произведены расчеты математических ожиданий $\mathbb{E}_{\mathbf{g}}$, коэффициентов вариации $\mathbb{E}_{\mathbf{g}}$ (отношение среднего квадратического отклонения к математическому ожиданию, взятое в процентах), нормированных коррелеционных функций $\mathbb{K}_{\mathbf{g}}(\mathbb{T})$, китервалов коррелеции $\mathbb{T}_{\mathbf{g}}$ (расстояние, на котором коррелеционная функции убывает в \mathbb{C} раз). Расчеты производились для коррелеционной функции $\mathbb{M}(\mathbb{C})$ вида (16) при различных значениях математического ожидания $\mathbb{E}_{\mathbf{g}}$, дисперсии $\mathbb{D}_{\mathbf{g}}$, интервала коррелеции $\mathbb{T}_{\mathbf{g}}(\mathbb{T}_{\mathbf{g}}=\mathbf{I}/\mathcal{L})$.

Смедует отметить, что получение выше решения тем точнее, чем меньше в (4) вариации μ (ν) по отношению к μ . Наибольшее отклонение получаемых оценок от точных решений имеет место для точечных измерений, поскольку здесь указанные относительные вариации являются большими, чем в двух других случаях (поскольку при базовых измерениях и особенно при определении реальной МОД в общем случае имеет место уменьшение вариаций за счет осреднения). Для точечных измерений несложно получить точные выражения для E_s

$$E_{s} = \int_{-\infty}^{\infty} Sg(S) dS \qquad (27)$$

$$\mathfrak{D}_{s} = \int_{S} (S - E_{s})^{2} g(S) dS, \qquad (28)$$

где $g(S) = -f(\psi(S))\psi(S); \psi(S) = -\ln E/S; \psi'(S) = \ln E/S^*;$ $f(\mathfrak{X})$ — плотность распределения случайной величини \mathcal{M} (а также для базовых измерений — для нормальной функции \mathcal{M} (ℓ)). Эти выражения могут быть использованы для оценки точности используемых приближений.

На рис. І для корреляционной функции $R_{\text{AL}}(\mathcal{T})$ вида (16) представлены зависимости относительных измерений $\mathfrak{t}_{\mathbf{S}}$ от коэффициента вариации для точечных и базисных измерений (расчеты произведены

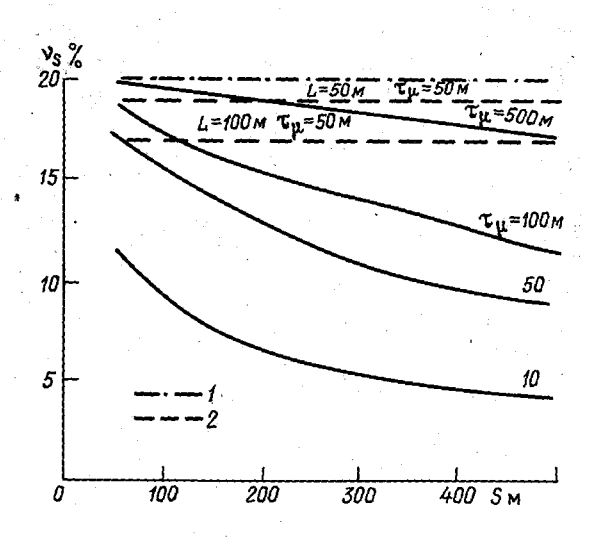


Рис.3. Зависимость коэффициента вариации МОД ($V_{\rm S}$) от значений МОД (S).

Усл. обозначения см. рис. І.

√ = 15 % практически равны нулю. Для реальной МОД погрешност
обусловленные предположением (4), будут существенно ниже.

На рис.3 приведена зависимость коэффициента вариации \sqrt{s} величины МОД (коэффициент вариации \sqrt{s} обрался равным 20%) дл реальной МОД. С ростом S происходит резкое уменьшение \sqrt{s} . Е но, что при всех \sqrt{s} коэффициент вариации \sqrt{s} существенно ме ше, чем \sqrt{s} . Причем чем меньше интервал корреляции \sqrt{s} , тей меньше \sqrt{s} . Особенно сильно это уменьшение \sqrt{s} происходит пр значениях \sqrt{s} меньших, чем \sqrt{s} . Здесь же на графике приведен значения \sqrt{s} для точечных и базисных измерений. Коэффициент риации \sqrt{s} в этих случаях от значения S не зависит. Из ана рис.3 следует, что базисные и тем более точечные измерения Ственно завышают коэффициент вариации МОД. Только при значе S, близких к величине бази \sqrt{s} реальной МОД и \sqrt{s} , измеря прибором МОД, близки. Однако следует помнить, что существу базисные средства имеют диапазон измерения S, начинающий

S = 2 L . При $V_{M} = 20$ % для точечных измерений $V_{S} = 20$ %, для базисных при $V_{M} = 50$ м $V_{S} = 19$ % для L = 50 м и $V_{S} = 16...17$ % для L = 100 м. Для реальной S при тех же параметрах функции M(L) V_{S} будет составлять от 16 % (при S = 500 м).

Как показивают расчети, для реальной МОД интервал корреляции \mathcal{T}_S от \mathcal{V}_M практически не зависит, а определяется в основном значением S. Чем больше S, тем больше \mathcal{T}_S , имеющее порядок величини S. На рис.4 приведены зависимости интервала корреляции \mathcal{T}_S от S для случаев точечных и базисных измерений, и для реальной МОД. Как видно, при L < S приборные измерений будут существенно занижать интервал корреляции. Так, при S=300 м и $\mathcal{T}_{\mathcal{A}}=50$ м для точечных измерений $\mathcal{T}_S=50$ м, для базисных измерений с базой 50 м $\mathcal{T}_S=70$ м, с базой 100 м $\mathcal{T}_S=100$ м, а истинная МОД будет иметь интервал корреляции свыше 200 м. При больших S=300 м расхождения будут еще значительнее.

На рис.5 представлени зависимости \sqrt{s} от интервала корреляции $\mathcal{T}_{\mathcal{M}}$ при \sqrt{s} = 20%. Видно, что при $\mathcal{T}_{\mathcal{M}}$, сравнимом и тем более превышающем s, погрешности определения \sqrt{s} приборными средствами уменьшаются. По мере уменьшения $\mathcal{T}_{\mathcal{M}}$ погрешность определения \sqrt{s} точечными методами увеличивается, а базисними — тоже увеличивается, но не так резко.

На рис.6 представлена зависимость \mathcal{T}_S от интервала корреляции $\mathcal{T}_{\mathcal{N}}$ при различных значениях S. Видно, что наибольшие погрешности определения интервала корреляции приборными методами наблюдаются при самых малых значениях $\mathcal{T}_{\mathcal{N}}$. В этом случае в зависимости от S погрешности определения \mathcal{T}_S могут достигать величин порядка 400 % при S=500 м. При измерениях на базах, близких к значениям S, погрешности определения \mathcal{T}_S уменьшаются, однако, как отмечено выше, диапазон существующих средств измерения S ограничен снизу значением S=2L.

На рис.7 изображени нормированние корреляционние функции для S, полученные на основании точечных и базисных наблюдений, а также для реальной МОД для $S=200\,\mathrm{m}$ и $S=300\,\mathrm{m}$. Расчети произведени для случая, когда интервал корреляции $\mathcal{T}_{\mathcal{M}}=50\,\mathrm{m}$. Данные зависимости качественно иллюстрируют те результати, о которых говорилось выше. Отчетливо прослеживается занижение корреляционной функции S при точечных и базисных измерениях показателя ослабления, особенно с ростом S.

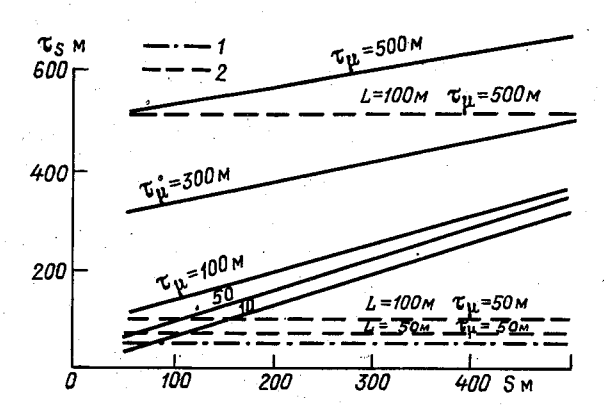


Рис.4. Зависимость интервала корреляции МОД ($\mathcal{T}_{\underline{S}}$) от значений МОД (\underline{S}).

Усл. обозначения см. рис. І.

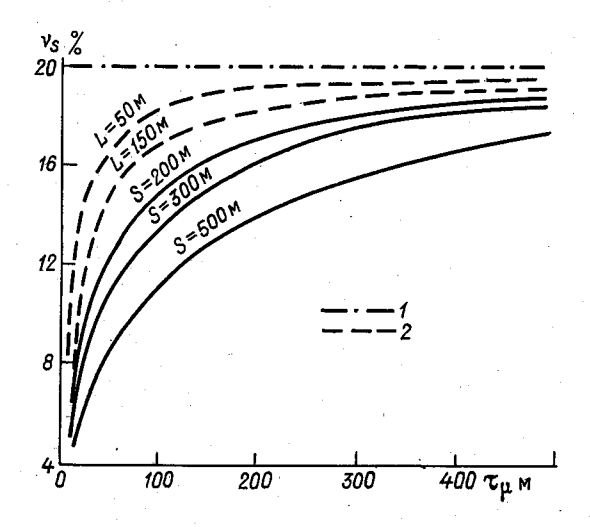


Рис.5. Зависимость коэффициента вариации МОД (\hat{V}_{g}) от интервала корреляции показателя ослабления (\mathcal{T}_{f}). Усл. обозначения см. рис.I.

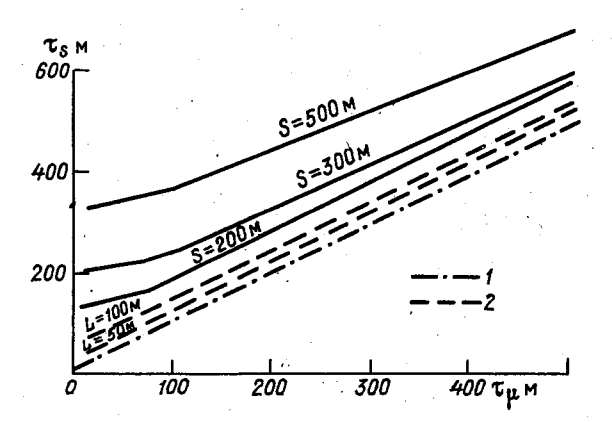


Рис.6. Зависимость интервала корреляции МОД (\mathcal{T}_{S}) от интервала корреляции показателя ослабления (\mathcal{T}_{M}). Усл. обозначения ом. рис.1.

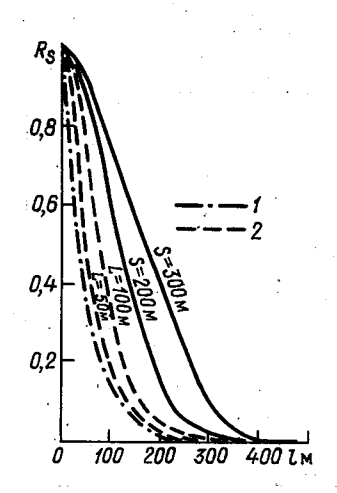


Рис.7. Нормированная пространственная корреляционная функция мод ($R_{\rm S}$).

Усл. обозначения см. рис.І.

Заключение

В данной работе получены аналитические связи характеристик пространственной структуры поля МОД и поля ослабления.

Приведенные результаты позволяют оценить методические погрешности, возникающие при определении характеристик дальности видимости по результатам приборных измерений показателя ослабления.

Получаемые по результатам измерений (точечных и базисных) характеристики изменчивости значительно завышают реальную изменчивость МОД, которая в действительности значительно меньше общепринятой.

Список литературы

- I. Атмосферная оптика. ОСТ 52.04.9-82. Л.: Гидрометеоиздат, 1984. - 23 с.
- 2. Горышин В.И., Корниенко В.И. Орепрезентативности измерений метеорологической дальности видимости фотометрами с малой измерительной базой // Труды ITO. — 1972. — Вып.279. — С.80—84.
- 3. Горишин В.И. О точности измерения дальности видимости с помощью регистраторов прозрачности атмосфери // Труди ITO. 1978. Вып. 406. С. 30—37.
- 4. Мак Картни Э. Оптика атмосферы. М.: Мир, 1979. 421 с.
- 5. Пугачев В.С. Теория случайных функций. М.: Физматгиз, 1960. - 883 с.

В.И.Лайхтман, С.М.Персин

ИССЛЕДОВАНИЯ СТРУКТУРЫ ПОЛЯ ДАЛЬНОСТИ ВИДИМОСТИ ОДИНОЧНОГО ОГНЯ В ОПТИЧЕСКИ НЕОДНОРОДНОЙ АТМОСФЕРЕ

При обеспечении взлета и посадки воздушного судна одной из важнейших метеорологических характеристик является дальность видимости на взлетно-посадочной полосе /6/, которая в большинстве случаев является дальностью видимости огней високой интенсивности (ДВ ОВИ). Имеются работы, которые посвящены вопросам определения ДВ ОВИ при посадке самолета /2-4/. Вместе с тем вопросы изменчи-вости ДВ ОВИ и пространственной структуры поля ДВ ОВИ практически не освещены, хотя, исходя именно из характеристик поля ДВ ОВИ, необходимо формулировать требования к аэродромным измерительным системам. Очевидно, сложилось представление, что структура поля ДВ ОВИ ипентична структуре поля МОЛ.

В настоящей работе ставится задача исследования пространственной структури ДВ ОВИ при условии оптической неоднородности атмосферы и оценки методических погрешностей определения ДВ ОВИ, вызванных допущениями о горизонтальной однородности показателя ослабления атмосферы.

Для оптически однородной атмосферы, когда показатель ослабления $\mathcal M$ не зависит от координаты, а является постоянной величиной, сформулировано уравнение Аллара /5/, связывающее освещенность E, создаваемую на зрачке глаза точечным источником силой света $I_{\mathbb C}$, с расстоянием $\mathfrak X$, на которое удален источник света от глаза наблюдателя:

$$\mathsf{E}(x) = \mathsf{I}_{\mathsf{o}} \, \mathrm{e}^{-\mathsf{f}^{\mathsf{a}} x} / \, x^{2} \tag{1}$$

В соответствии с определением коэффициента пропускания для оптически неоднородной атмосферы предлагается следующая зависимость освещенности на зрачке глаза от расстояния между источником света и наблюдателем:

$$E(x) = \frac{1}{x^2} e^{-\int_{-\pi}^{x} \mu(t) dt}.$$
 (2)

Тогда для определения дальности видимости одиночного огня $L_{\rm o}$ /I/ получим

$$E_{\text{nop}} = \frac{I_c}{L_o^2} e^{-\int_c^{L_o} \mu(\ell)d\ell} , \qquad (3)$$

где Е_{пор} - порог освещенности для точечного источника по отношению к определенному фону.

Найдем характеристики пространственной структуры поля L_o , определяемой соотношением (3), где ρ (ℓ) рассматривается как случайная функция координаты. Нахождение точного аналитического решения уравнения (3) относительно $L_{\rm o}$ не представляется возможным. Для приближенного решения используется предположение, что функция $\,\,_{
m M}$ ($\,^{\ell}$) может быть представлена в виде

$$\mu(\ell) = \overline{\mu} + \dot{\mu}(\ell)$$

$$\dot{\mu}^{2}(\ell) = O(\overline{\mu}^{2})$$
(4)

и при этом $\dot{\mu}^2(\ell) = O(\bar{\mu}^2)$. Решение (3) для L_0 ищется в виде

$$L_{c} = \overline{L}_{c} + \Delta L_{c} , \qquad (5)$$

где L_{\circ} — решение уравнения (3) для случая, когда μ (ℓ) = $\overline{\mu}$. Запишем выражение (3) в виде

$$\ln \left(E_{\text{nop}} / I_{o} \right) = -2 \ln L_{o} - \int_{0}^{L_{o}} \mu \left(\ell \right) d\ell . \tag{6}$$

Воспользовавшись соотношениями (4) и (5), будем иметь

$$\ln(E_{\text{nop}}/I_{o}) = -2 \ln(1 + \Delta L_{o}/\overline{L}_{o}) - 2 \ln \overline{L}_{o} - - \sqrt{\mu} L_{o} - \sqrt{\mu} \Delta L_{o}$$

μ (l)= Учитывая, что $L_{_0}$ является решением (3) для случая, когда = $\bar{\mu}$, выражение (7) примет вид

$$2\ln(1+\Delta L_o/\bar{L}_o)+\bar{\mu}\Delta L_o+\int_0^L \dot{\mu}(l)dl=0.$$
 (8)

Разложив первое и последнее слагаемые в (8) в ряд Тейлора и взяв в обоих случаях с учетом малости $\dot{\mu}$ (ℓ) только первые два члена разложения, получим

$$\int_{0}^{\overline{L}_{o}} \dot{\mu}(l) dl + \bar{\mu} \Delta L_{o} + \dot{\mu} (\overline{L}_{o}) \Delta L_{o} + 2 \frac{\Delta L_{o}}{\overline{L}_{o}} = 0.$$
 (9)

Решением уравнения (9) будет выражение

$$\Delta L_{o}(x) = -\frac{\int_{0}^{L_{o}+x} \dot{\mu}(\ell) d\ell}{\dot{\mu}(\bar{L}_{o}+x) + \bar{\mu} + 2/\bar{L}_{o}} , \qquad (10)$$

а в соответствии с (5) 👢 будет равно

$$L_{c}(x) = \overline{L}_{o} + \Delta L_{o}(x) = \overline{L}_{o} - \frac{\int_{c} \dot{\mu}(\ell) d\ell}{\dot{\mu}(\overline{L}_{c} + x) + \sqrt{\mu} + 2/\overline{L}_{o}} . \tag{II}$$

Найдем математическое ожидание и корреляционную функцию случайной величини L_0 (x), определяемой соотношением (II). Проделав преобразования, которые были проделаны в (7) при нахождении характеристик структуры метеорологической оптической дальности (МОД), получим:

$$E(L_o(x)) = \frac{1}{(\bar{\mu} + 2/\bar{L}_o)^2} \int_{0}^{L_o + x} R_{\mu}(\bar{L}_c + x_4 \ell) d\ell + \bar{L}_o , \qquad (12)$$

$$\begin{split} &\mathcal{R}_{L_{o}}(x_{1},x_{2}) = \mathbb{E}\left\{\left[L_{o}(x_{1}) - \mathbb{E}\left(L_{o}(x_{1})\right)\right]\left[L_{o}(x_{2}) - \mathbb{E}\left(L_{o}(x_{2})\right)\right]\right\} = \\ &= \mathbb{E}\left\{\left[\Delta L_{o}(x_{1}) - \mathbb{E}\left(\Delta L_{o}(x_{1})\right)\right]\left[\Delta L_{o}(x_{2}) - \mathbb{E}\left(\Delta L_{o}(x_{2})\right)\right]\right\} = \\ &= \frac{1}{(\bar{\mu} + \frac{2\lambda}{L_{o}})^{\mu}} \int_{x_{1}}^{\bar{L}_{o}+x_{2}} \mathbb{E}\left[R_{\mu}(\bar{L}_{o} + x_{1}, \bar{L}_{o} + x_{2})R_{\mu}(\ell_{1}\tau) + R_{\mu}(\bar{L}_{o} + x_{1}, \ell)R_{\mu}(\bar{L}_{o} + x_{2}, \tau) + \\ &+ R_{\mu}(\bar{L}_{o} + x_{1}, \tau)R_{\mu}(\bar{L}_{o} + x_{2}, \ell)\right]d\ell d\tau + \frac{1}{(\bar{\mu} + \frac{2\lambda}{L_{o}})^{2}} \int_{x_{1}}^{\bar{L}_{o}+x_{2}} R_{\mu}(\ell_{1}\tau) d\ell d\tau - \\ &- \frac{1}{(\bar{\mu} + \frac{2\lambda}{L_{o}})^{\mu}} \int_{x_{1}}^{\bar{L}_{o}+x_{1}} \mathbb{E}_{\mu}(\bar{L}_{o} + x_{1}, \ell)d\ell \int_{x_{1}}^{\bar{L}_{o}+x_{2}} R_{\mu}(\bar{L}_{o} + x_{1}, \ell)d\ell \int_{x_{2}}^{\bar{L}_{o}+x_{2}} R_{\mu}(\bar{L}_{o} + x_{2}, \ell) d\ell \end{split} \tag{13}$$

Таким образом, получена зависимость корреляционной функции \Box_c от структуры показателя ослабления для общего вида корреляционной функции ρ (b).

Для случая, когда ρ (ℓ) является стационарной функцией, выражение для корреляционной функции L_c заметно упрощается. После преобразования двумерных интегралов к одномерным $R_{L_c}(x_4,x_2)$ при стационарной функции ρ (ℓ) примет вид $L_c \wedge \ell$

$$\begin{split} R_{\mathsf{L}_{\mathsf{C}}}(\Delta\ell) &= \frac{1}{(\frac{2}{\mathsf{L}_{\mathsf{G}}} + \bar{p}_{\mathsf{I}})^{\mathsf{T}}} \left\{ \begin{bmatrix} \bar{\mathsf{L}}_{\mathsf{C}} + \Delta\ell - \mathcal{T} \\ \bar{\mathsf{L}}_{\mathsf{C}} + \Delta\ell \end{bmatrix} R_{\mathsf{M}}(\mathcal{T}) d\mathcal{T} + \int_{\mathsf{C}} (\bar{\mathsf{L}}_{\mathsf{C}} - \Delta\ell - \mathcal{T}) R_{\mathsf{J}_{\mathsf{C}}}(\mathcal{T}) d\mathcal{T} \right. \\ &+ 2 \int_{\mathsf{C}} (\mathcal{T} - \Delta\ell) R_{\mathsf{J}_{\mathsf{C}}}(\mathcal{T}) d\mathcal{T} \Big[R_{\mathsf{J}_{\mathsf{C}}}(\Delta\ell) + (\bar{\mathsf{J}}_{\mathsf{C}} + \frac{2}{\bar{\mathsf{L}}_{\mathsf{C}}})^{2} \Big] + \int_{\mathsf{C}} R_{\mathsf{J}_{\mathsf{C}}}(\bar{\mathsf{L}}_{\mathsf{C}} - \Delta\ell - \mathcal{T}) d\mathcal{T} \Big[R_{\mathsf{J}_{\mathsf{C}}}(\bar{\mathsf{L}}_{\mathsf{C}} + \Delta\ell - \mathcal{T}) d\mathcal{T} \Big] R_{\mathsf{J}_{\mathsf{C}}}(\bar{\mathsf{L}}_{\mathsf{C}} + \Delta\ell - \mathcal{T}) d\mathcal{T} \Big\} \,, \end{split}$$

$$\text{The } \Delta\ell = \mathfrak{X}_{\mathsf{J}} - \mathfrak{X}_{\mathsf{J}} \quad \text{Очевидно, здесь } R_{\mathsf{L}_{\mathsf{C}}} \quad (\mathfrak{X}_{\mathsf{J}}, \mathfrak{X}_{\mathsf{J}}) = R_{\mathsf{L}_{\mathsf{C}}}(\Delta\ell) \,, \end{split}$$

$$\text{T.e. } \text{ функция } L_{\mathsf{C}} \quad (\mathfrak{X}) \quad \text{является стационарной. В соответствии с}$$

$$\text{(I4) } \text{ выражение } \text{ для } \text{ дисперсии } L_{\mathsf{C}} \quad \text{ будет иметь вид}$$

$$\mathcal{D}_{L_{c}} = \frac{1}{\left(\bar{\mu}_{c} + \frac{2}{\bar{L}_{c}}\right)^{4}} \left\{ 2 \int_{c}^{L_{c}} (\bar{L}_{c} - \tau) R_{\mu}(\tau) d\tau \left[\mathcal{D}_{\mu} + \left(\bar{\mu}_{c} + \frac{2}{\bar{L}_{c}}\right)^{2} \right] + \left[\int_{c}^{L_{c}} R_{\mu}(\tau) d\tau \right]^{2} \right\} . \tag{15}$$

В частном случае, когда корреляционная функция $\mathcal{M}(\mathcal{L})$ определяется соотношением

$$R_{\mu}(\tau) = \mathcal{D}_{\mu} e^{-\omega|\tau|}, \qquad (16)$$

для математического ожидания $L_{\mathfrak{o}}$ будем иметь

$$E\left(\left|_{L_{c}}\right| = \overline{L}_{c} + \frac{1}{\left(\overline{\mu} + \overline{L}_{c}\right)^{2}} \frac{D_{\mu}}{\omega} \left(1 - e^{-\lambda \overline{L}_{c}}\right)$$
 (17)

Корреляционная функция и дисперсия $L_{
m c}$ в этом случае имеют вид:

$$R_{L_{c}}(\ell) = \frac{1}{(\bar{M} + \frac{2}{\bar{L}_{c}})^{4}} \left\{ \frac{D_{u}}{\bar{\mathcal{L}}} \left[2\bar{L}_{c} + \frac{1}{\bar{\mathcal{L}}} \left(e^{-d(\bar{L}_{c} + \ell)} + e^{-d(\bar{L}_{c} - \ell)} - 2\ell \right) - 2\ell \right] \times \frac{1}{2} + \frac{1}{2} +$$

$$\times \left[\mathcal{D}_{jk} e^{-\lambda l} + \left(\bar{j}_{k} + \frac{2}{L_{0}} \right)^{2} \right] + \frac{\mathcal{D}_{jk}^{2}}{\mathcal{Z}} \left[2e^{-\lambda l} - 2e^{-\lambda (\bar{l}_{0} + \bar{l})} - e^{-\lambda \bar{l}_{0}} + e^{-\lambda l\bar{l}_{0}} - e^{-\lambda l\bar{l}_{0}} - e^{-\lambda l\bar{l}_{0}} - e^{-\lambda l\bar{l}_{0}} \right] ,$$
 (I8)

$$R_{L_{c}}(\ell) = \frac{1}{\left(\bar{\mu} + \frac{2}{\bar{L}_{c}}\right)^{4}} \left\{ \frac{D_{u}}{d^{2}} \left[e^{-\lambda(\bar{L}_{c} + \ell)} + e^{\lambda(\bar{L}_{c} - \ell)} \cdot 2e^{-\lambda\ell} \right] \left[D_{\mu} e^{-\lambda\ell} + \left(\bar{\mu} + \frac{2}{\bar{L}_{c}}\right)^{2} \right] + \frac{D_{\mu}}{\sqrt{2}} \left[e^{\lambda(\bar{L}_{c} - 2\ell)} - e^{-2\lambda\ell} - e^{\lambda(\bar{L}_{c} - 3\ell)} + e^{-3\lambda\ell} \right] \right\}.$$
(19)

Важно отметить, что в отличие от операций линейного осреднения полученные характеристики 👢 (корреляционная функция и дисперсия), как и характеристики МОД /7/, нединейно зависят от R (\mathcal{T}).

Сопоставим результати для реальной изменчивости L. с характеристиками изменчивости 👢 , получаемыми на основании точечных или базисных измерений показателя ослабления в предположении оптической однородности атмосферы. В этом случае закон Аллара принимает вил

$$E_{\text{mop}} = \frac{I_0}{L_0^2} e^{-\mu L_0} , \qquad (20)$$

где μ — результат измерения. Найдем зависимость дисперсии случайной величины L_c от пара метров распределения случайной величины μ . Для этого продифференцируем по м обе части выражения (20):

$$\frac{d}{d\mu} \left(\frac{E_{\text{nop}}}{I_{\text{o}}} \right) = \frac{d}{d\mu} \left(\frac{e^{-\mu L_{\text{o}}}}{L_{\text{c}}^{2}} \right) ,$$

$$0 = L_{\text{c}}^{2} + \mu L_{\text{o}} \frac{dL_{\text{o}}}{d\mu} + 2 \frac{dL_{\text{o}}}{d\mu} ,$$

$$\frac{dL_{\text{o}}}{L_{\text{o}}} = -\frac{L_{\text{o}} M}{M L_{\text{o}}^{2} + 2} \frac{dM}{M}$$

и, переходя от дифференциалов к приращениям величин, получим

$$\frac{\Delta L_o}{L_o} \approx -\frac{L_o \mu}{\mu L_o + 2} \frac{\Delta \mu}{M} . \tag{21}$$

Взяв среднее квадратическое отклонение обеих частей (2I), получим выражение для коэффициента вариации L. (отношение среднего квапратического отклонения к математическому ожиданию)

$$\hat{\mathbf{y}}_{L_{c}} = \frac{L_{c}}{M L_{c}^{c} + \mathcal{L}} \hat{\mathbf{y}}_{M} ,$$
(22)

где $\sqrt{\frac{1}{L_c}}$, $\sqrt{\frac{1}{M}}$ — коэффициенты вариации $\frac{1}{L_c}$ и $\frac{1}{M}$ соответственно. Выражение для корреляционной функции $\frac{1}{L_c}$, где $\frac{1}{L_c}$ определяется выражением (20), в общем случае может быть найдено при использовании предположений (4) и (5). В этом случае получается выражение для $\frac{1}{L_c}$, аналогичное (9):

$$2\Delta L_{c}/\bar{L}_{o}-\dot{\mu}\bar{L}_{o}-\dot{\mu}\Delta L_{c}-\bar{\mu}\Delta L_{c}=0. \tag{23}$$

Отсюда

$$\Delta L_{c} = -\frac{\dot{M} L_{c}}{2/L_{c} + \bar{M} + \dot{M}}, \qquad (24)$$

Математическое ожидание и корреляционная функция $L_{\rm c}$ будут определяться соотношениями

$$\begin{split}
& \left[\left(\left(\left(\left(\left(x \right) \right) \right) \right) = \overline{L}_{c} \left[\left[1 - \frac{\hat{\mu} \left(\overline{L}_{c} + x \right)}{2 / \overline{L}_{c} + \overline{\mu} + \dot{\mu} \left(x + \overline{L}_{c} \right)} \cdot \frac{2 / \overline{L}_{c} + \overline{\mu} - \dot{\mu} \left(\overline{L}_{c} + x \right)}{2 / \overline{L}_{c} + \dot{\mu} - \dot{\mu} \left(\overline{L}_{c} + x \right)} \right] = \\
& = \overline{L}_{c} \left[1 + \frac{\hat{\mu}^{2} \left(\overline{L}_{c} + x \right)}{\left(2 / \overline{L}_{c} + \overline{\mu} \right)^{2}} \right] = L_{c} \left[1 + \frac{\mathcal{D}_{\mu} \left(\overline{L}_{c} + x \right)}{\left(2 / \overline{L}_{c} + \overline{\mu} \right)^{2}} \right] \approx \overline{L}_{c} , \\
& = \overline{L}_{c} \left[1 + \frac{\hat{\mu}^{2} \left(\overline{L}_{c} + x \right)}{\left(2 / \overline{L}_{c} + \overline{\mu} \right)^{2}} \right] = L_{c} \left[1 + \frac{\mathcal{D}_{\mu} \left(\overline{L}_{c} + x \right)}{\left(2 / \overline{L}_{c} + \overline{\mu} \right)^{2}} \right] \approx \overline{L}_{c} , \\
& = \overline{L}_{c} \left[1 + \frac{\hat{\mu}^{2} \left(\overline{L}_{c} + x \right)}{\left(2 / \overline{L}_{c} + \overline{\mu} \right)^{2}} \right] = L_{c} \left[1 + \frac{\mathcal{D}_{\mu} \left(\overline{L}_{c} + x \right)}{\left(2 / \overline{L}_{c} + \overline{\mu} \right)^{2}} \right] \approx \overline{L}_{c} , \\
& = \overline{L}_{c} \left[1 + \frac{\hat{\mu}^{2} \left(\overline{L}_{c} + x \right)}{\left(2 / \overline{L}_{c} + \overline{\mu} \right)^{2}} \right] = L_{c} \left[1 + \frac{\mathcal{D}_{\mu} \left(\overline{L}_{c} + x \right)}{\left(2 / \overline{L}_{c} + \overline{\mu} \right)^{2}} \right] \approx \overline{L}_{c} , \\
& = \overline{L}_{c} \left[1 + \frac{\hat{\mu}^{2} \left(\overline{L}_{c} + x \right)}{\left(2 / \overline{L}_{c} + \overline{\mu} \right)^{2}} \right] = L_{c} \left[1 + \frac{\mathcal{D}_{\mu} \left(\overline{L}_{c} + x \right)}{\left(2 / \overline{L}_{c} + \overline{\mu} \right)^{2}} \right] \approx \overline{L}_{c} , \\
& = \overline{L}_{c} \left[1 + \frac{\hat{\mu}^{2} \left(\overline{L}_{c} + x \right)}{\left(2 / \overline{L}_{c} + \overline{\mu} \right)^{2}} \right] = L_{c} \left[1 + \frac{\mathcal{D}_{\mu} \left(\overline{L}_{c} + x \right)}{\left(2 / \overline{L}_{c} + \overline{\mu} \right)^{2}} \right] \approx \overline{L}_{c} , \\
& = \overline{L}_{c} \left[1 + \frac{\hat{\mu}^{2} \left(\overline{L}_{c} + x \right)}{\left(2 / \overline{L}_{c} + \overline{\mu} \right)^{2}} \right] = L_{c} \left[1 + \frac{\mathcal{D}_{\mu} \left(\overline{L}_{c} + x \right)}{\left(2 / \overline{L}_{c} + \overline{\mu} \right)^{2}} \right] \approx \overline{L}_{c} , \\
& = \overline{L}_{c} \left[1 + \frac{\hat{\mu}^{2} \left(\overline{L}_{c} + x \right)}{\left(2 / \overline{L}_{c} + \overline{\mu} \right)^{2}} \right] = L_{c} \left[1 + \frac{\mathcal{D}_{\mu} \left(\overline{L}_{c} + x \right)}{\left(2 / \overline{L}_{c} + \overline{\mu} \right)^{2}} \right] \approx \overline{L}_{c} , \\
& = \overline{L}_{c} \left[1 + \frac{\mathcal{D}_{\mu} \left(\overline{L}_{c} + x \right)}{\left(2 / \overline{L}_{c} + \overline{\mu} \right)^{2}} \right] = L_{c} \left[1 + \frac{\mathcal{D}_{\mu} \left(\overline{L}_{c} + x \right)}{\left(2 / \overline{L}_{c} + \overline{\mu} \right)^{2}} \right] = L_{c} \left[1 + \frac{\mathcal{D}_{\mu} \left(\overline{L}_{c} + x \right)}{\left(2 / \overline{L}_{c} + \overline{\mu} \right)^{2}} \right] = L_{c} \left[1 + \frac{\mathcal{D}_{\mu} \left(\overline{L}_{c} + x \right)}{\left(2 / \overline{L}_{c} + \overline{\mu} \right)^{2}} \right] = L_{c} \left[1 + \frac{\mathcal{D}_{\mu} \left(\overline{L}_{c} + x$$

$$=\frac{\overline{L}_{o}^{2}}{(2/\overline{L}_{o}+\overline{f^{1}})^{4}}\left[\left(2/\overline{L}_{o}+\overline{f^{1}}\right)^{2}R_{f^{1}}(\overline{L}_{o}+x_{1},\overline{L}_{o}+x_{2})+2R_{f^{1}}^{2}(\overline{L}_{c}+x_{1},\overline{L}_{o}+x_{2})\right]. \tag{27}$$

Очевидно, в первом приближении при сделанных допущениях математическое ожидание \bigsqcup_{n} , полученного по результатам измерений

показателя ослабления, определяется по формуле Аллара для оптически однородной атмосферы при показателе ослабления, равном своему математическому ожиданию.

При базисных измерениях показатель ослабления $\mathcal{N}(\ell)$ является результатом осреднения показателя ослабления $\mathcal{N}(\ell)$ по базе прибора (ℓ) и определяется виражением

$$\mu'(\ell) = \frac{1}{L} \int_{\ell}^{L+\ell} \mu(x) \, dx \qquad (28)$$

Его математическое ожидание E_{μ} ($\mathfrak X$) совпадает с математическим ожиданием $\mu(\mathfrak X)$, а корреляционная функция имеет вид

$$R_{ji}(x_1, x_2) = \frac{1}{L^2} \int_{x_1}^{L+x_1} \int_{x_2}^{L+x_2} R_{ji}(\ell, \tau) d\ell d\tau . \tag{29}$$

Используя виражения для корреляционной функции $\rho'(\mathfrak{X})$ для случая, когда $\mathcal{R}_{\rho}(\mathfrak{X})$ определяется виражением (I6), приведенные в /7/, и формулу (27), будем иметь выражение для корреляционной функции L_{ϵ} для случая базисных наблюдений.

По полученним выражениям для указанных трех полходов к определению L_0 (реальное значение и значения, получаемые по результатам точечных и базовых наблюдений) были произведены расчеты математических ожиданий коэффициентов вариации, нормированных корреляционных функций. Произведена оценка интервалов корреляции (расстояние, на котором корреляционная функции убывает в $\mathcal E$ раз). Расчеты проделаны для корреляционной функции $\mathcal M$ ($\mathcal L$) вида (16) при различных значениях математического ожидания $\mathcal L_{\mathcal M}$, дисперсии $\mathcal L_{\mathcal M}$, интервала корреляции $\mathcal L_{\mathcal M}$ ($\mathcal L$).

Следует отметить, что получение выше решения тем точнее, чем меньше в (4) вариации \dot{M} (\dot{L}) по отношению к \dot{M} . Наибольшее отклонение получаемых оценок от точных решений имеет место для точечных измерений, поскольку здесь указанные относительные вариации являются большими, чем в двух других случаях (при базовых измерениях и особенно при определении реальной \dot{L}_{\odot} в общем случае имеет место уменьшение вариации за счет осреднения). Поскольку для точечных и базисных измерений получены точные выражения для коэффициента вариации (22), эти оценки были использовани для оценки точности используемых приближений (4). Из сравнения результатов расчетов коэффициента вариации \dot{L}_{\odot} для случая точечных измерений по формулам (22) и (27) следует, что при коэффициенте

вариации M (ℓ), равном 0,25, относительные погрешности определения коэффициента вариации L_c по формуле (27) не превышают 2-3 %.

Рассмотрим зависимость характеристик изменчивости дальности видимости огня от условий освещенности и силы света огня. На рис. І представлена зависимость коэффициента вариации V_{L_0} от $Q_{L_0} = Q_{L_0} = Q_{L_$

На рис. 2 представлена зависимость интервала корреляции L_0 от условий освещенности и силы света огня. Для случая точечных измерений μ (ℓ) интервал корреляции T_{L_0} не зависит от условий обвещенности и силы света огня, а определяется только интервалом корреляции μ (ℓ). При базисных измерениях на ℓ влияет еще и длина измерительной базы. Для реальной ℓ зависимость ℓ от ℓ (ℓ) существенна, обусловлена зависимостью интервала корреляции от величины ℓ . С ростом ℓ (ℓ) происходит уменьшение ℓ , а следовательно, и уменьшение ее интервала корреляции, что, в свою очередь, приводит к уменьшению погрешности определения интервала корреляции ℓ ин интервала корреляции ℓ по результатам приборных измерений ℓ (ℓ).

На рис.3 приводится зависимость коэффициента вариации L_0 от величини L_0 при $V_M=0.2$. Как и для МОД /7/, коэффициент вариации L_0 существенно меньще V_M . Причем эта разница возрастает с уменьшением V_M . Для точечных и базисных измерений M(L) с ростом L_0 уменьшение V_{L_0} составляет доли процента, а для реальной L_0 происходит резкое уменьшение коэффициента вариации. Так, при изменении L_0 от 200 до 1000 м при $V_M=50$ м V_{L_0} меняется от II до 7%. Как видно из графика, базисные и тем более точечные измерения V_{L_0} существенно завышают коэффициент вариации V_{L_0} , особенно при L_0 , больших измерительной бази прибора. Так, при $V_M=50$ м и $V_M=0.2$ коэффициент вариации L_0 для точечных измерений равен примерно I7%, для базисных о базой

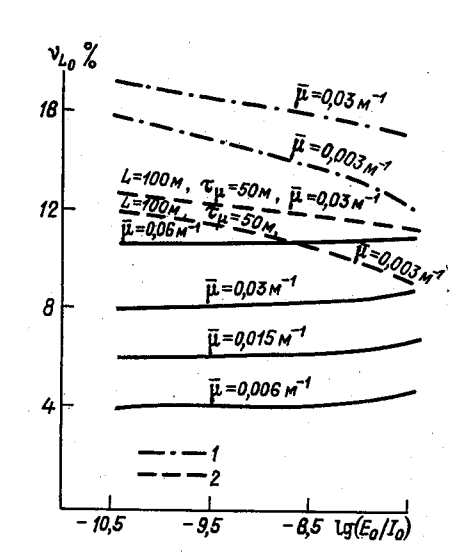


Рис. I. Зависимость козффициента вариации V_{L_0} от $Q = \frac{E_0}{I_0}$ при $V_{\mu} = 20$ %.

I — точечные измерения.

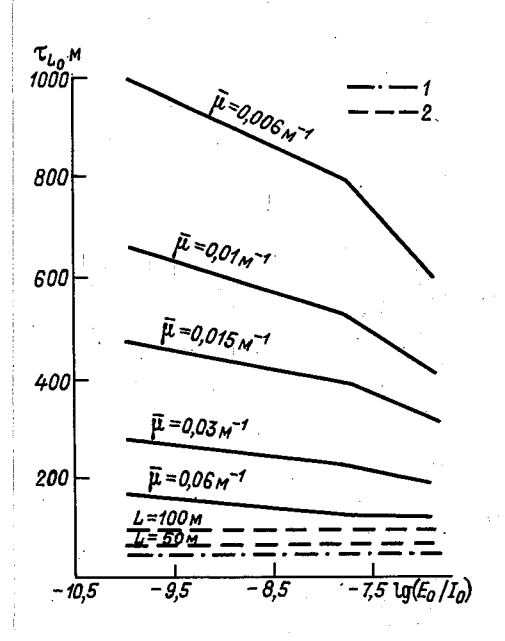


Рис.2. Зависимость интервала корреляции τ_{L_0} от $\frac{E_0}{I_0}$ при $\tau_{\mu} = 50$ м. Усл. обозначения ом. рис. I.

IOO м — I3 %, а для реальной $\perp_{\rm c}$, как уже было отмечено, меняется от II по 7 %.

На рис.4 представлена зависимость интервала корреляции L_c от величины L_c . Видно, что точечные и базисные наблюдения существенно занижают интервал корреляции, особенно при малых значениях $T_{\rm M}$, меньших L_c . Так, при $T_{\rm M}=50$ м погрешность в определении $T_{\rm L_0}$ составляет от 100 % при $L_c=200$ м до 500 % при $L_c=500$ м, а с ростом L_c превышает и эти значения.

На рис.5 представлени зависимости коэффициента вариации L_c от коэффициента вариации M (ℓ). Относительная погрешность определения V_{L_c} по результатам точечных и базисных наблюдений остается постоянной. Коэффициент вариации L_c , получаемый по результатам измерений M (ℓ), всегда превышает реальный. Естественно, что при длине измерительной бази, близкой к L_c , эти расхождения уменьшаются.

На рис.6 представлена зависимость коэффициента вариации V_{L_0} от \mathcal{T}_{M} для $V_{M}=0.2$. Видно, что при больших \mathcal{T}_{M} ($\mathcal{T}_{M}\geqslant L_{O}$) погрешность определения V_{L_0} по результатам приоорных измерений уменьшается. По мере уменьшения \mathcal{T}_{M} погрешность определения V_{L_0} точечными методами увеличивается, а базисными увеличивается, но не так резко.

На рис.7 представлена зависимость \mathcal{T}_{L_c} от \mathcal{T}_{μ} при различных значениях L_c . Вдесь максимальные погрешности определения \mathcal{T}_{L_c} также приходятся на минимальные значения \mathcal{T}_{μ} , достигая при L_c = 400 м значений порядка 300 %.

В целом, говоря о погрешностях определения характеристик структуры дальности видимости одиночного огня существующими инструментальными методами, можно сказать, что, как и для случая МОД /7/, оценки характеристик изменчивости L_0 по результатам измерений M(L) существенно завышают реальные. Более того, если при измерении МОД существующие приборы имеют диапазон, начинающийся со значений МОД, равных двум длинам баз, то для измерений L_0 этот диапазон начинается с больших значений (определяется условиями освещенности и силы света огня), а следовательно, и минимальные погрешности (при значениях L_0 , равных нижней границе диапазона измерения) будут значительно выше, чем при измерении МОД.

На рис.8 изображени нормированные корреляционные функции для цля всех типов измерений и для реальной дальности видимости

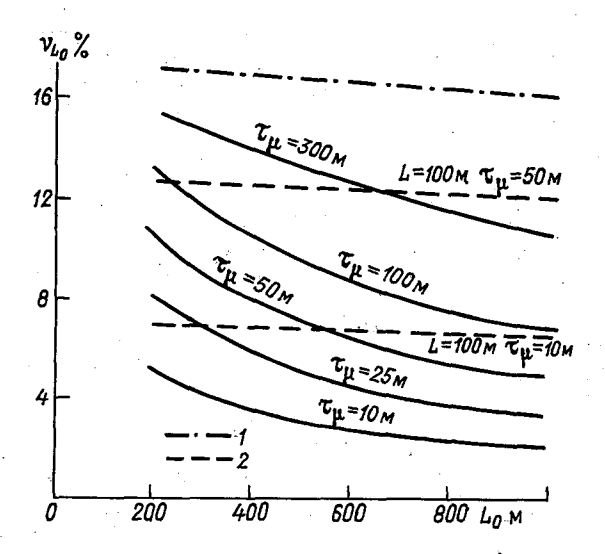


Рис.3. Зависимость коэффициента вариации λ_{L_c} от значений L_o . Усл. обозначения см. рис.I.

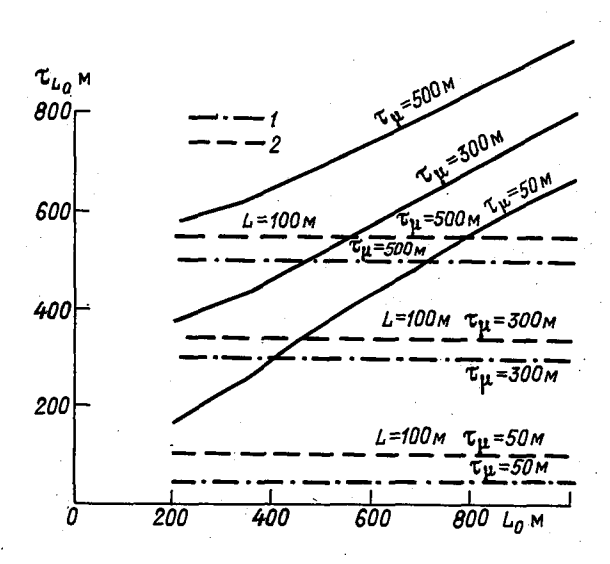


Рис.4. Зависимость интервала корреляции \mathcal{T}_{L_c} от значений L_q . Усл. обозначения см. рис.I.

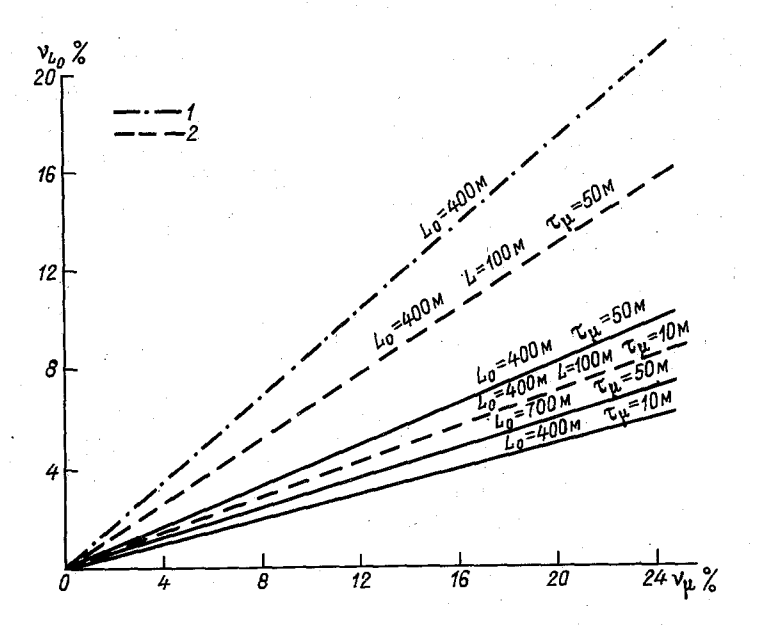


Рис.5. Зависимость коэффициента вариации $\sqrt{\iota}_{\iota_0}$ от $\sqrt{\iota_{\iota_0}}$ от $\sqrt{\iota_{\iota_0}}$

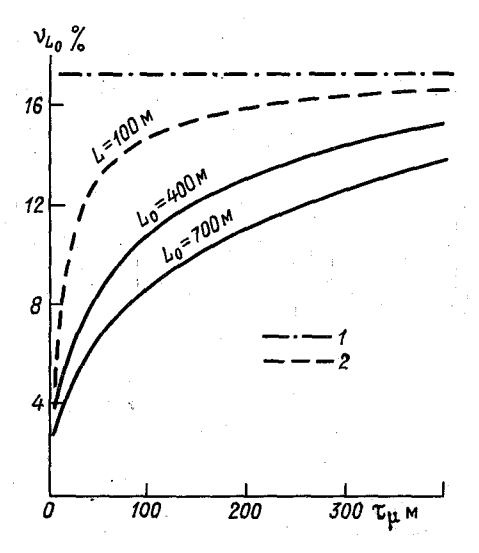
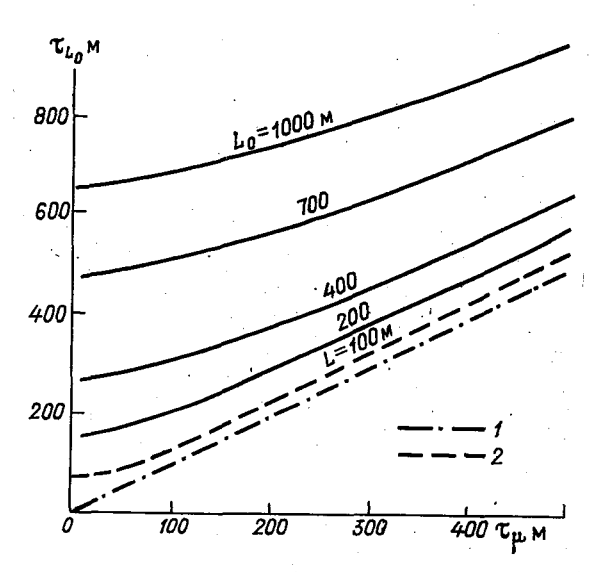


Рис.6. Зависимость кораффициента вариации V_{L_0} от \mathcal{T}_{μ} .
Усл. обозначения см.



Рио.7. Зависимость интервала корреляции \mathcal{T}_{μ_c} от $\mathcal{T}_{\mathcal{M}}$. Усл. обозначения см. рис.I.

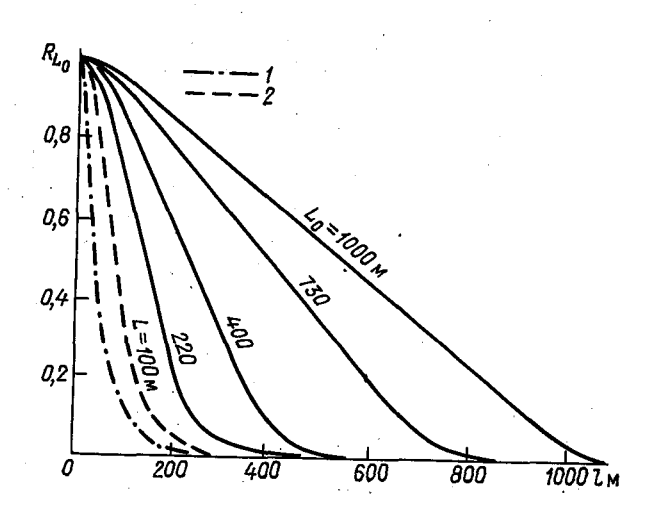


Рис.8. Нормированные пространственные корреляционные функции $R_{\rm h_c}$. Усл. обозначения см.: рис.I.

огня при $L_0=220$, 400, 700 и I000 м. Расчеты произведены для случая, когда $T_{\rm A}=50$ м. Отчетливо прослеживается занижение корреляционной функции L_0 при точечных и базисных измерениях, особенно при росте среднего значения L_0 .

Заключение

В работе получени аналитические связи характеристик пространственной структури поля дальности видимости одиночного огня и поля показателя ослабления.

Получены результати, позволяющие оценить методические погрешности, возникающие при определении характеристик видимости отня по результатам приборных измерений показателя ослабления атмосферы.

Показано, что получаемые по результатам измерений (точечных и базисных) характеристики изменчивости существенно завышают реальную изменчивость дальности видимости огня, которая в действительности значительно меньше, чем изменчивость МОД.

Список литературы

- I. Атмосферная оптика. ОСТ 52.04.9-82. Л.: Гидрометеоиздат, 1984. - 23 с.
- 2. А ф а н а с ь е в А.А. Некоторые вопросы методики обнаружения ориентиров ВШ днем // Труды ITO. 1987. Вып.512. С.121—128.
- 3. Гаврилов В.А. Видимость в атмосфере. Л.: Гидрометеоиздат, 1966. - 323 с.
- 4. Горышин В.И., Ковалев В.А. Методика инструментального определения дальности видимости огней взлетно-посадочной полосы (ВШ) // Труды ГТО. 1978. Вып. 406. С. 38—45.
- 5. Мак Картни Э. Оптика атмосферы. М.: Мир, 1979. - 421 с.
- 6. Наставление по метеорологическому обеспечению гражданской авиации СССР (НМО ГА-82). Л.: Гидрометеоиздат, 1982. 183 с.
- 7. Персин С.М., Лайхтман В.И. Характеристики изменчивости поля метеорологической оптической дальности (МОД) в оптически неоднородной атмосфере // См. наст. сб.

Л.С.Мордовина

- о возможности подучения информации о метели
- С ПОМОЩЬЮ ИЗМЕРЕНИЯ ЭЛЕКТРИЧЕСКОГО ТОКА

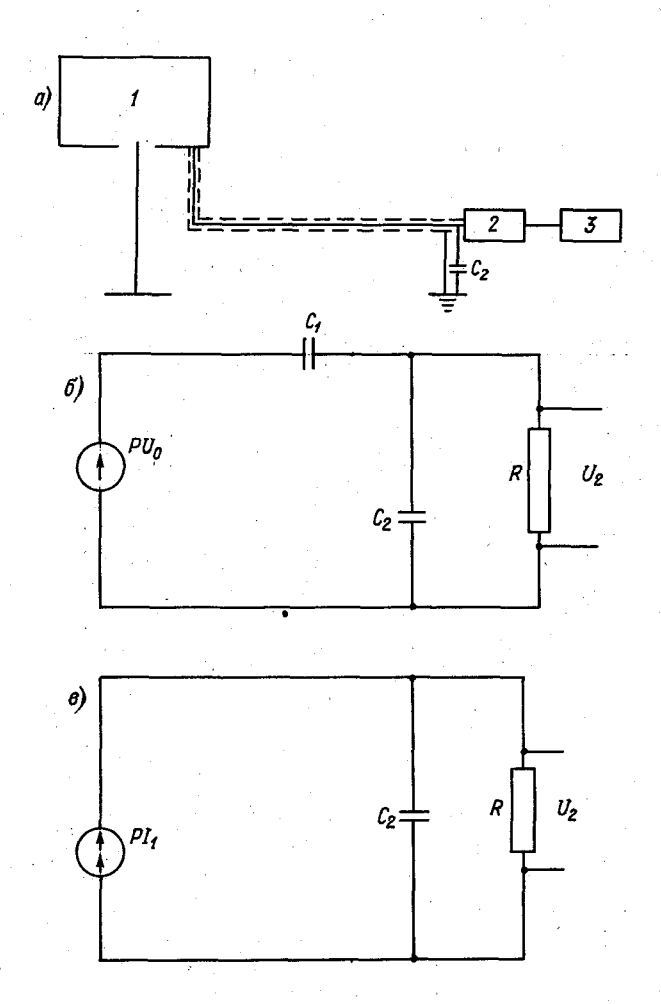
В связи с успехами в создании автоматических метеорологических станций особенно заметно отставание в разработке принципов построения первичных измерительных преобразователей, способных давать информацию о начале, окончании и интенсивности атмосферных явлений. Связано это с тем, что атмосферные явления не идентифицируются о помощью измерения какой-либо одной физической величины. Для создания сигнализаторов явлений, а также получения информации об их интенсивности требуется измерение комплекса характеристик, в том числе и сопутствующих атмосферным явлениям физических процессов, т.е. использование косвенных методов. В частности, для идентификации метелей может представлять интерес изучение электрических явлений, наблюдаемых во время метели.

Известно, что во время метелей отмечается коронирование мачт, антени, заостренных предметов /2/. Специально произведенные измерения напряженности электрического поля показали значительное увеличение напряженности электрического поля во время метелей /5/. Однако эти сведения носят случайный, отрывочный характер, а само явление рассматривается только как источник помех при радиосвязи.

С целью систематического изучения электрических явлений во время метели в течение ряда лет нами проводились измерения электрического тока на электрод, установленный над поверхностью земли. Измерения производились в четнрех пунктах, расположених в различных климатических зонах: на побережье Карского моря, на двух метеостанциях Мурманской обл., а также на горной метеостанции Узбекской ССР. В Мурманской обл. и Узбекистане одновременно с измерениями электрического тока производились измерения твердого раскода с помощью метелемеров ВО-2 /I/.

Электрод устанавливался на изолированной подставке на высоте 0,5 м над поверхностью земли и соединялся с измерителем тока, который имел выход на самописец (рис. I a).

Применение самописца H-27 с большой скоростью протяжки (более I мм/с) позволило проследить развитие метели. На рис. I представлени последовательные стадми развития метели, записанной на ленте самописца H-27. Чувствительность измерителя во всех трех представленных случаях различная: на рис. 2а — чувствительность



Рио. І. Электрическая схема при измерении тока во время метелей.

а) общая схема измерительного устройства: I — электрод, 2 — усилитель, 3 — самописец; б) эквивалентная схема генератора ЭДС; в) эквивалентная схема генератора тока.

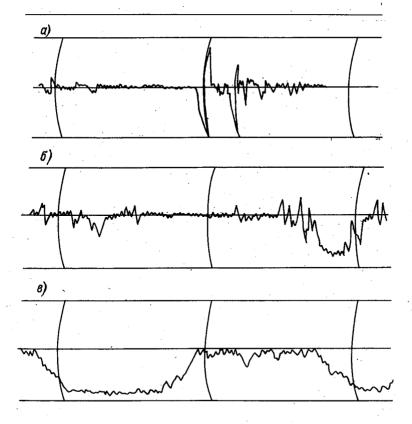


Рис. 2. Пример записи, сделанной во время поземка. а) начало поземка, б) развитие поземка, в) сильный поземок.

10⁻¹⁰ А/мм; на рис.2 б - чувствительность 2·10⁻⁹ А/мм; на рис.2 в - чувствительность 2·10⁻⁸ А/мм. Нуль прибора совмещен с серединой ленти самописца, размер отклонения от нулевой линии пропорционален значению тока. Дугами прочерчены временные метки, в представленных случаях отрезок между двумя метками соответствует интервалу времени в одну минуту.

Приведенные записи соответствуют следующим условиям: рис.2 а - начало дефляции снега, скорость ветра 5 м/с, порыви до 8 м/с;

рис. 2 б - слабая низовая метель, скорость ветра 8 м/с, порыви до 15 м/с;

рис.2 в — умеренная метель, скорость ветра I2 м/с, порывы до I8 м/с.

Визуальные наблюдения позволили установить, что пульсациям тока соответствует прохождение вблизи электрода отдельных порций поднятого с земли снега. Одновременная запись на ленте самописца электрического тока и скорости ветра на высоте установки электрода обнаруживает между ними хорошую корреляцию. Запись электрического тока на электрод во время метели дает возможность получить временные характеристики процессов горизонтального переноса снега, которые, как показывают наблюдения, оказываются существенно различными в горах и на равнинной местности севера европейской части СССР.

В условиях горной метеостанции продолжительность пульсаций тока в начале дефляции составляет несколько секунд, при развитой метели продолжительность периодов усиления тока одна-три минуты.

Результать, полученные во всех сериях измерений, совпадают и могут быть объяснены в рамках теории контактной электризации тел, находящихся в потоке частиц /3, 4/. Основные закономерности изученного пропесса следующие:

- I. Во всех случаях в отсутствие горизонтального переноса снега ток не отмечался, т.е. в этом случае плотность электричес-кого тока, измеренного с помощью электрода, била менее 10^{-10} A/ 2 .
- 2. С началом дефляции снега или переноса выпадающих осадков ветром самописец регистрировал сигнал, среднее значение которого возрастало с увеличением интенсивности метели, причем во всех четирех сериях измерений началу дефляции соответствует плотность тока 10^{-10} A/m^2 , а сильным метелям соответствует плотность тока порядка 10^{-6} A/m^2 , при этом значение тока является случайной функцией времени.
- 3. В самом начале развития поземка, когда отмечается поднятие с земли отдельных случайных порций снега, на ленте самописца обязательно регистрируются двуполярные импульсы, которые с увеличением скорости ветра превращаются в однополярные (рис. 2 а, б).
- 4. Знак электрического тока при метелях всегда положительний. Во время снегопадов, сопровождаемых ветром, при небольших скоростях ветра (V > 10 м/с) иногда наблюдались случаи отрицательных токов.

Тот факт, что при измерении электрического тока во время метелей получаются воспроизводимие результати, позволяет надеяться, что они могут быть использовани для получения информации о метелях, Для этого необходимо количественно объяснить наблюдаемие за-

кономерности, в частности найти связь между средней величиной электрического тока и интенсивностью метели, а также выяснить причину различного вида записей электрического тока (переход от двуполярных отдельных импульсов к униполярной электризации). В связи с этим ниже приводится интерпретация результатов измерения на основе современных представлений об электрических процессах, протекающих в приземном слое.

Электрическое состояние металлического тела (электрода), находящегося над поверхностью земли, определяется двумя факторами: электрическим полем, существужщим в свободной атмосфере, и электрическими токами – током проводимости и конвективными токами.

При отсутствии в атмосфере конвективных токов электрод принимает через некоторое время потенциал U_0 той точки пространства, где он находится:

$$U_o = \int_0^h f(x,t) dt , \qquad (1)$$

где E(x,t) — напряженность электрического поля атмосфери, h — внсота расположения электрода. Принимая собственную емкость электрода равной C_1 , а параметра измерительной цепи C_2 и R, эквивалентную схему можно представить в виде генератора ЭДС с последовательно присоединенными емкостью C_4 и измерителем. Собственное активное сопротивление генератора близко к нулю, разность потенциалов U_0 представляет собой входное напряжение, выходное напряжение U_2 измеряется на сопротивлении R. На рис. I о представлена эквивалентная схема генератора напряжения. Передаточная функция этой цепи $f(p) = U_2(x)/U_0(x)$ легко находится из уравнений кирхгофа для генератора ЭДС, записанних в операторной форме:

$$\bigcup_{c}(p) = \overline{I}_{1}(p)\left(\frac{1}{pC_{1}} + \frac{1}{pC_{2}}\right) - \frac{\overline{I}_{2}}{pC_{2}},$$

$$\bigcup_{2}(p) = \overline{I}_{2}(p)R,$$

$$P \overline{I}_{2}(p) - \overline{I}_{2}(p)\overline{I}_{2} = 0$$
(2)

 $\begin{array}{c} R \prod_{2}(p) = \left[\prod_{1}(p) - \prod_{2}(p)\right] \frac{1}{p \, C_{2}} = 0 \, . \\ \text{В системе уравнений (2) принято, что } \boxed{ (p) - преобразование} \\ \text{Лапласа } \boxed{ \text{ функции } } \boxed{\text{I (t)}} : \end{array}$

$$I(p) = L\left\{I(t)\right\} = \int_{0}^{\infty} I(t)e^{-pt}dt .$$
 (3)

Рассмотрим, какие выходные сигналы регистрируются на сопротивлении R при различных входных сигналах, определяемых видом функции E (\pm).

Простейший случай реализуется, когда электрод находится в постоянном электрическом поле E (t) = ccnst, включение измерительной цепи происходит в момент t = 0. При этом $L\{U_o(t)\}$ = = U_o/ρ , решение системы (2) и обратное преобразование Лапласа функции $U_2(\rho)$ дает

$$\bigcup_{2} (t) = \frac{C_{1}}{C_{1} + C_{2}} \bigcup_{0} e^{-\frac{t}{C}}, \quad \mathcal{T} = \frac{1}{R(C_{1} + C_{2})}$$
(4)

Таким образом, при включении регистратора в постоянном поле в отсутствие метели и снегопада на ленте самописца должен отмечаться отдельный импульс, амплитуда которого равна $\mathcal{C}_4/(\mathcal{C}_4+\mathcal{C}_2)$ U_0 , далее сигнал спадает до нуля с постоянной времени \mathcal{C} (рис.3 а). Действительно, такие скачки отмечались при включении аппаратуры в отсутствие явлений переноса.

Случай резко меняющегося электрического поля можно продемонстрировать отдельными импульсами прямоугольной формы продолжительности β и амплитудн U_c . Для отдельного импульса преобразование Лапласа имеет вид:

$$U_{o}(p) = \frac{U_{o}}{p} \left(1 - e^{-\beta P}\right). \tag{5}$$

Учитывая систему уравнений Кирхгофа, получим

$$U_2(p) = U_0 \left(1 - e^{-\beta p}\right) \frac{R C_1}{R(C_1 + C_2) + 1} ,$$

чему соответствует выражение для измеряемой на сопротивлении К разности потенциалов

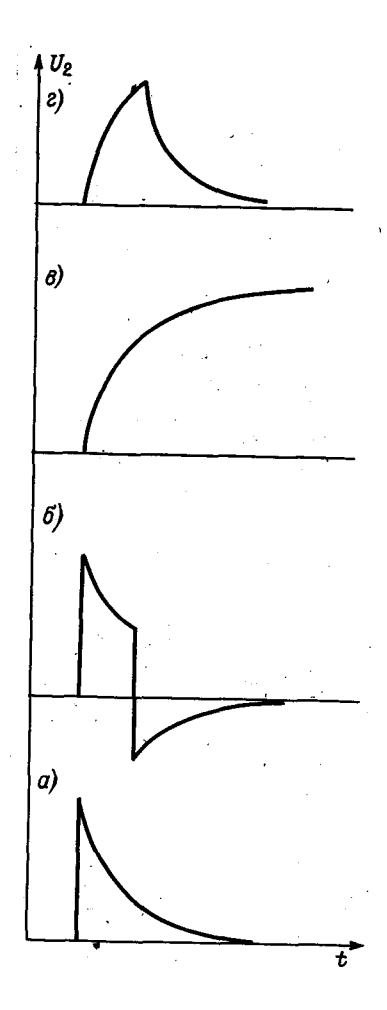


Рис. 3. Графическое изображение сигнала на выходе измерителя, соответствующего решению системы уравнений.
а) решение (2); б) решение (4); в) решение (6); г) реше-

ние (7).

$$U_{2}(t) = L^{-1} \left\{ U_{2}(p) = \begin{cases} \frac{C_{1}}{C_{1} + C_{2}} U_{0} e^{-\frac{t}{C}}, & 0 < t < \beta \end{cases}, \\ \frac{C_{1}}{C_{1} + C_{2}} U_{0} e^{-\frac{t}{C}(t - \beta)} \left[1 - e^{-\frac{\beta}{C}} \right], & t > \beta \end{cases}.$$
 (6)

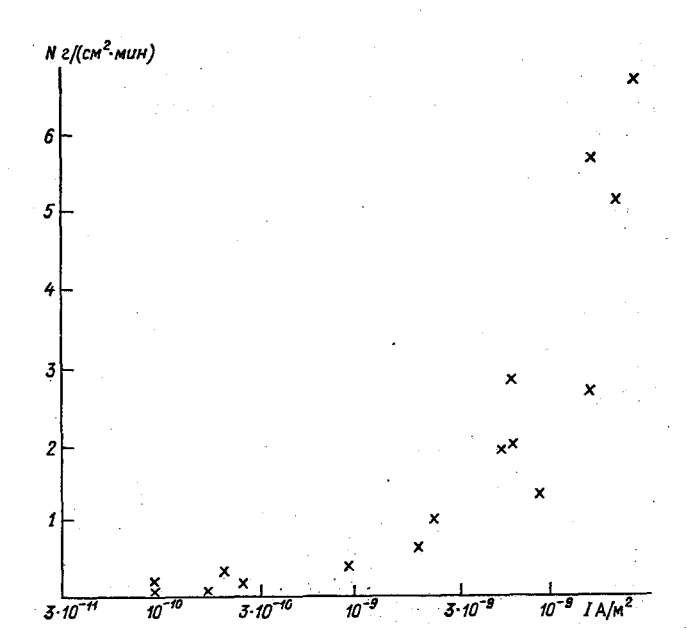
Решению (6) соответствует сигнал, состоящий из двух фаз, причем первая, положительная фаза, несколько превышает вторую, отрицательную. Форма сигнала представлена на рис. 3 б. Как отмечалось, двуполярние импульси действительно наблюдаются в самом начале развития процесса переноса снега, когда отдельние порции снега, поднятие ветром с земли, не достигают электрода, но проносятся вблизи него. Благодаря тому, что отдельние частицы снега наэлектризовани, прохождение снега вблизи электрода приводит к временному скачку электрического поля в месте установления электрода. По мере усиления метели и появлении систематического переноса снег начинает ударяться об электрод; этому соответствует увеличение тока на электрод одного знака (см. рис. I б, в).

Непосредственное попадание частиц на электрод создает в измерительной цепи ток одного знака, что вызывается следующими причинами:

- а) передачей собственного заряда частиц снега /6/;
- б) разделением заряда между частицей и электродом, возникающим при столкновении во внешнем электрическом поле;
- в) разделением заряда, возникающим за счет удара снега о металл и раскалывания ударяющихся частиц /3, 4/.

Последняя составляющая пропорциональна квадрату скорости соударения, поэтому с увеличением скорости ветра ее вклад становится основным.

Удар метелевых частиц об электрод генерирует ток $I_c = n v S q$, где n – концентрация частиц, S – поперечное сечение электрода, q – заряд, разделяемый при ударе отдельной частицы. Попадание частиц на электрод создает на выходе измерителя напряжение U_2 . Этому случаю соответствует эквивалентная схема генератора тока



Рио.4. Результати одновременного измерения электрического тока I и количества переносимого снега ${\cal N}$.

(см. рис. І в). Передаточное сопротивление цепи генератора тока

$$Z_p = \frac{U_2(p)}{I_p(p)} = \frac{R}{1 + R(C_1 + C_2)p}$$

Окончательно измеряемое напряжение в случае постоянного тока (чему соответствует сигнал, возникающий при снегопаде, сопровождаемом ветром) оказывается равным

$$U_{2}(t) = I_{0}R(1 - e^{-t/\tau}), T = 1/R(c_{1} + c_{2}), I_{0} = nv \leq q$$
 (7)

При отдельных импульсах тока (чему соответствует сильный поземок, когда снег отдельными порциями поднимается до высоты электрода) сигнал на выходе имеет следующий вид:

$$U_{2}(t) = \begin{cases} I_{o}R(1-e^{-t/\tau}), & 0 < t < \beta, \\ I_{o}Re^{-(t-\beta)/\tau}(1-e^{-\beta/\tau}), & t > \beta. \end{cases}$$
 (8)

Форма сигнала, осответствующего решениям (4), (6), (7), (8), представлена на рис.3.

Реальная метель может бить представлена в виде суммы постоянной составляющей и отдельных прямоугольных импульсов тока.

На рис. 2 в представлена запись, сделанная во время сильного поземка, когда отмечается систематический перенос снега, на фоне которого заметны отдельные порывы ветра продолжительностью несколько минут.

Одновременно с измерениями электрического тока I производились измерения твердого расхода метели $\mathcal N$ на уровне земли. Сопоставление величин I и $\mathcal N$ (рис.4) обнаруживает зависимость междуними, которая должна существовать согласно (7).

Таким образом, систематические измерения электрического тока во время метели позволили построить теоретическую схему происходящих во время метели электрических процессов. Проведенный анализ результатов наблюдений доказывает возможность использования изученных явлений для получения дополнительной информации о метели, в частности на основе измерения электрического тока на электрод возможно создание сигнализаторов процессов переноса.

Список литературы

- І. Дрнин А.К. Механика метелей. Новосибирск: Изд-во СО АН СССР, 1963. 378 с.
- 2. Дободин Т.В. Электричество метелей // Труды ITO. 1962. Вып. 136. С.62-77.
- 3. Мордовина Л.С. Электризация в потоке частиц // Труды ITO. 1972. Вып. 277. С.71-79.
- 4. Мордовина Л.С. Случайная электризация частиц при столкновениях // Трудн ITO. 1974. Вып. 301. С.75—80.
- 5. Филиппов А.Х. Результаты измерения напряженности электрического поля атмосферы в Арктике // Труды ААНИИ. 1977. Вып. 340. С. 144-149.
- 6. S c h a e f e r V.J. Properties of particles of snow and the electrical effects they produce in storms // Transact. Amer. Geophys. Union. 1947. Vol.28, N 4. P.587-614.

С.М.Персин, Л.А.Щепановская

ОБ ИЗМЕРЕНИЯХ ТУРБУЛЕНТНЫХ ПОТОКОВ ДВУМЯ КОМПЛЕКТАМИ ПУЛЬСАЦИОННОЙ АППАРАТУРЫ В ПРИЗЕМНОМ СЛОЕ АТМОСФЕРЫ

Для получения данных о метеорологическом решении в горизонтально-неоднородных условиях в ивле-августе I984 г. проводилась экспедиция Главной геофизической обсерватории им. А.И. Воейкова совместно с Институтом пустынь АН Туркменской ССР. Место проведения экспедиции — вго-запад Туркменской ССР, предгорыя Копетдага, долина с песчаной поверхностью.

Во время экспедиции производились прямые измерения турбулентных потоков тепла и количества движения с помощью пульсационной аппаратуры, разработанной в ITO /I, 5/. Аппаратура включала два двухкомпонентных ультразвуковых анемометра для измерения вертикальной и горизонтальной составляющих скорости ветра, три пульсационных термометра на микротермисторах и пять корреляторов для получения вертикальных турбулентных потоков тепла и количества движения.

Часть измерений проводилась синхронно с градментными наблюдениями (шесть суточных серий измерений длительностью по одному часу с часовыми перерывами). Приборы устанавливались на одной мачте на высотах I,8 и 2,3 м или на двух мачтах на одинаковой высоте (2 м) и расстояниях между мачтами 7 и I2 м. Одна из мачт допускала возможность изменения высоты установки датчика, и с ее помощью проводился эксперимент по определению изменения вертикального турбулентного потока тепла с высотой.

Результати измерения турбулентных потоков тепла и количества движения обнаруживают удовлетворительную сходимость с вичисленними по градментным наблюдениям (коэффициент корреляции для потоков тепла 0.84. для скорости трения 0.7).

Сравнительные результаты прямых измерений турбулентных потоков приведены на рис. I-5, где P_4 , V_{*4} и P_2 , V_{*2} — вертикальные турбулентные потоки тенла и скорости трения, измеренные первым и вторым комплектом аппаратуры, P_3 — поток тепла, измеренный вторым комплектом, поднятым на высоту 5,5 м.

Результаты статистической обработки сведены в таблицу, где \aleph — число измерений; \aleph — коэффициент корреляции; C — коэффициент ортогональной однопараметрической регрессии в уравнении регрессии y = cx /3/, x и y — значения потоков тепла или квадратов ско—

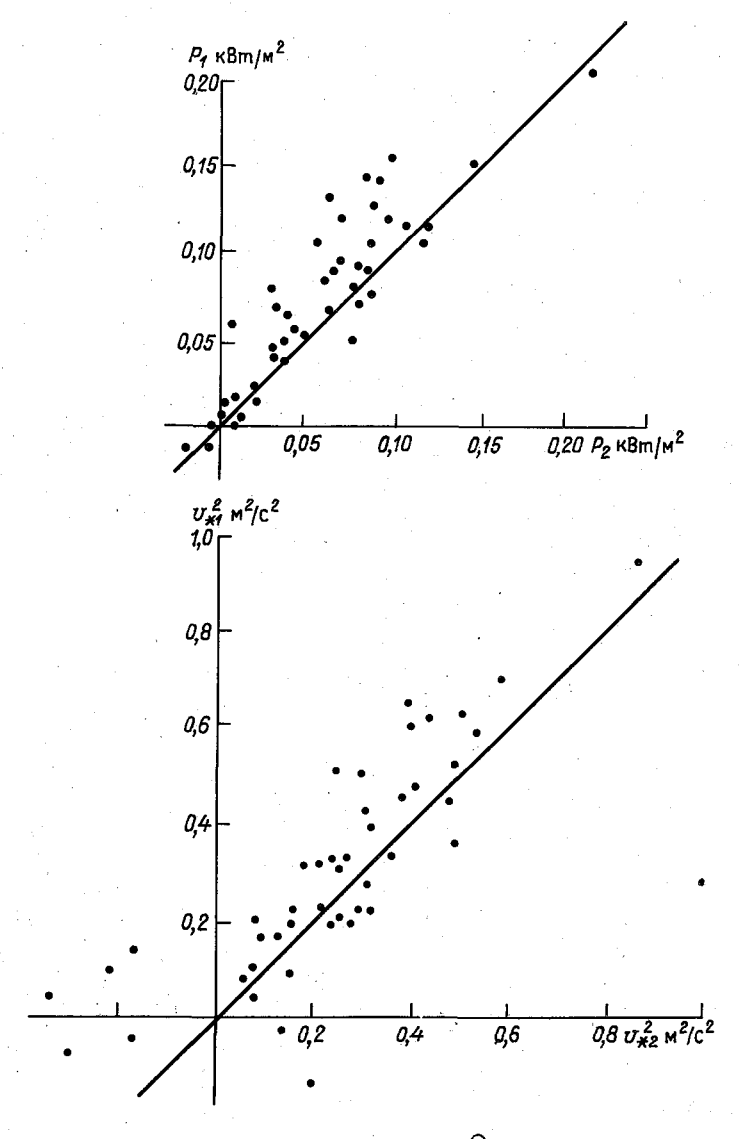


Рис.І. Турбулентные потоки тепла ($\stackrel{\bigcirc}{\circ}$) и количества движения ($\stackrel{\bigcirc}{\mathcal{U}_*}$) по данным измерений на одной мачте на высотах I,8 м (ось ординат) и 2,3 м (ось абсцисс).

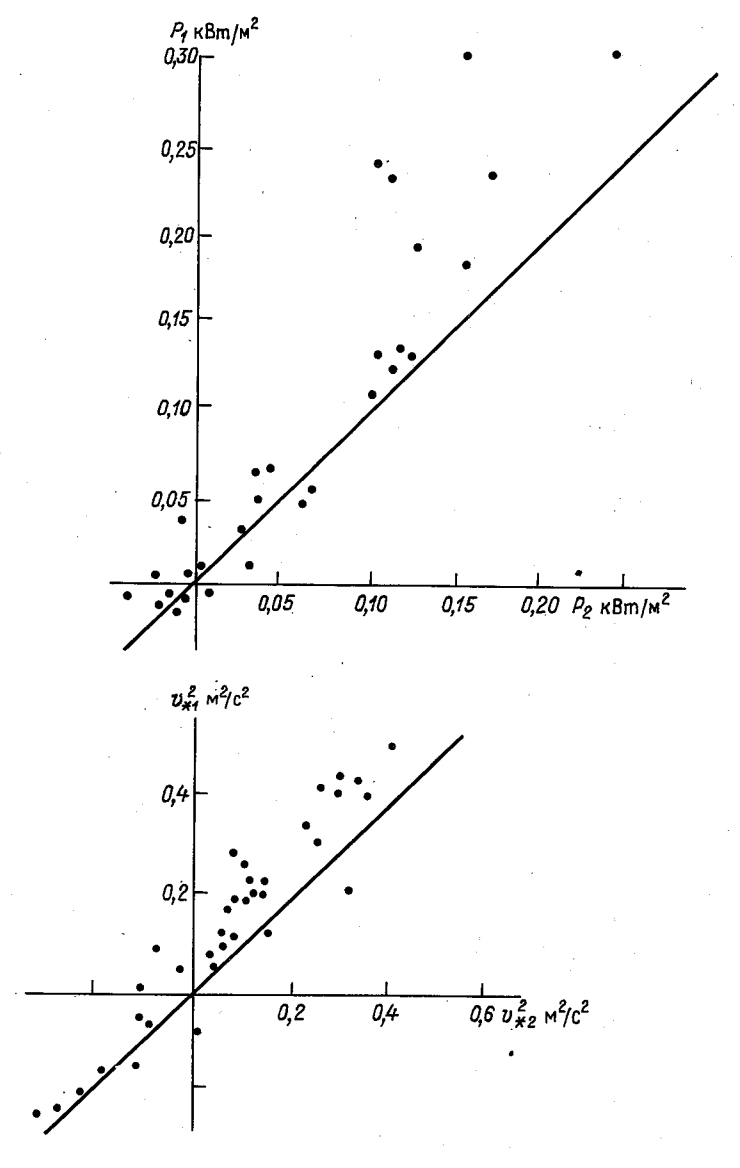


Рис.2. Турбулентные потоки тепла ($\stackrel{\cap}{\wp}$) и количества движения ($\mathop{\wp}^2$) по данным измерений на двух мачтах на высоте 2 м и расстоянии 7 м.

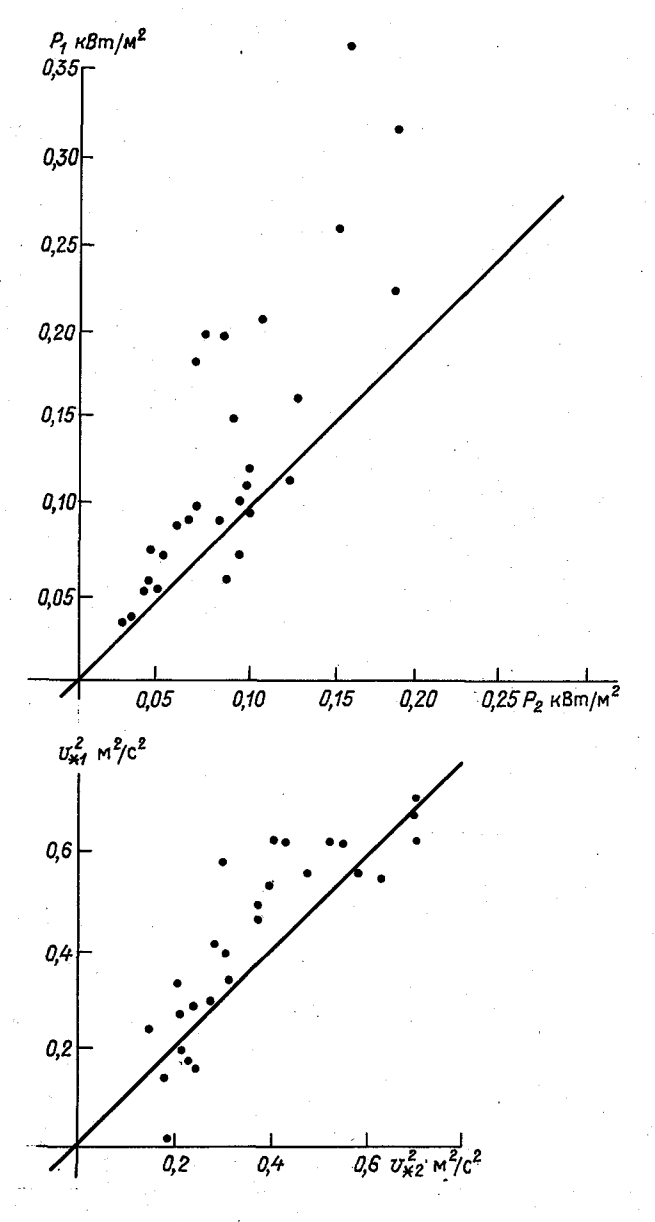


Рис.3. То же на двух мачтах на высоте 2 м и расстоянии I2 м.

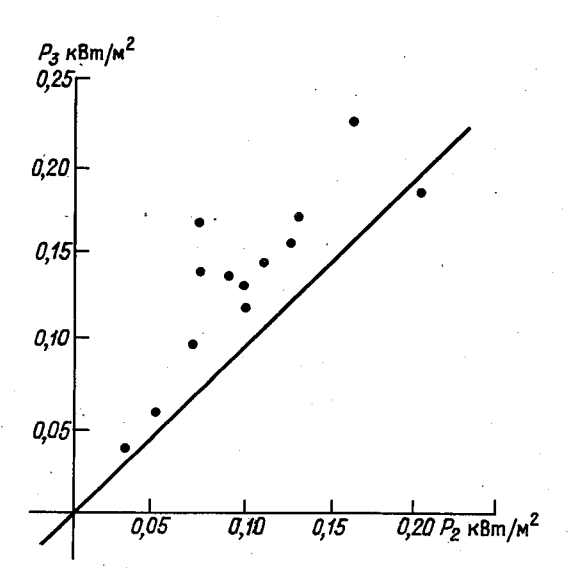


Рис.4. Зависимость потока тепла от высоти подвеса датчиков. $\rho_{_{\! 2}}$ — поток на высоте I,8 м, $\rho_{_{\! 2}}$ — на высоте 5,5 м.

рости трения в разных экспериментах:

$$c = \frac{2\overline{xy}}{\overline{x^2} - \overline{y^2} + \sqrt{(\overline{x^2} - \overline{y^2})^2 + 4(\overline{xy})^2}}$$

Период осреднения для данных таблицы составляет от 10 до 30 мин.

Сопоставим полученные результаты с результатами измерения турбулентных потоков двумя комплектами той же аппаратуры летом 1983 г. в пос. Колтуши Ленинградской обл., приведенными в работе /6/.

Можно убедиться, что корреляция результатов измерения потоков двумя комплектами ашпаратури на одной высоте для обоих экспериментов близка (ℓ колеблется от 0,86 до 0,92 для ℓ и от 0,85 до 0,91 для v_{\star}^2). Также совпадают выводы о незначительном влиянии на корреляцию данных горизонтального разнесения приборов на расстояния до 12 м. Можно отметить, что эксперименту в пустые соответствовала меньшая горизонтальная однородность подстилающей

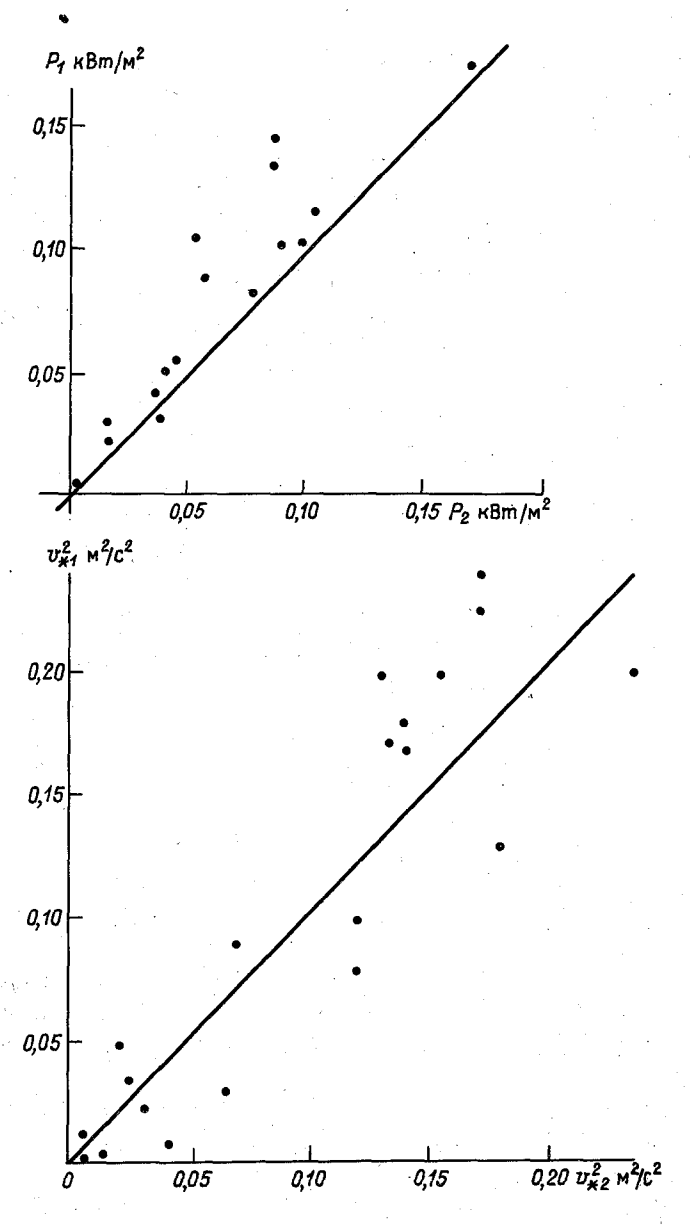


Рис.5. Турбулентные потоки тепла (P) и количества движения (v_*^2) по данным измерений на двух мачтах на висоте 2 м. Уровень помех во втором комплекте уменьшен.

Номер рисунка	Условия проведения экс- перимента	'n	k	x	y	c
I	Приборы на одной мачте на	45	0,89	Ŗ	P	0,82
	висоте I,8 и 2,3 м	53	0,89	v_{*1}^{2}	v_{*2}^2	0,75
. 2	Приборы на двух мачтах на	3I	0,92	Ρ,	p^~	0,68
	расстоянии 7 м на высоте 2 м	30	0,91	V _{*1}	V*2	0,65
3	Приборы на двух мачтах на	37	0,86	P ₁	P_{2}	0,67
	расстоянии I2 м на высоте 2 м	4 I	0,88	V*1	V,2	0,8
4	Комплект № 2 на высоте I,8 и 5,5 м	13	0,78	P	P ₃	I,28

поверхности, чем в Колтушах.

Основное отличие данных, полученных в экспедиции, связано с систематическим занижением измерений P и V_*^2 вторым комплектом аппаратуры. Наиболее вероятной является аппаратурная причина, связанная с постепенным увеличением уровня помехи в каналах анемометра второго комплекта до 10-15~% от уровня полезного сигнала, котя перед началом экспериментов эта характеристика не превышала 5~%.

Поскольку акустическая система анемометра является резонансной и ее настройка производилась при 20 °C, в условиях экспедиции при повышении дневных температур до 45 °C проявился дрейф резонансных частот, что привело к падению амплитуды сигнала при сохранении уровня помехи. После замены излучателя во втором комплекте, когда уровень помехи стал не выше 3 %, сравнительные измерения выявили увеличение коэффициента регрессии по сосим каналам ($\frac{p}{2} = 0.85$ $\frac{p}{4}$, $\frac{p}{4} = 0.895$ при $\frac{p}{4} = 0.854$ $\frac{U_{*4}^2}{2}$, $\frac{p}{4} = 0.99$ при $\frac{p}{4} = 20$, см. рис.5).

Был также проведен эксперимент по измерению потоков тепла на двух высотах. Поскольку систематические и случайные расхождения показаний двух комплектов при одновременных измерениях на разных высотах не могли дать достаточной точности для оценки изменения потока с высотой, была принята следующая методика эксперимента. Поток тепла измерялся синхронно двумя комплектами аппаратуры, причем первий устанавливался на висоте 2 м и контролировал изменение потока во времени, а второй измерял поток последовательно на висотах I,8 и 5,5 м. Данные вибраковывались, если изменение показаний первого комплекта P_{μ} имело один знак с P_{μ} и превышало 10 %. Следует отметить, что комплект ашпаратуры, измерявший потоки на разных высотах, был оснащен двумя каналами измерения пульсаций температуры с общим анемометром, два канала потока тепла давали близкие показания с коэффициентом корреляции 0,99, а в качестве результата брались средние значения. Это повышало надежность данных.

Как видно из таблицы и рис.4, поток растет в среднем на 30 % при росте высоты от I,8 до 5,5 м в дневные часы, однако иногда этого роста не наблюдается. В этом случае на ленте самописца было заметно даже уменьшение амплитуды пульсаций температуры с высотой. Результаты измерений потоков тепла на двух высотах находятся в хорошем согласии с данными, полученными в работе /2/.

Следует отметить небольшой объем полученных данных. В ходе экспедиции были использовани некоторые методы для оценки достоверности данных и контроля работы аппаратуры.

С целью проверки точности устройств обработки в полевых условиях была проведена небольшая серия (16 опытов) в режиме параллельной работы приемных блоков двух комплектов аппаратуры /5/ от одного передающего блока. Проверялись каналы количества движения как наиболее опасные. Полученные данные (коэффициент корреляции 0,982 и коэффициент регрессии 0,95) свидетельствуют о приемлемой точности устройств обработки.

Из других поверочных экспериментов следует отметить проверку на факт перегрева термистора (бусинка Ø 0,15 мм) солнцем. Проверка происходила при установке датчика в рабочем положении на высоте 2 м при наличии круглого экрана Ø 10 см, который располагался на расстоянии 50 см от датчика. При затемнении датчика и без него не было замечено сдвига кривой пульсаций температуры на ленте самописца, и был сделан вывод об отсутствии перегрева. При этом скорость ветра была около 3 м/с, амилитуда пульсаций температуры — примерно I ос.

Следует отметить проявившуюся во время экспедиции нестабильность показаний электролитических интеграторов X-607, применяемых как осредняющие и показывающие приборы, проверка которых от контролируемого цифровым вольтметром источника постоянного напряжения регулярно проводилась. Хотя погрешность для основных интеграторов потоков тепла не вышла за 5 % при числе опитов $\mathcal{N}=35$, для дру-

гих приборов она достигала и 50 %, что обусловлено их температурным дрейфом. Этот узел аппаратуры требует модернизации путем перехода к цифровым методам осреднения.

Выла также оценена погрешность измерения турбулентного потока тепла от изменения динамических характеристик пульсационного термометра, связанная с изменением сопротивления первичного измерительного преобразователя. Сопротивление термистора уменьшается с изменением температуры в соответствии с наспортными данными примерно в 2 раза при изменении температуры от 20 до 45 °C.

Данная характеристика, меняя общий коэффициент усиления вторичного измерительного преобразователя, изменяет ширину полосы пропускания канала пульсаций температуры. Погрешность потока тепла в зависимости от ширины полосы пропускания канала исследована в /4/. Эта погрешность при использовании данных /3/ о корреляционной функции потока тепла при условии, что постоянная времени канала температуры меняется от 100 до 200 с, составляет 3,5 %, т.е. невелика.

В заключение следует отметить, что аппаратура сохранила работоспособность в условиях экспедиции. Имеется тенденция к занижению показаний потоков, связанная с относительным увеличением уровня помехи в условиях повышенных окружающих температур.

Значение коэффициента корреляции при сравнении данних двух комплектов аппаратуры осталось на том же уровне, что и в полевом эксперименте в Колтушах, не зависит от разнесения датчиков, устанавливаемых на одной внсоте, на несколько метров по горизонтали и составляет 0,85-0,91. Для ряда задач физики приземного слоя атмосферы желательно иметь дучшую сходимость результатов. Эта величина не может бить объяснена никакими из перечисленных выше, а также в /6/ погрешностей. Из проведенных поверочных экспериментов следует, что расхождение результатов возникает на входе каналов анемометров.

Пути дальнейшего совершенствования аппаратуры состоят в изменении конструкции приемной части канала анемометра с целью уменьшения акустических теней, в замене электролитических интеграторов на цифровые средства обработки и отображения результатов, в разработке канала измерения потока влаги.

Список литературы

I. А.с. 853584. СССР. Устройство для измерения туроулентных переносов / С.М.Персин. Н.Г.Поликахина. Л.А.Шепановская. - Бюл.

- изобретений. 1981. № 29.
- 2. Зубковский С.Л., Кухарец В.П., Цванг Л.Р. Вертикальные профили характеристик турбулентности в приземном и пограничном слоях атмосферы при неустойчивой стратификации // Изв. АН СССР. Физика атмосферы и океана. 1979. № 1. С.44—52.
- 3. Комплекс аппаратуры для измерения турбулентных потоков тепла и влаги в приземном слое атмосферы / М.Н.Яккер, Ю.А.Песчанский, Л.А.Кащенко, Б.А.Дмитриев. Л.: Гидрометеоиздат, 1976. 66 с.
- 4. Персин С.М. Вопроси методики измерений турбулентных переносов // Труди ITO. - 1982. - Вып. 465. - С. II9-I29.
- 5. Персин С.М., Поликахина **Ж.Г.**, Щепановская Л.А. Устройство для получения турбулентных потоков // Труди ITO. — 1985. — Вып. 476. — С. 118—123.
- 6. Персин С.М., Щепановская Л.А. Измерение турбулентных потоков двумя комплектами пульсационной аппаратури // Труди ITO. 1986. Вип. 512.

Т.П.Грибова, Л.А.Грошева

ОБ УТОЧНЕНИИ АЛГОРИТМОВ ПРОСТРАНСТВЕННОГО КОНТРОЛЯ РЕЖИМНОЙ МЕТЕОРОЛОГИЧЕСКОЙ ИНФОРМАЦИИ НА ЕС ЭВМ

В связи с оснащением внчислительных центров Госкомгидромета СССР ЭВМ ЕС и переводом автоматизированной обработки режимной информации на эту серию ЭВМ возникла необходимость создания новых программ критического контроля метеорологической информации.

Программа критического контроля, разработанная для ЭВМ "Минск-32", достаточно эффективно выявляла сомнительные и ошибочные значения в результатах наблюдений станций. Поэтому в основу нового комплекса программи контроля положени методы и алгоритмы, использованные и проверенные в предыдущем комплексе /2, 4/. Наряду с этим внесен ряд изменений и уточнений в отдельные алгоритмы, увеличено количество контролируемых метеорологических величин, доработани формы некоторых таблиц результатов, изменено их содержание и т.п.

Изменения, внесенные в алгоритмы программы, подсказаны либо опытом детального анализа результатов контроля, либо связаны с особенностями контроля метеорологических величин, впервые включенными в новую программу контроля.

Как в предидущем комплексе программ, так и в новом, алгоритм программы контроля предусматривает не только вичисление невязки отдельной метеорологической характеристики, но также и анализ невязки, превысившей определенную величину, называемую критерием достоверности /4/. Оценка качества результатов наблюдений и выявление конкретной метеорологической величины, вызывающей сомнение и требующей от специалиста дополнительного анализа, выполняется только для величин, для которых в программе заданы критерии достоверности.

Ряд метеорологических величин уже был и ранее обеспечен критериями достоверности. В новом комплексе программ список таких метеорологических величин по возможности максимально увеличен. В качестве критериев достоверности взяты как допуски браковки, использовавшиеся ранее при ручном критическом контроле, так и критерии, внчисленные возднее по материалам автоматизированного критического контроля метеорологической информации /4/. Перечень значений критериев достоверности, дополнительно включенных в новый комплекс программ для анализа невязок, приведен в таблице. Здесь же приведено значение уточненного критерия температуры точки росы.

п/п	тнемелс йиноегилодоетем	Предельно допустимая невязка
I	Температура точки росн, ^о С	I , 0
2	Разность среднего месячного минимального значе-	0,5
	ния температуры воздуха и минимального из сред-	
	них месячных значений за восемь сроков, ос	
3	Разность среднего месячного максимального зна-	0,5
	чения температуры воздуха и максимального из	
	средних месячных значений за восемь сроков, ос	
4	Разность средних месячных максимального и мини-	I,0
	мального значений температуры воздуха, ОС	
5	Разность среднего месячного минимального значе-	I , 0
	ния температуры поверхности почвы и минимально-	
	го из средних месячних значений за восемь сро-	
	KOB, OC	
6	Разность среднего месячного максимального зна-	I , 0
	чения температуры поверхности почвы и макси-	*
	мального из средних месячных значений за во-	
	семь сроков, ос	
7	Отношение количества нижней облачности к коли-	0,15
0	честву общей	
8	Число ясных дней по общей облачности	3
·9	Число пасмурных дней по общей облачности	4
	Число ясных дней по нижней облачности	4
II I	Число пасмурных дней по нижней облачности	4
Lα	Разность максимального за месяц и среднего ме-	4
	сячного значений скорости ветра	

Контроль средних месячных значений метеорологических величин по срокам выполняется по тем же алгоритмам, что и средних месячных значений величин за сутки. Поскольку специально для каждого из сроков критерии достоверности метеорологических величин не вычислялись, для анализа невязок по срокам привлечени критерии достоверности, применяемые для средних месячных (суточных) величин.

Специалисту при оценке качества информации важно выявить именно те случаи, когда информация самой контролируемой станции вызывает сомнение. Из ощита известно, что невязка интерполяции может превышать критерий достоверности по целому ряду причин, а не только вследствие ошибочного значения метеорологической величины на контролируемой станции. Поэтому в новом комплексе программ при анализе невязки акцент сделан не просто на выделение невязок, превышающих установленный критерий достоверности, но на определение "сомнительности" метеорологической величины на контролируемой станции.

Для этого вичисляются разности значений метеорологических величин контролируемой станции и каждой из ее влияющих. Во внимание принимается как знак разности, так и ее значение. Значение метеорологической величини на контролируемой станции признается сомнительным, если вое разности оказываются одного знака и превышают значение установленного критерия. Если станция признается сомнительной, анализ невязок программой на этом заканчивается, а информация, по которой выполнялся контроль, помещается в "Сводную таблицу".

Для метеорологических величин, не имеющих критериев достоверности, помимо невязки, внчисленной по формуле и соответствующей признаку контроля станции, в новой программе рассчитывается еще невязка от среднего арифметического значения метеорологической величины по группе влияющих станций. Двойной расчет невязки введен с целыю исключить погрешность, возникающую при расчете аппроксимирующей плоскости, в случае расположения влияющих станций близко к прямой линии. В таблицу результатов в этом случае помещается меньшая по абсолютному значению невязка.

Критерии достоверности метеорологических величин, включенные в программу, взяты едиными для всех регионов и сезонов года. В основном это оправдано, но для корректного выполнения анализа результатов контроля иногда необходимо уточнить имеющиеся критерии достоверности для различных физико-гоографических условий и сезонов года и получить новые для тех метеорологических величин, которые в настоящее время критериями не обеспечены.

Поэтому в новой программе контроля предусмотрен расчет средней квадратической невязки по территории каждого управления по гидрометеорологии практически для всех контролируемых метеорологических величин. Исключение составляют температура почви на глубинах, направление ветра по румбам (в градусах), повторяемость направления и атмосферное давление.

Средняя квадратическая невязка δ_{Δ_i} /4/ вичисляется по формуле

$$\mathcal{G}_{\Delta_{i}} = \sqrt{\frac{\sum_{i=1}^{n} \Delta_{i}^{2} - \frac{(\sum_{i=1}^{n} \Delta_{i})^{2}}{n}}{n-1}}$$

где Δ_i — значение невязки метеорологической величины, κ — количество невязок, учтенных при вичислении σ_{Δ_i} по территории контролируемого управления по гидрометеорологии.

При расчете средней квадратической невязки для метеорологических величин, имеющих критерии достоверности, учитываются только невязки, не превышающие по абсолютному значению удвоенное значение критерия. Средняя квадратическая невязка метеорологической величини, для которой критерий достоверности не задан в программе, включает все невязки.

В ранее действующих программах по результатам контроля средних месячных выводов по температуре почвы на глубинах под оголен⊣ ной поверхностью в таблицу выволились невязки интерполяции для глубин 5, IO, I5 и 20 см и значения градиентов температуры почвы для слоев 5-10, 10-15, 15-20 см. Вследствие ограниченного количества глубин, на которых производятся измерения температуры почвы под оголенной поверхностью, невязки для этого вида информации не являются показательными и не дают специалисту четкого определения "ошибочной глубины". Так, если отклонение значения температуры почвы от правильного находится в пределах 0,5 °С на графике вертикального распределения, невязки по абсолютному значению не превышают 0.2 °С. Если средние месячные значения температуры почвы получены всего на трех глубинах, то все невязки оказываются равными нулю II, котя при этом в профиле могут быть ошибочные значения температуры почвы. По этой причине в новой программе невязки интерполяции температуры почвы на глубинах под оголенной поверхностью не вичисляются. Для анализа специалисту в таблице представлены градиенты средней месячной, минимальной и максимальной температуры почвы, вычисленные для слоя 5 см.

Таблица градиентов позволяет специалисту проследить их ход на каждой станции сразу для средней месячной, максимальной и минимальной температуры и сравнить градиенты контролируемой станции с градиентами окружающих станций в данном районе.

В процессе контроля температуры почвы на глубинах под есте-

ственним покровом в программе предусмотрен поиск ошибочных значений температуры /4/. В случае если задано всего четыре значения температуры, поиск осложняется, поскольку первое же исключенное из профиля значение температуры почвы приводит к совпадению вычисленного и фактического профилей и не позволяет установить действительную "сомнительную глубину". Поэтому для таких ситуаций пересчет выполняется с исключением всех возможных значений температуры почвы в профиле, а затем на сомнение выдается глубина, на которой невняка оказалась наибольшей по абсолютному значению.

В новой программе расширен список контролируемых метеорологических величин. Так, контроль проходят "продолжительность в часах" ряда атмосферных явлений, число случаев метеорологической дальности видимости для градаций < I км и > 10 км. Для числа случаев скорости ветра по градациям дополнительно к градациям I, 2-3, 4-5, 6-7, 8-9 м/с введен контроль суммы градаций от 10 м/с и по градацию > 40 м/с включительно. В качестве дополнительной характеристики к атмосферным явлениям введен контроль отношения продолжительности в часах туманов (ТТО) к числу случаев метеорологической дальности видимости < I км.

Все перечисленные метеорологические величины контролируются методом линейной интерполяции, и невязки помещаются в соответствующие таблицы.

В связи с тем что на одной станции программа наблюдений может включать проведение снегосъемок по лесному и полевому маршрутам, в новом комплексе программ предусмотрена возможность контроля результатов снегосъемок обоих маршрутов при условии, что снегосъемки на каждом маршруте проводились не менее чем на трех влиякщих отанциях.

Помимо перечисленных, новой режимной характеристикой, подвергающейся контролю, является повторяемость в процентах форм облачности. Контроль ее осуществляется путем логического сопоставления повторяемости различных форм облачности на контролируемой и влияющих станциях.

В новом комплексе программ введен также контроль по уравнениям связи числа дней с изморозью или пыльной бурей в их продолжительностью в часах. Каждое управление по гидрометеорологий может выбирать для контроля то атмосферное явление из двух, которое на территории управления имеет наибольшую повторяемость и представляет интерес. Предусмотрена также возможность дальнейшего увеличения количества контролируемых атмосферных явлений этим метолом.

Изменения, внесенные в программу, уменьшили затраты ручного труда и облегчили анализ невязок и проведение критического контроля режимной метеорологической информации.

В настоящее время программа контроля работает во всех вычислительных центрах.

Список литературы

- І. Беспалов Д.П., Грибова Т.П. Основи методики контроля распределения температуры почвы на глубине // Труды ITO. - 1975. - Вып. 345. - С. 33-36.
- 2. Беспалов Д.П., Грибова Т.П., Грошева Л.А. Пространственный контроль режимной метеорологической информации на ЭВМ // Труды ITO. — 1981. — Был. 449. — С. 15—22.
- 3. Грибова Т.П., Грошева Л.А. Рекомендации по анализу результатов пространственного контроля метеорологических элементов на ЭВМ // Труды ГТО. 1981. Вып. 449. С. 23-30.
- 4. Методические указания по проведению критического контроля результатов метеорологических наблюдений на сети станций. Л.: Гидрометеоиздат, 1981.

ИСПОЛЬЗОВАНИЕ СВЯЗЕЙ МЕЖДУ РАЗЛИЧНЫМИ МЕТЕОРОЛОГИЧЕСКИМИ ХАРАКТЕРИСТИКАМИ В АЛГОРИТМАХ ИЗ ВНУТРИСТАНЦИОННОГО КОНТРОЛЯ (НА ПРИМЕРЕ АТМОСФЕРНЫХ ОСАЛКОВ)

В основе автоматизированного критического контроля большинства режимных метеорологических характеристик лежит анализ и использование пространственных или пространственно-временных связей этих характеристик между собой. Иными словами, межстанционный контроль осуществляется на основании результатов анализа метеорологических полей /3/. Однако этот способ контроля не универсален.

Во-первых, он не применим для изолированных станций (например, в горных районах, где непрерывная метеорологическая сеть отсутствует), а также для станций с резкими микроклиматическими особенностями (например, на побережьях морей или больших внутренних акваторий).

Во-вторых, для ряда характеристик с особенно большой про-СТранственной изменчивостью (так называемых "интнистых") сущест-Вующая даже в равнинных условиях и густонаседенных районах сеть Оказывается недостаточной для обеспечения напежного межстании онного контроля. К числу таких характеристик относятся, например. количество и продолжительность атмосферных осапков, число дней с количеством осадков разных градаций, число пней с различными атмосферными явлениями (дождями, снегопадами, метелями, грозами, туманами, гололедом и др.), некоторые характеристики влажности воздуха, температура почви на глубинах, а также экстремальные величины наблюдаемых метеорологических характеристик. В этих усло-Виях применяется внутристанционный контроль, использующий физикостатистический анализ связей между характеристиками, наблюдаемыми в одном пункте. В основе этих связей дежит единство бизического процесса, отражаемого комплексом наблюдаемых характеристик. объединенных общим происхождением, т.е. связанных генетически.

В настоящее время в процессе внутристанционного контроля генетические связи используются в виде линейных уравнений регрессий, параметры которых определяются по временному ряду наслюдений на каждой конкретной станции. Основные недостатки такого подхода состоят в том, что линейная корреляция между контролируемыми характеристиками часто оказывается недостаточно высокой для надежного выявления ошисок. Кроме того, необходимость предварительного анализа временного ряда на каждой станции сильно затрудняет тех-

ническое осуществление контроля. Существует также ряд характеристик, которые пока еще совсем не контролируются, так как не выявлены и не определены связи, пригодные для разработки соответствующах алгоритмов. В этих обстоятельствах очевидной необходимостью становится глубокое и разностороннее физико-статистическое исследование генетических связей о целью определения вида и численных параметров наиболее тесных зависимостей между отдельными характеристиками или их комплексами, наблюдаемыми разными методами и приборами, но объединенными общностью физического процесса.

Следует также иметь в виду постоянную тенденцию к сокращению числа пунктов метеорологической сети, обусловленную главным образом экономическими причинами. При этом необходимо сохранять объем и качество получаемой информации, чтобы не допустить ухудшения обслуживания народного хозяйства. Иными словами, первоочередной задачей становится получение надежной и высококачественной информации по более редкой сети наблюдательных пунктов. В этих условиях возрастает значимость именно внутристанционного контроля в общей системе автоматизированного контроля результатов наблюдений. И, кроме того, использование генетических связей дает возможность по меньшему объему непосредственно наблюдаемых величин получать дополнительную и разносторонною информацию, целенаправленно ориентированную на определенное практическое использование.

Разработка такого рода была выполнена для ряда характеристик атмосферных осадков, которые в настоящее время либо не контролируются совсем (месячная продолжительность осадков, число дней с осадками ≥ 0, I мм за месяц, месячная выборка числа дней с разным количеством осадков), либо контролируются ненадежно (месячное количество осадков). Ниже предлагаются и обосновываются алгоритмы контроля и восстановления этих независимо определяемых характеристик, основанные на их взаимной генетической обусловленности.

Продолжительность осадков ($\widetilde{\mathcal{L}}$) и число дней с осадками \geqslant 0,1 мм ($\mathfrak{D}_{c,i}$) за месяц

Связь между этими характеристиками физически очевидна, и априори ясно, что она различна в разные сезони. В работе /I/ на основе анализа средних многолетних месячных значений \mathcal{T} и $\mathcal{D}_{c,i}$ по материалам Справочника по климату СССР /4/ для ряда станций в разных климатических условиях показано, что соотношение между числом дней с осадками и продолжительностью осадков определяется главным образом температурними условиями, но зависит также и

от режима влажности воздуха. Формула, характеризующая данную зависимость, имеет вид

$$T = 0.01 \mathcal{D}_{c,1}^{1.5} e^{2(100-7).10^{4+3}}, \qquad (1)$$

гле \mathcal{T} – средняя многолетняя месячная продолжительность осадков (в часах); $\mathfrak{D}_{0,4}$ - среднее число дней с осадками за месяц; e парциальное давление водяного пара (гПа); \mathcal{T} - относительная влажность воздуха (%); t - температура воздуха (°C); λ и β постоянные; в среднем, для всех климатических условий, в которых получена формула (I), $\Delta = -0.355$, $\beta = -0.0699$.

Проверка формулы (I) на независимом материале показала. что средняя квадратическая разность между рассчитанными по формуле (\mathcal{T}^{P}) и фактически наблюденными (\mathcal{T}^{P}) значениями продолжительности осадков, определенная из выражения

$$G_{\tau} = \sqrt{\frac{\sum \left(\frac{\tau P - \tau^{+}}{\tau_{cp}} + 100\right)^{2}}{n-1}},$$

составляет $\pm (21...24)$ %.

1

Į

H

, 0

0

30

8-

pac

= 5

ЩИИ

МOЙ

ero

 y_{IBC}

KOHH

В работе /І/ было показано, что систематические отклонения данных отдельных станций от кривой, описываемой уравнением (I). незначительны. т.е. региональные различия в параметрах этой связиневелики. Однако для уточнения формулы (I) в применении к каждой конкретной станции целесообразно определить и использовать в дальнейшем ее индивидуальные значения коэффициентов α и β . Вполне вероятно, что пространственная изменчивость этих коэффициентов невелика (поскольку малы региональные различия), и, значит, возможно предварительное районирование или картографирование их значений для всей территории СССР по вноорочной ограниченной сети станций, что облегчит дальнейшую процедуру контроля без ущерба ддя ее точности.

Проверка возможности использования формулы (I) для контроля месячных значений продолжительности осадков и числа дней с осадками за отдельные годы была сделана по материалам текущих наблюдений из метеорологических ежемесячников за 1981-1983 гг. Для станций Воейково и Минск были выбраны данные обо всех параметрах, входящих в формулу (I), т.е. месячные значения $\mathcal T$, $\mathcal D_{\ell,i}$, $\mathcal L$, eи С. Расчеты показали, что для конкретных месячных величин, так же как и иля средних многолетних, связь межну соотношением

KOHT **ти**на

от линии связи, описываемой уравнением (2).

Очевидно, что ведичина 26_5 — постоянный критерий для отношения $2x/20_0$, но выражение его в днях для значений 2x будет в каждом месяце иным в зависимости от ведичины 2x.

Описанный способ контроля выборки числа дней с осадками разных градаций касается проверки достоверности значений $\mathfrak{D}_{\mathtt{T}}$ в каждой выборке. Однако каждая такая выборка характеризуется еще и углом наклона интегральной кривой числа дней, т.е. коэффициентом С в уравнении (2). Из общефизических соображений вполне очевидно, что величина С определяется режимом выпадения осапков, а именно: в районах умеренного увлажнения с преобладанием обложных пождей небольшой интенсивности и в холодный сезон этот угол будет больше, чем в обильно увлажненных районах в летние месяцы с сильными ливнями. Выявление зависимости коэффициента С от интенсивности осадков било сделано на материале нескольких станций с резко различным режимом увлажнения, расположенных на северо-западе СССР (Минск, Воейково), на Кавказе (Местиа), в Сибири (Красноярск, Туруханск) и на Колыме (Магадан, Омолон). По данным наблюдений перечисленных станций за 1981-1983 гг. исследовалась связь между коэффициентом С и средней за месяц характеристикой интенсивности выпадения осадков (I), полученной делением месячного количества осадков (К мм) на число дней с осадками за месяц. т.е. $I = R/D_{0.4}$ мм/сут. (Здесь, по-видимому, более естественным и надежным было бы характеризовать среднюю интенсивность отношением месячного количества осацков к их месячной продолжительности (τ_2) , т.е. величиной R/τ мм/ч. Однако величина τ_1 наблюдаемая на станциях, не определяется на постах. Поэтому для общеприменимости адгоритма вместо ${\mathcal T}$ взято число дней с осадками как характеристика. определяемая повсеместно.)

Связь между величинами С и І оказалась линейной в полуло-гарифмических координатах, т.е. соответствующей уравнению

где \wp и q - постояние параметри прямой.

В таблице приведени статистические характеристики этой связи для всех использованных станций, а именно: коэффициент корреляции между C и $\log 1 - \mathcal{C}_{C, \log 1}$; среднее квадратическое отклонение от линии регрессии $C / \log 1$ значений C за отдельные месяци S_C ; число месяцев, использованных в расчетах для каждой станции n; среднее значение \overline{C} и среднее квадратическое отклонение \overline{G}_C .

70,61 ± 62	S _c =6 _c √1-2 ²	n	Ē	<i>Б</i> с
-0,79±0,06	±0,09	44	0,40	0,15
-0,75 <u>+</u> 0,08	±0,I3	3I	0,38	0,15
-0,8I±0,06	±0,06	32	0,42	0,II
-0,83 <u>+</u> 0,06	±0,09	29	0,48	0,16
-0,78 <u>+</u> 0,07	<u>+</u> 0,08	29	0,39	0,12
-0,84 <u>+</u> 0,08	±0,07	26	0,47	0,13
-0,75 <u>+</u> 0,09	<u>+</u> 0,I3	. 26	0,51	0,19
	-0,75±0,08 -0,81±0,06 -0,83±0,06 -0,78±0,07 -0,84±0,08	-0,75±0,08 ±0,13 -0,81±0,06 ±0,06 -0,83±0,06 ±0,09 -0,78±0,07 ±0,08 -0,84±0,08 ±0,07	-0,75±0,08 ±0,13 3I -0,81±0,06 ±0,06 32 -0,83±0,06 ±0,09 29 -0,78±0,07 ±0,08 29 -0,84±0,08 ±0,07 26	-0,75±0,08 ±0,13 31 0,38 -0,81±0,06 ±0,06 32 0,42 -0,83±0,06 ±0,09 29 0,48 -0,78±0,07 ±0,08 29 0,39 -0,84±0,08 ±0,07 26 0,47

на рис. I показани графики зависимости коэффициента ${\cal C}$ от ${\ell_{\!\!\! L}}\ I$ для станций Воейково и Магадан.

Достаточно высокие значения коэффициента корреляции, приведенные в таблице, позволяют считать данную зависимость пригодной для использования при контроле обеих входящих в нее характерис-

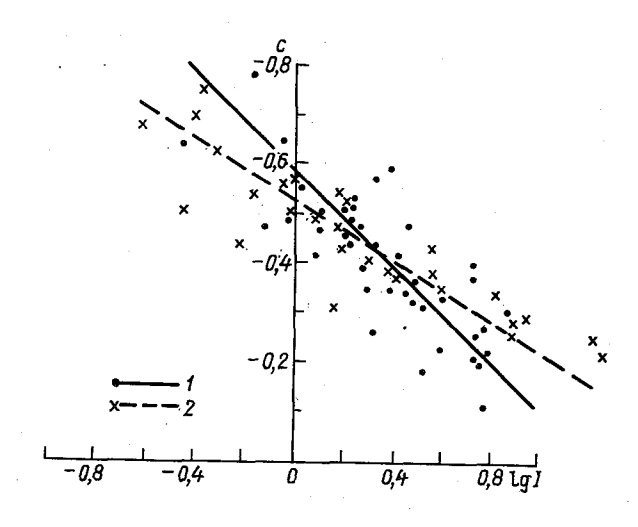


Рис.І. Зависимость углового коэффициента С уравнения (2) от интенсивности осадков I .

I - Воейково, 2 - Магадан.

тик: и коэффициента C, определяющего интегральную кривую числа дней с осадками разных градаций, и интенсивности осадков. А поскольку интенсивность I в нашем виражении есть отношение количества осадков R к общему числу дней с осадками $\mathcal{D}_{\mathbf{c},4}$, которое контролируется независимо (см. выше), то данная связь может служить также и для контроля месячного количества осадков R.

Последовательность действий по взаимному контролю коэффициента C, характеризующего угол наклона интегральной кривой числа дней с осадками разных градаций, и месячного количества осадков R на каждой конкретной станции может определяться такой схемой:

— на основе материалов данной станции за прошлые годы для каждого месяца рассчитывается ряд значений коэффициента С в уравнении (2) и ряд значений $\{c, I\}$:

$$C = \frac{6y}{6x} \gamma_{x,y};$$
 lg $I = lg \frac{R}{R_{0,i}}$

— по этим данным рассчитываются величины S_c и S ℓgI — средние квадратические отклонения индивидуальных значений c и ℓgI от линий регрессии $c/\ell gI$ и $\ell gI/c$:

- удвоенные значения S_c и $S_{\ell_{\rm II}}$, принимаются за критерии достоверности наблюдаемых месячных значений обеих контролируемых характеристик;

– по ряду месячных значений c и c I методом наименьших квадратов определяются индивидуальные для данной станции значения

ри q в формуле (3).

Все эти операции делаются для каждой станции один раз, чтобы затем иметь постоянные значения р и q в формуле (3) при расчете c и c f в контролируемом месяце и величины c f f как критерии достоверности.

Далее ежемесячно для взаимного контроля месячной выборки числа дней с осадками разных градаций (ее характеристики c) и количества осадков R (через величину Q I) рассчитываются значение C по формуле (2), т.е. по ряду значений $\mathcal{D}_{x}/\mathcal{D}_{c}$ и x, и

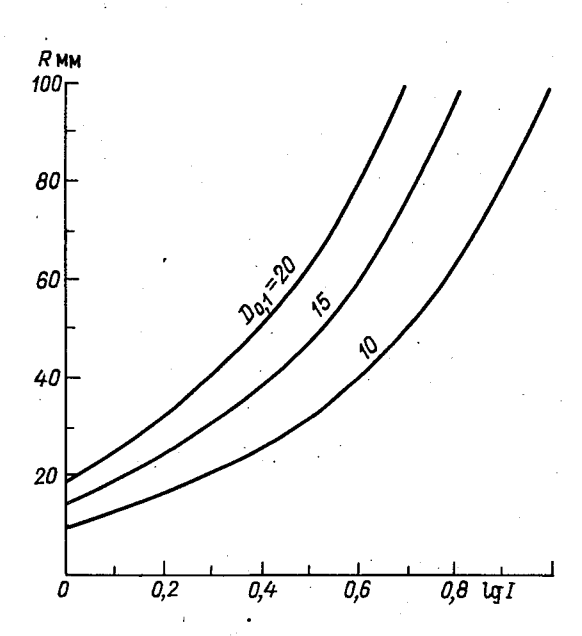


Рис.2. Связь между количеством (R) и интенсивностью (I) осадков при разном числе дней с осадками \geqslant 0, I мм ($\mathcal{D}_{c,1}$) за месяц.

значение Q I по величинам Q и Q за данный месяц. Затем по формуле (3) определяются расчетные значения Q^P и Q I P с использованием известных коэффициентов P и Q. Если разности $Q = C - C^P \leq 2 S_C$ и Q = Q - Q - Q и Q = Q и Q = Q и Q

Определим чувствительность данного метода при контроле месячного количества осадков R , т.е. величину изменения Δ R , соответствующую критерию Δ S $f_{A,T}$.

На рис.2 даны три кривне изменения R в зависимости от g I при $\mathcal{D}_{0,1}=10$, I5 и 20 дням в месяц. Из рисунка видно, что изменение $\Delta \log I$ на значение критерия достоверности, например, $2S_{ij} = 0.14$ (эта величина взята из конкретного расчета для

ст. Воейково) соответствует разным значениям $\Delta \vec{k}$ как в зависимости от $\mathcal{R}_{0,4}$, так и от самой величины $\ell g I$. Так, при значении $\ell g I = 0.2$ и $\mathcal{R}_{0,4} = 15$ величина \vec{k} составляет 24 мм и может меняться в диапазоне от 18 до 34 мм, а при $\ell g I = 0.6$ $\vec{k} = 60$ мм при возможном диапазоне изменения от 44 до 82 мм. Таким образом, данный критерий служит хотя и весьма приближенным, но пока единственным для контроля месячного количества осадков в отдельном пункте.

Здесь нужно заметить, что применяемий в настоящее время критерий для межстанционного контроля количества осадков представляет собой в относительном выражении величину того же порядка /3/. Следовательно, достигается возможность равноценного контроля (а при необходимости и восстановления) данных о количестве осадков на всех станциях в любых физико-географических и климатических условиях.

Список литературы

- I. Богданова Э.Г. Метод косвенного расчета средних многолетних величин продолжительности осадков // Метеорология и гидрология. 1980. № 6. С.33-37.
- 2. Богданова Э.Г. О возможности контроля и восстановления информации о числе дней с осадками разных градаций // Труды ITO. 1986. Вып.512. С.16—19.
- 3. Методические указания по проведению критического контроля результатов метеорологических наблюдений на сети станций. Л.: Гидрометеоиздат, 1981. 70 с.
- 4. Справочник по климату СССР. Ч.4, вып. I-34. Л.: Гидрометеоиздат, 1967-1970.

Л.Ф. Школяр

ОБ ОПЫТЕ КРИТИЧЕСКОГО КОНТРОЛЯ РЕЗУЛЬТАТОВ НАВЛЮДЕНИЙ ЗА ВЛАЖНОСТЬЮ ВОЗДУХА

Основной задачей проведения пространственного критического контроля наблюдений за влажностью воздуха на ЭВМ является оценка их достоверности и однородности. Основу методики пространственного контроля, разработанной в ITO /2, 4/ для равнинной территории, составляет анализ соответствия наблюденных на каждой станции месячных значений полю анализируемой величины, построенному путем аппроксимации значений по данным окружающих (влияющих) станций.

В результате контроля для всех месяцев каждой станции вычисляется невязка (разность между наблюденным и рассчитанным значениями). Материалы наблюдений, невязки которых превышают установленные критерии достоверности /3/, подвергаются дополнительному тщательному анализу. Невязки, превышающие критерии достоверности, могут быть обусловлены следующими причинами:

- недостаточно правильным выбором влияющих и расположением их вокруг контролируемой станции;
- несоответствием используемых климатических норм существующему местоположению метеорологической площадки или отсутствием норм;
- наличием ошибочных данных (грубых ошибок) на контролируемой или влияющих станциях;
- плохим качеством наблюдений на контролируемой или влияющих станциях вследствие нарушения методики производства и обработки наблюдений или производства наблюдений по неисправным приборам.

С целью установления эффективности контроля наблюдений за влажностью воздуха и основных причин, обусловливающих недостоверность информации, был выполнен анализ около 200 случаев, когда получение невязки интерполяции превышали принятые критерии достоверности: относительная влажность воздуха — 3 %, парциальное давление водяного пара для зимы — 0,3 гПа, для лета — 0,5 гПа. Для анализа были использованы материалы наблюдений Северо-Западного, Украинского, Приволжского и Уральского управлений по гидрометеорологии за 1983 г. Результаты проведенной работы представлены в табл.1.

По данным табл. I видно, что число случаев с большими невязками из-за плохого качества производства и обработки наблюдений меняется в пределах от 6 (Уралгидромет) до 23 (Приволжскгидро-

Таблица I

Количество случаев с невязками интерполяции по относительной влажности воздуха, превышающими критерии достоверности

Гидромет	Количество метеорологи- ческих стан- ций	Общее количество случаев	Количество случаев из-за плохого качества производства наблюдений и обработки
Северо-Западное	124	20	IO (50 %)
Украинское	207	56	IO (I8 %)
Приволжское	I04	67	23 (34 %)
Уральское	I63	. I6	6 (38 %)

мет), что в процентах от общего числа случаев составляет 38 и 34 %.

Рассматриваемые случаи с большими невязками в основном обусловлены либо нарушением методики производства наблюдений, либо производством наблюдений по неисправным приборам. Одним из наиболее распространенных нарушений в методике производства наблюдений является неудовлетворительное смачивание батиста смоченного термометра. В производстве наблюдений по неисправным приборам чаще всего встречаются случаи, когда наблюдения производятся по неисправным гигрометрам вследствие изменения чувствительности волоса (пониженная или повышенная чувствительность) в основном из-за трения в оси гигрометра, загрязнения волоса, примерзания стрелки гигрометра, растяжения волоса. При анализе невязок интерполяции за 1983 г. были выявлены указанные случаи.

Так, при просмотре таблицы с невязками пространственного контроля основных метеорологических элементов на станциях Починок и Сосново СевЗапгидромета в августе 1983 г. было установлено, что невязки интерполяции относительной влажности воздуха превышают критерий достоверности и составляют соответственно 4,4 и 5 %. Климатические нормы на контролируемых станциях, климатические нормы и исходные данные на влияющих станциях сомнения не вызывали. При сопоставлении средних месячных значений на станциях Починок и Сосново с соседними станциями было выявлено нарушение методики производства наблюдений, нерегулярно производилось смачивание батиста.

Было также установлено, что наблюдения за влажностью на ст. Опочка СевЗапгидромета в 1983 г. проводились по неисправному гигрометру. Так, невязка интерполяции относительной влажности воздуха ст. Опочка в течение четырех месяцев (январь-аирель) -1983 г. превышали критерии достоверности и составляли соответственно -3.7; -3.7; -7.7; -5.0 %. При этом климатические нормы и исходные данные на влияющих станциях и климатические нормы на контролируемой станции не вызывали сомнения: сопоставление среп--иих месячных значений относительной влажности возума на ст. Опочка и влияющих станциях показало. Что за рассматриваемый период относительная влажность воздуха на ст. Опочка на 3-9 % больше, чем на окружающих. Разности между средними месячными значениями относительной влажности воздуха и климатическими нормами на ст. Опочка возрастают от января к апрелю пои почти неизменных разностях на влияющих станциях. Эти обстоятельства позволили установить причину сомнительности данных измерений относительной влажности воздука на ст. Опочка, которая заключается в неисправности гигрометра. возникшей из-за постепенного растяжения волоса и потери чувствительности прибора. Растяжение началось зимой и усилилось в весенний период при резкой смене температуры воздуха.

Таким образом, на основании анализа результатов критического контроля данных наблюдений за влажностью воздуха с помощью ЭВМ можно сделать вывод о том, что невязки, превышающие принятие критерии достоверности, в основном обусловлены неудовлетворительным выбором влияющих (или их отсутствием), отсутствием норм (или несоответствием их современному местоположению станции) из-за того, что станция либо недавно открыта, либо изменилось ее местоположение.

Чтобы получить представление о том, как число случаев с большими невязками интерполяции влажности воздуха распределяется по сезонам, была вычислена повторяемость (%) для четырех месяцев.

В табл. 2 приведена повторяемость случаев невязок, превышаюших критерии достоверности. По данным таблицы можно сказать, что наибольшая повторяемость отмечается в июле в южных районах территории СССР (Укргидромет, Приволжскгидромет): по парциальному давлению водяного пара составляет 5-10 %, а по относительной влажности воздуха - 3-6 %. Такие значения повторяемостей обусловлены нарушением режима смачивания (не производится дополнительное смачивание) при производстве наблюдений в сухую и жаркую погоду (температура воздуха выше 20 °С, относительная влажность менее 70 %). В остальные месяцы повторяемость незначительна для всех

Таблица 2

Повторяемость (%) невязок интерполяции при критическом контроле характеристик влажности воздуха (парциальное давление водяного пара, относительная влажность воздуха), превышающих критерии достоверности

Гидромет	Парциальное давление водяного пара, rNa				Относительная влажност воздуха, %			
	I	IУ	УΠ	X	I	IУ	УП	X
Северо-Западное					2	2	I	
Украинское	I.	3	5	Ι	I	3	2	2
Іриволжское		4	IO	I	7	5	6	5
ральское		I	I			I	I	

четырех управлений по гидрометеорологии как иля парциального давления воляного пара (I-4~%), так и для относительной влажности воздуха (I-5~%).

Опыт проведения критического контроля с помощью ЭВМ данных наблюдений за влажностью воздуха Северо-Западного, Украинского, Приволжского и Уральского управлений по гидрометеорологии позволяет сделать следующие выводы.

Повышение эффективности критического контроля может быть достигнуто за счет:

- более тщательного подбора влияющих станций. Подбор влияющих станций необходимо производить с учетом физико-географических особенностей их местоположения, равномерности распределения во-круг контролируемой станции;
- использования в качестве "влияющих" станций соседнего управления по гидрометеорологии в случаях, когда отсутствуют влияющие в рассматриваемом управлении по гидрометеорологии;
- использования вместо норм средних многолетних, полученных за IO-I5 лет /I/, при отсутствии норм (или их несоответствии современному местоположению);
- обеспечения проведения на станциях более тщательного контроля за производством и обработкой наблюдений за влажностью воздуха.

Список литературы

- І. Беспалов Д.П., Грибова Т.П., Шко-ляр Л.Ф. Результаты контроля материалов наблюдений за влажностью воздуха на территории Средней Азии // Трудн ГТО. 1977. Вып.396. С.77—81.
- 2. Методические основы автоматизированной системы метеорологических наблюдений / Под ред. Д.П.Беспалова. Л.: Гидрометеоиздат, 1971. I20 с.
- 3. Методические указания по проведению критического контроля результатов метеорологических наблюдений на сети станций. Л.: Гидрометеоиздат, 1981. С.18-19.
- 4. Ш к о ляр Л.Ф. Некоторые особенности проведения критического контроля данных влажности воздуха с помощью ЭВМ // Математическая проверка и исправление данных гидрометеорологических наблюдений: \angle Сб. \angle / ВНИЛТМИ-МЦД. М.: Гидрометеоиздат, 1975. С.III-II3.

Т.П.Грибова

О ВОССТАНОВЛЕНИИ ЗНАЧЕНИЙ ТЕМПЕРАТУРЫ ПОЧВЫ НА ГЛУБИНАХ ПОД ЕСТЕСТВЕННЫМ ПОКРОВОМ ПРИ АВТОМАТИЗИРОВАННОМ КОНТРОЛЕ ИНФОРМАЦИИ

В обеспечении непрерывности рядов наблюдений большую роль играет восстановление пропущенных и забракованных значений метеорологических беличин как срочних, так и средних месячных. Восстановление было и остается важной задачей этапа обработки и контроля режимной метеорологической информации.

При ручном критическом контроле проверка надежности наблюдений за температурой почвы на глубинах под естественным покровом основывалась на использовании графического метода либо на анализе хода градиентов температуры почвы /3/.

Графический метод, с одной стороны, прост и нагляден, с другой - зависит в значительной степени от опита специалиста и его субъективизма. Если по графику распределения с глубиной средней месячной температуры почвы устанавливалось, что информация ошибочна, браковались ежедневные результаты наблюдений на соответствующей глубине, выборки экстремальных значений и среднее месячное значение температуры. Из желания сохранить информацию отклонения от плавной кривой распределения порядка 0.5 ос могли не учитываться, а сравнение кривых распределения по группе станций провопилось не всегда. Таким образом, среднее месячное значение температуры почвы или утрачивалось, или сохранялось искаженным. Поскольку среднее месячное значение не внчисляется в случае неполного ояда наблюдений за месяц. при наличии перерывов в наблюдениях заполнение пропусков разрешалось выполнять путем интерполяции по ежедневным данным. Известно, что для больших глубин, начиная с 80 см. интерполяция не представляет особых трудностей, благодаря незначительным изменениям температури почви от одного дня к другому. На малых глубинах, вследствие значительных колебаний температуры, интерполяция затруднительна.

Среднее месячное значение температуры почвы отмечалось как сомнительное в том случае, если оно заметно отличалось от соответствующих данных соседних глубин или от данных соседних станний.

В условиях автоматизированной обработки для результатов наблюдений за температурой почвы на глубинах под естественным покровом задача восстановления средних месячных, максимальных и мини-

мальных значений решается параллельно с задачей контроля в программе пространственного межстанционного критического контроля. Контролю подвергается вертикальное распределение температуры почвы по глубинам, основу которого составляет сопоставление фактического и аппроксимированного профилей температури почви /2/. Надежность или сомнительность проконтролированных значений устанавливается программой на основании сравнения невязок температуры почвы на каждой из глубин с критерием достоверности 0.2 °С. Если в результате контроля в профиле температуры почвы оказывается хотя бы одна невязка, превышающая по абсолютному значению критерий достоверности, выполняется поиск сомнительного значения температуры. В процессе этого поиска производится вычисление ашпроксимированного профиля температуры почвы. В случае когда удается обнаружить сомнительное значение температуры почвы в фактическом профиле, аппроксимированный профиль представляет собой восстановленный профиль температуры. Он позволяет восстановить пропущенное или забракованное значение температуры почвы на одной из глубин профиля с точностью 0.2 ос. Но окончательное решение о принятии восстановленного программой значения температуры остается за специалистом: программа только предлагает профиль или часть его /2/.

При выполнении анализа результатов автоматизированного контроля специалист определяет достоверность или сомнительность результатов наблюдений, пользуясь таблицами невязок, градиентов, восстановленных профилей и фактическим материалом наблюдений и, таким образом, располагает при анализе только числовым материалом, не имея наглядного.

В случае когда значение температури почви на какой-то глубине приходится браковать, предварительно необходимо убедиться в
правомерности восстановленного программой профиля температуры
почви. Это связано с тем, что в процессе поиска сомнительного
значения может быть исключено верное значение температуры, а по
оставшимся точкам оба профиля, фактический и вычисленный, окажутся совмещенными. Таким образом, требование алгоритма будет выполнено, но восстановленный профиль не будет правомерен.

Восстановленный профиль температуры почвы должен соответствовать характерному сезонному распределению температуры почвы с глубиной /I/, иначе он опибочен. Например, известно, что зимой температура почвы с увеличением глубины растет. Наблюдается так называемый тип излучения. И если при контроле информации наблюдений за январь получен восстановленный профиль со следующими значениями: -I2,3: -8,3: -7,9: -7,9: -8,2: -7,7: -6,5 ос. он не мо-

жет быть принят, поскольку не дает ожидаемого характерного для кололного периода года закономерного плавного роста температуры почви с глубиной. В приведенном примере нарушение в распределении температури с глубиной прослеживается явно на самих значениях температуры почвы и не требуется вычислять, например, градиенты для подтверждения ошибки. На практике же встречаются случаи, когда только по ходу температури почви обнаружить нарушение в распределении температуры почвы с глубиной специалист не может. Такой пример приведен в табл. І, в которой представлены профили температуры почвы на одной из станций в зимний месяц с 1981 по 1986 г. Из них профиль температуры почвы 1986 г. восстановленный. На первий взгляд он не визивает сомнения, поскольку является характерным для зимнего периода, хотя на самом деле неверен. Проверку пробиля можно провести на основании оценки хода градиентов температуры почвы. Правильно восстановленный профиль температуры почвы должен дать верный ход градиентов, в котором градиент каждого слоя согласуется по знаку и абсолютному значению с градиентами температуры почвы этого же слоя на станциях, расположенных н аналогичных условиях (с учетом высоты площадки над уровнем моря, рельеба. экспозиции склонов. состава почви и т.д.).

Примером согласованных градиентов температури почви может служить табл. 2, в которой приведены градиенти температури почви в летний месяц для группы станций, расположенных на равнине.

Сопоставление градиента температуры в каждом слое по группе станций-аналогов подобно сравнению наклона кривых распределения температуры почвы по глубинам на графиках. Не случайно поэтому при ручном контроле рекомендовалось наносить на один график кривые распределения температуры для группы станций.

В условиях пересеченного, сложного рельефа подобрать групцу сходных станций бывает трудно или вообще невозможно. В таких ситуациях оценить правильность градиентов восстановленного профиля температуры почвы можно на основании сравнения хода градиентов температуры почвы на станции для конкретного месяца за ряд предшествующих лет. В табл. 3 для примера приведены градиенты температуры почвы одной из станций в зимний месяц за ряд лет. Если сопоставить значения градиентов в каждом слое от года к году, видно, что в слое 20-40, 80-120, 120-160 см градиенты температуры почвы за 1986 г. отличаются на порядок от значений градиентов температуры почвы предшествующих лет. Градиенты принадлежат восстановленному профилю, приведенному в табл. 1, и именно сопоставление значений градиентов в этом примере позволяет установить, что вос-

Таблица I Ход температуры почвы на глубинах

Год	Глубина, см									
	20	40	80	120	I60	2,40	320			
I98I	-I5 , 8	-I4 , 0	-IO , 5	-6,4	-3,5	-0,5	-0,3			
I982	- I5,6	-I4 , 5	-II,0	-7,4	-4,6	-I , 2	-0,6			
I983	-I6 , 6	-I5 , 2	-II,2	-6,8	- 3,8	-0,4	-0,4			
I984	-I8,I	-I6 , 6	-I2 , 6	-8,4	-5,0	-0,9	-0,5			
I985	-15,8	-I4 , 7	-IO,7	-6,3	· –	_	-0,2			
I986	-I4,I	-II,7	-8,6	-6,4	-4,8	-2,I	-0,3			

Таблица 2 Значения градиентов температуры почвы (°C/20 см)

Номер	Слой, см							
станции	20–40	40-80	80-120	120-160	I60-240	240-320		
I	2,1	I , 6	I,I	0,9	0,4	***		
2	2,0	I,4	I,I		0,3	1		
3	2,0	I,3	I,2	0,8	0,4	0,I		
4	2,1	I,3	I,0	0,7	0,5	0,3		
5 .	2,3	I,6	I,0	0,6	0,3	_		
6	2,7	I,6	I,3	0,8	0,3	0 , I		
- 7	2,0	1,6	1,2	1,0	0,7	0,2		

становленный профиль температуры почвы неприемлем.

По сравнению с ручным критический автоматизированный контроль более объективен и строг. Строгость его существенно определяется заложенным в программу критерием достоверности 0,2 °C. Поскольку критерий достоверности мал, даже незначительно превышающие его по абсолютному значению невязки ставят под сомнение проконтролированный профиль, что приводит к вычислению восстановленного профиля температуры. С одной стороны, за счет малого значения критерия достоверности повышается эффективность контроля: он

Таблица 3 Значения градиентов температуры почвы (°C/20 см)

П	Слой, см							
Год	20-40	40-80	80-120	I20-I60	I60-240	240-320		
1981	-I , 2	-I , 6	-2,2	-I,7	- 0 , 5	0,0		
I982	-0,8	-0,8	-2,I	-I,7	-0, 8	0,0		
I983	-0,9	-2,0	-2,0	-I,5	-0,6	0,I		
I984	-0,6	_I,3	-2 , I	-I , 9	-0,7	0,0		
I985	-0,9	-I,8	-2 , I	-I,7	-0,7	alout.		
I986	-2,4	-I,6	-I,I	-0,3	-0,7	0,I		
•								

позволяет улавливать "зарождающиеся" систематические ошибки. С другой стороны, значения восстановленной температуры почвы в аппроксимированном профиле могут отличаться от значений температуры фактического профиля всего на 0,2-0,3 °С, поэтому принимать их нужно не всегда. даже если восстановленный профиль правомерен. Полробный анализ результатов автоматизированного контроля материалов наблюдений за ряд лет для различных географических районов позволил сформулировать ряд положений, которыми должен руководствоваться специалист как при оценке надежности результатов наблюдений, так и при восстановлении значений температуры почвы /2/. Так. фактическое значение температуры почвы на глубине не исправляется, если восстановленное значение температуры почвы отличается от фактического не более чем на 0.5 ос и ход градиентов температуры согласуется с холом гралиентов температуры почвы станцийаналогов. Невязки при этом могут превышать критерий достоверности в 2-3 раза.

Температура почви на глубине должна быть исправлена, если поправка, т.е. разность фактического и восстановленного значений температуры почвы превышает $0.5\,^{\circ}$ С и градиенты температуры почвы подтверждают ошибку. Вычисленные значения температуры почвы на соседних глубинах по отношению к рассматриваемой глубине отличаются в этом случае от фактических значений температуры обычно не больше чем на $0.2\,^{\circ}$ С.

Восстановление температуры не допускается, если на соседней, выше- или нижележащей глубине отсутствует фактическое значение

температуры почвы.

Автоматизированный контроль особенно эффективно позволяет восстанавливать значения температуры почвы в летний и зимний периоды года, когда сформирован устойчивый характерный для сезона профиль. Так, в Узгидромете в икне 1975 г. из 17 проконтролированных станций 10 отмечены программой в качестве сомнительных. Из них на 8 обнаружен брак, и значения температуры почвы на них могут быть восстановлены по аппроксимированным профилям; 2 станции дают сомнительную информацию, которая в последующие месяцы переходит в явный брак. Все отмеченные программой случаи брака подтверждени.

Из 52 проконтролированных станций Уралгидромета в икле 1983 г. на 13 станциях отмечен брак на отдельных глубинах в профилях температуры почвы, из них на 8 станциях температура может быть восстановлена по результатам контроля.

В переходние месяци года /I/ аппроксимированними профилями температуры почвы следует пользоваться осторожно, так как часто за ошибочное программой признается значение температуры почвы на той глубине, где происходит переход от одного типа распределения температуры почвы к другому /2/. В это время основную помощь специалисту при анализе материала оказывают градиенты температуры почвы.

В случае когда восстановить программным путем значение температуры почвы на заданной глубине не удается, можно воспользоваться линейным уравнением регрессии значений температуры почвы двух соседних уровней измерения

$$y = ax + b$$
.

Предиктором всегда можно считать значение температуры почвы нижележащего уровня из двух выбранных, предиктантом — температуру почвы верхнего уровня. Например, для уровней 20 и 40 см \mathscr{X} — всегда температура почвы на глубине 40 см, \mathscr{Y} — температура почвы на глубине 20 см. Для вычисления коэффициентов α , ℓ уравнения линейной регрессии требуется ряд наблюдений за конкретный месяц продолжительностью не менее I5-I7 лет и материал наблюдений хорошего качества.

В управлениях по гидрометеорологии отбор надежных данных можно произвести по графикам. Для этого рекомендуется на один график наносить профили температуры почвы за несколько лет, сравнивая ход и наклон кривых.

Можно провести анализ информации по градиентам, сопоставляя их значения от года к году, либо построив корреляционную зависимость значений средней месячной (максимальной или минимальной) температури почви двух соседних уровней измерения. С большей уверенностью можно отсеять сомнительние данние, получив корреляционный графики и вычислив градиенты либо графики корреляционной зависимости и профили температури почви.

Возможность использования уравнений линейной регрессии для восстановления температуры почвы на одной из глубин профиля была проверена на нескольких станциях Забайкалгидромета. Станции выбирались произвольно. Для вычислений использовалась информация наблюдений за 1970-1986 гг. для зимних и летних месяцев. Коэффициенты корреляции получились равными 0,67-0,88. Точность восстановления температуры почвы по уравнению регрессии колебалась от 0,2 до 0,5 °C на различных станциях. Средняя квадратическая ощибка составила 0,1-0,6 °C. Предварительные расчеты дали вполне приемлемые результаты, однако метод требует дополнительной проверки, особенно в переходные месяцы года и не только для станций Забайкальского региона, но также и для других климатических зон и географических условий.

Список литературы

- І. Беспалов Д.П., Грибова Т.П. Обанализе результатов критического контроля месячных выводов по температуре почви на глубинах // Труды ГТО. 1981. Вып. 449. С. 31—40.
- 2. Методические указания по проведению критического контроля результатов метеорологических наблюдений на сети станций. Л.: Тидрометеоиздат, 1981. С.9-IO, 28-29, 42-54.
- 3. Наставление гидрометеорологическим станциям и постам. Ч.2, вып.3. Л.: Гидрометеоиздат, 1969. С.85-91.
- 4. Наставление гидрометеорологическим станциям и постам. Ч.І, вып.3. — Л.: Гидрометеоиздат, 1985. — С.221—225.

О ВОЗМОЖНОСТИ ПОЛУЧЕНИЯ ОСРЕДНЕННЫХ ПО ПЛОШАДИ ВЕЛИЧИН ПРИ КОНТРОЛЕ РЕЖИМНОЙ МЕТЕОРОЛОГИЧЕСКОЙ ИНФОРМАПИИ

Несмотря на значительное количество исследований, носвященних вопросам пространственного сореднения метеорологических величин, не существует утвержденной методики расчета средних по площади административных районов, областей и союзных республик метеорологических величин для включения их в Справочник. Подавляющее большинство предложенных решений этой задачи требует наличия информации о статистической структуре и исходит из предположений, не всегда оправдывающихся на практике. Используется и большое количество приемов, по существу являющихся различными вариантами метода среднего взвешенного. Детальный анализ достоинств и недостатков различных подходов к осреднению метеорологических нолей дан в известной монографии Р.Л.Кагана /4/.

Основную трудность при сопоставлении оценок точности различных способов осреднения гидрометеорологических величин представляет отсутствие эталона.

Приведенные в /4/ формулы позволяют в принципе при задании характеристик статистической структури полей метеорологических величин определить точность среднего, полученного для любой области осреднения при произвольном расположении пунктов измерений. Однако при их практическом использовании мы сразу же сталкиваемся с тем обстоятельством, что такие оценки верны в той мере, в какой используемые для их получения характеристики статистической структуры отражают фактическую изменчивость в пространстве рассмятриваемых величив. Попытка детализации характеристик статистической структуры, как указывалось в /4/, неизбежно уменьшает объем исходных для расчета данных, а следовательно, достоверность (надежность) результатов.

Другой не менее важной проблемой при таком подходе является отсутствие достаточно обеспечених сведений о статистической структуре для многих регионов Советского Союза. Более того, мы нередко не располагаем и достаточным числом реализаций соответствующих величин во всех пунктах, по которым осуществляется осреднение.

По указанным причинам наиболее распространеным методом оценки точности пространственного осреднения является сопоставление средних значений, полученных по густой и произвольно разреженной сети пунктов наблюдений. При этом обично полагают, что результати наблюдений каждой станции могут бить распространены на некоторую окружающую территорию, тем большую, чем более климати—чески однородна окружающая территория в отношении рассматриваемой величини. Иначе говоря, на практике обично принимают, что среднее по площади значение метеорологической величини может бить заменено данными измерений в некоторой точке на рассматриваемой терри—тории. Так, в работе /3/ на основании фармализации представления о зоне, освещаемой наблюдениями в пунктах сети, расположенных в пределах области осреднения, показано, что оценка территориального среднего зависит главным образом от взаимного расположения пунктов и мало чувствительна к изменениям форм области осреднения.

Аналогичний результат получен и в работе /I/, где оценка средних для территории значений величин осуществлялась также без учета статистических карактеристик структуры полей. При выборе методики осреднения по площади на основании данных станцартных измерений, проводимых в условиях фиксированной, зачастую климатически неоднородной территории и заданного набора станций, приходится исходить не только из соображений точности способа осреднения, но в значительной мере и из возможностей его практического использования. Важным критерием при этом является удобство и эффективность реализации методики.

В указанном смысле определенных преимуществ перед другими методами осреднения можно добиться, если взять за основу для расчета осредненных значений методику пространственного контроля режимной метеорологической информации, более 10 лет выполняемого в оперативном порядке во всех РВЦ. В соответствии с /5/ при таком контроле поле контролируемой величини $\mathcal{U} = f(x, y)$ в окрестности каждой станции аппроксимируется полиномом первой степени от координат \mathcal{X} и \mathcal{Y}

$$u = f(x,y) = Ax + By + C.$$
 (1)

Как было показано в /I/, при линейной анпроксимации поля в окрестности станции по данным ее ближайшего окружения средняя по площади круга величина $\overline{\mathcal{U}}_{i}$ равна значению аппроксимирующего многочлена в его центре. Иначе говоря, для центра тяжести элементарной площадки S_{i} , имеющей форму круга или не слишком асимметричного многоугольника, справедливо соотношение

$$\bar{u}_i = \mathcal{C}$$
 (2)

В связи с тем что порядок системы, которую приходится ремать для каждой элементарной площадки S_i , невысок, среднее значение полинома u_s для территории S, состоящей из элементарных площадок s_i , может быть определено по формуле

$$\overline{\mathcal{U}}_{S} = \frac{1}{S} \sum_{i=1}^{n} S_{i} \overline{\mathcal{U}}_{i}$$
 (3)

Весовне множители p_i для каждой элементарной площадки s_i могут бить вибрани пропорциональними ее площади, т.е. определяются виражением

$$P_i = S_i / S \tag{4}$$

В результате формула (3) приобретает вид

$$\bar{u}_{s} = \sum_{i=1}^{n} \rho_{i} u_{i} \quad . \tag{5}$$

Если при этом выполнить условие нормировки весов, т.е. потребовать, чтобы

$$\sum_{i=1}^{n} p_i = 1 \quad , \tag{6}$$

можно уменьшить относительную погрешность определения средней за счет некоторой взаимной компенсации погрешностей определения весов. Для рассматриваемой задачи это обстоятельство имеет немаловажное значение, так как приходится вычислять средние значения и для контуров сложной формы, какими являются территории административных районов.

Чтобы определить наиболее рациональный способ оценки средних значений $\overline{\mathcal{U}}$ по каждой элементарной площадке S_{i} (многоугольни-ку), на которые разбивается контур S, а также среднего значения $\overline{\mathcal{U}}_{S}$ по всему контуру S, был выполнен ряд расчетов указанных величин при различном выборе опорных станций для аппроксимации поля.

С этой целью на территории ЕССР онло выбрано девять многоугольников таким образом, чтосы центр тяжести каждого из них по возможности совпал с центром окружности, проходящей через выбранные опорные станции контура S (рис. I). Как следует из /I/. при

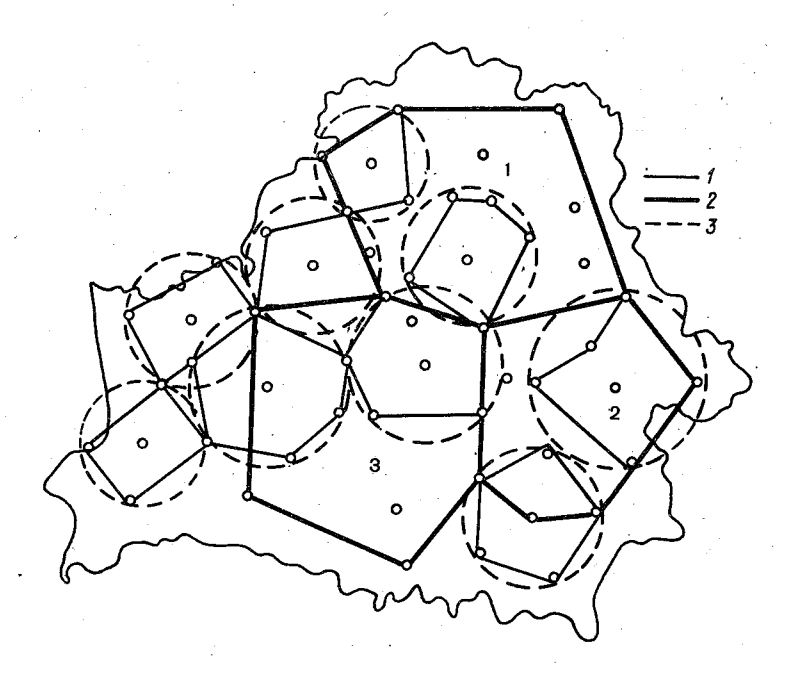


Рис. I. Схема расположения многоугольников для оценки точности осреднения на территории БССР.

I – многоугольники, вписанные в окружности; 2 – большие многоугольники; 3 – окружности, центром которых являются контролируемые станции.

соблюдении указанного условия погрешность получения среднего по площади значения для каждого такого многоугольника определяется точностью, с которой интерполированное значение в центре его тяжести характеризует наблюденное в этой точке значение. Это обстоятельство позволяет осуществить оценку ошибок осреднения применительно к многоугольникам, представленным на рис. 1. Результати ее, выполненные по данным за 36 месяцев, приводятся в табл. 1.

Сопоставление полученных оценой с приведенными в /4/ указивает на их хорошее согласование. Они также подтверждают тот известный факт, что зависимость оценок ореднего для элементарных площадок небольших размеров от их форми (в рассматриваемом случае для окружности и многоугольника) является слабой.

Для оценки погрешностей, которые может дать предлагаемая ме-

Таблица I Средние квадратические ошибки определения средней температуры и среднего слоя осадков (ECCP)

Средние значения	Температура, ^О С	Осадки, мм
Декадине	0,2	8,3
Месячные	0,1	7,3

Таблица 2

Средние квадратические ошибки определения средней температуры и среднего слоя осадков

Номер многоугольника	Число пунктов	Температура, ОС	Осадки, мм
	Б е .	лидромет	
I	18	0,1	2,5
2	13	0,1	I,9
3	15	0,1	5,7
	Sadai	ікалгидромет	
I	50	0,3	7,9
2	38	0,1	5,7

тодика осреднения при определении среднего по контуру S, включающему n элементарных площадок, воспользуемся, как это обично принято делать, в качестве "эталона" средним арифметическим из значений, наблюденных на всех станциях, входящих в контур осреднения S. Отклонение от этого эталона среднего значения, полученного по некоторому меньшему числу станций, будем условно считать ошибкой осреднения.

Иначе говоря, будем характеризовать точность осреднения дисперсией ошибок, полученных при различных вариантах разрежения сети станций. Критерием целесообразности осреднения предлагаемым методом условимся считать его точность, оцениваемую дисперсией ошибки. С этой целью выберем на территории Белгидромета три больших многоугольника так, чтобы их вершины совпали со станциями основной сети, а сторони соприкасались. Для каждого из них оценим средние предлагаемым методом по данным в вершинах выбранных мно-гоугольников (I, 2 и 3 на рис.I), что равносильно разрежению сети приблизительно в 3 раза.

Как следует из табл. 2, где приведены оценки осреднения по такой "разреженной" сети, предложенная методика обеспечивает необходимую точность получения средних.

Аналогичные результати для Забайкалгидромета, где осреднение производилось по двум многоугольникам значительно большей площади (табл.2), также подтверждают возможность получения необходимых для включения в ежемесячник средних по площади значений температури и слоя осадков.

Поскольку нашей задачей является наиболее точное определение средней величини, целесообразно разделение контура на элементарные площадки производить таким образом, чтобы все станции сети оказались опорными для аппроксимации с помощью полинома (I), а элементарные площадки S; не перекрывали друг друга.

Исходя из этого соображения и учитывая полученные результать, весь контур S, соответствующий территории БССР, был разбит на ряд неперекрывающихся многоугольников таким образом, чтобы станции УГКС располагались только в вершинах последних. Таких многоугольников оказалось 29 (рис.2).

В отличие от метода квадратов, широко используемого в практике осреднения, такой способ разбиения площади осреднения на элементарные площадки можно считать практически однозначным при любой густоте сети. Для стабильной сети указанная выше процедура выполняется один раз, равно как и определение координат центра тяжести выделенных элементарных площадок S_i , а также определение весовых множителей.

Все последующие расчеты ЭВМ производит в рамках программы /5/, в соответствии с которой осуществляется интерполяция значений на центр тяжести каждой элементарной площадки (многоугольника). Эти значения причимаются за частное среднее $\overline{\mathcal{U}}_{\xi}$ по соответствующей элементарной площадке S_{ξ} и с заранее определенным весом p_{ξ} используются при последующем арифметическом осреднении для получения средней $\overline{\mathcal{U}}_{\xi}$ по всей рассматриваемой территории.

Такой способ осреднения позволяет учесть горизонтальный градиент поля рассматриваемой величинь, который имеет место даже для такой сравнительно однородной территории, как БССР.

Таким образом, предлагаемый метод представляет собой один из вариантов метода полигонов с той разницей, что за элементарную



Рис. 2. Схема разбиения территории ЕССР для получения оредних по площади величин.

площадку (элемент осреднения) выбрана не окрестность пункта наблюдения, а площадь многоугольника, образованная 4-6 соседними пунктами наблюдений. Расчет среднего значения для центра тяжести каждой такой элементарной площадки сводится к интегрированию полинома /4/, коэффициенты которого определяются методом наименьших квадратов по значениям рассматриваемой величины в вершинах много-угольника. Последующее арифметическое осреднение частных средних дает среднее по территории.

Немаловажным достоинством предлагаемого метода является тот факт, что полиномы малых порядков практически нечувствительны к опискам в исходных данных.

Предлагаемый метод является в настоящее время и наиболее экономичным, так как средние по площади величины могут быть получены в процессе выполнения контроля режимной метеорологической информации. При этом если учитывать еще и зависимость осредняемых величин от местных условий, т.е. осреднять не непосредственно нач

блюденные величины, а их отклонения от нормы, можно ожидать, что точность осреднения будет выше приведенных в настоящей работе оценок.

Список литературы

- І. Беспалов Д.П., Грибова Т.П., Светлова Т.П. Методика получения характеристик полей средних месячных значений основных метеорологических элементов // Труды ITO. — 1972. — Вып. 280. — С. 39-46.
- 2. Голубев В.С., Зотимов Н.В., Зиков Н.А., Некоторые результати исследования жидких осадков в районе Валдайской возвышенности // Труды ITN. 1965. Вып. 123. С.5—17.
- 3. Гусев С.А., Медведев М.Ю., Румян цев В.А. О выборе рациональных схем размещения сети при пространственном осреднении гидрометеорологических полей // Метеорология и гидрология. — 1982. — № 7. — С.51-57.
- 4. Каган Р.Л. Осреднение метеорологических полей. Л.: Гидрометеоиздат, 1979. 214 с.
- 5. Методические указания по проведению критического контролярезультатов метеорологических наблюдений на сети станций. Л.: Гидрометеоиздат, 1981.

И.В.Колотовкин, В.В.Осипова, Е.А.Федорова

АВТОМАТИЗИРОВАННАЯ ОБРАБОТКА ДАННЫХ РАЦИОМЕТЕОРОЛОГИЧЕСКИХ СТАНЦИЙ М-107

Информация автоматических радиометеорологических станций (AFMC) М-IO7, работажщих в труднодоступных и малообжитых районах СССР, при использовании ее с данными сети обычных наземных метеорологических станций является ценным дополнительным материалом для получения характеристик метеорологического режима.

В настоящее время совместное использование данных АРМС и обычных станций в значительной степени затруднено, так как обработка обычной метеорологической информации производится с помощью
ЭВМ в региональных вычислительных центрах (РЕЦ), а информация
АРМС до сих пор обрабатывается в отделах метеорологии территориальных ГМЦ вручную /І, З/. Ручной способ обработки информации изза его низкой производительности приводит к тому, что месячные
выводы по измерениям АРМС, как правило, не могут быть своевременно опубликованы в метеорологических ежемесячниках вместе с данными обычных станций.

Повысить эффективность использования информации АРМС можно. если для ее обработки воспользоваться комплексом программ, разработанных для системы режимной обработки данных обычных станций, включив данные АРМС в общий поток информации. Однако использование существующего комплекса программ осложняется тем, что для информации АРМС характерно большее число пропущенных данных (пропусков измерения), чем допускается программами для обработки информации обычных станций. Кроме того, первичная информация АРМС представляет собой закодированные радиограммы и для обработки на ЭВМ ее необходимо преобразовать в физические единицы измерения. т.е. сделать аналогичной информации обычных станций. Эти особенности информации АРМС, а также небольшой ее объем по сравнению с информацией обычных станций (радиограмма АРМС за один срок содержит менее 5 % соответствующей информации обычной станции) позволили сделать вывод о необходимости разработки специальных программ, что было осуществлено в Новосибирском РВЦ пля ЭВМ системы EC.

В разработанном комплексе программ предусмотрено преобразование первичных данных, содержащихся в радиограммах АРМС, к виду, удобному для режимной обработки и получения месячных таблиц, ко-

торые содержат данные измерений АРМС за каждый срок, а также средние суточные и месячные значения метеорологических характеристик. При вычислении суточных и месячных значений метеорологических величин применяется в основном методика обработки данных обнуных наземных станций, что весьма важно для получения сопоставимых характеристик /4/. Однако наличие большого числа пропусков в данных АРМС из-за непредвиденных перерывов различной продолжительности в работе станции, а также из-за трудностей приема радиограмм вызвало необходимость уточнения методики обработки /5/.

На основании исследования зависимости точности средних метеорологических характеристик от временной их изменчивости были определены требования к необходимому числу наблюдений за различные периоды осреднения /2/. В соответствии с этими требованиями средние суточные значения температуры воздуха, скорости ветра и атмосферного давления внчисляются по значениям за все 8 сроков в течение суток, а при наличии пропусков в течение суток — за 4 срока при интервале между сроками 6 ч. В случае когда в течение суток пропущено 2 срока подряд и интервал между полученными значениями больше 6 ч, средние суточные значения не вычисляются. Количество осадков и экстремальные значения метеорологических величин при пропусках наблюдений вообще не вычисляются.

Для оценки качества, точности и сопоставимости с данными обычных станций данные АРМС должны быть тщательно проконтролированы. Однако методы пространственного контроля, разработанные применительно к информации обычных станций, малоэффективны для контроля большинства метеорологических величин (температура воздуха, количество осадков, характеристики ветра) из-за большого удаления АРМС от других станций, а также из-за особенностей их физико-географического положения.

Для контроля атмосферного давления можно было бы подобрать "влияющие" станции, расположение на расстоянии до 200 км, однако осуществление контроля невозможно, так как для большинства АРМС отсутствуют сведения о высоте над уровнем моря. Невозможен и контроль данных АРМС с помощью уравнений стязи по соседним станциям из—за недостаточности ряда наблюдений АРМС. В связи с этим на данном этапе для оценки качества данных АРМС пришлось ограничиться использованием внутристанционного контроля, при котором выявляются только грубне ошибки измерения в условиях необслуживаемой автоматической станции, а также случайные ошибки, допущенные радистом при приеме радиограмм.

При разработке алгоритмов внутристанционного контроля данных

Таблица I Предельние значения температури воздуха (^OC) для территории Мурманскічдромета и Северічдромета

Температура					Месят	Į				
воздуха	Ι, Π,	ш шх	ÏУ	У	λI	УΠ	УШ	ΙX	X	XI
Максимальная Т _{тах}	10	20	30	35	40	40	40	35	25	25
Минимальная Т _{тіп}	 60°	– 55	-4 5	- 35	- 20	- I5	-10	-20	-4 0	-4 0
Суточная амп- литуда А _т	15	20	20	20	I 5	20	. 20	I 5	IO	IO
Изменение за З ч _А Т	7	IO	IO	ΙΌ	. 7	7	7	5	5	7

АРМС били уточнени предельные значения климатологических характеристик. По данным обычных станций, расположенных в районах, где установлены АРМС, получены максимальные и минимальные значения за сутки, значения суточной амплитуды и изменения за 3 ч температуры воздуха (табл. I).

В процессе автоматизированного контроля значения метеорологических величин за каждый срок измерений сравниваются с предельными климатологическими значениями данной величины, записанными в паспорте АРМС, и сопоставляются между собой в соответствии с принятыми условиями (адгоритмами).

Значение температуры воздуха за контролируемый срок (Ті) считается верным, если выполняются следущие условия:

I.
$$T_i$$
 $-T_{min} \ge 0$, 2. $T_{max} - T_i$ ≥ 0 , 3. T_i $-T_{i-1} \le \Delta T$, 4. T_i $-T_y$ $\le A_T$, 5. T_x $-T_i$ $\le A_T$, 6. T_x $-T_y$ $\le A_T$.

Обозначения, принятые в формулах, соответствуют обозначениям в табл. I; T_x (T_y) — максимальная (минимальная) температура воздуха за конкретные сутки из 8 сроков измерения.

Если указанные выше условия не соблюдаются, то контролируе-

мое значение требует дополнительного анализа ("видается на сомнение").

Как показал опит, наиболее распространенной ошибкой в информации АРМС является повторение одинаковых значений в нескольких сводках (радиограммах) подряд, что связано с техническим несовершенством датчиков станции.

Для выявления этих ошибок значения за контролируемый срок сопоставляются со значениями в соседние сроки измерения; при равенстве значений в три срока подряд (контролируемый, предыдущий и последующий или контролируемый и два последующих) контролируемое значение "выдается на сомнение". Алгоритмы для проверки этого условия для температуры воздуха имеют вид:

если
$$T_{i} = T_{i-1} = T_{i+1}$$
, то T_{i} — брак; если $T_{i} = T_{i-1} = T_{i-2}$, то T_{i} — брак.

Аналогичные алгоритми приняты для контроля значений и других метеорологических величин.

Для скорости ветра в качестве максимального предельно возможного значения принят предел измерения скорости ветра датчиком (40 м/с), а для направления ветра — реально возможние значения направления от 0 до 360° .

Значение, не удовлетворяющее условиям, указанным в алгоритмах, признается сомнительным и печатается в таблице "Логические ошибки АРМС" с указанием даты, срока измерения и номера алгоритма, по которому выдается ошибка. Кроме того, для удобства дальнейшего анализа в таблице печатаются сомнительное контролируемое значение и значения, с которыми контролируемое сравнивается в соответствии с алгоритмом.

Окончательное решение о достоверности может быть принято специалистом только после дополнительного анализа с привлечением данных ближайших станций.

В табл. 2 приведени результати контроля температуры воздуха по АРМС Лавка Камчатскгидромета за июль 1983 г., полученные в Новосибирском РВЦ.

При контроле данных APMC Лавка использовались следующие постоянные характеристики:

 $\Delta T = \overline{15} \, {}^{\circ}C, A_{T} = \overline{15} \, {}^{\circ}C, \Delta^{P} = \overline{15} \, {}^{\circ}\text{IIa.}$

Дополнительный анализ суточного хода температуры воздуха за 17 июля позволил признать неверными значения 8,1 $^{\rm O}$ C за срок 18 ч и 14,6 $^{\rm O}$ C за срок 3 ч. Резкие колебания температуры, большие чем среднеклиматические значения (Δ \top и $A_{\rm T}$), не подтверждаются данными бликайших станций и синоптической обстановкой в этом

Таблица 2 Логические описки АРМС Лавка. 17 июля

Canore II	A STRONGER TO THE OWN	Значение метеоро	погической величи
Срок, ч	Алгоритм контроля	контролируемое	омеккавтопо
		Темпера	тура воздуха
18	T _X - T _i < A _T	8,1	25,6
2I	Ti - Ti-1 < DT	20 , I	8,1
00	Ti - Ty € A _T	25,6	8,1
I2	$T_x - T_y \in A_T$	25,6	8,1
03	Ti - Ti-1 € AT	I4,6	25,6
06	Ti - Ti-1 & DT	25 , I	I4, 6
09	T _i - T _y € A _T	23 , I	8,1

районе за данные сутки.

Все измеренные значения АРМС в течение месяца, а также месячные выводы выдаются ЭВМ в виде таблицы ТММ—АР "Метеорологи—ческие наблюдения АРМС". При этом для получения суточных и месячных выводов используются все имеющиеся срочные значения, в том числе выданные на сомнение и забракованные в дальнейшем. При большом количестве забракованных значений месячные и суточные выводы следует вычислять заново.

Это, безусловно, является недостатком настоящего комплекса программ обработки данных АРМС. Авторы умышленно остановились на такой схеме контроля и обработки до усовершенствования алгоритмов контроля и уточнения критериев контроля, принятых в настоящем комплексе на основании наблюдений обычных станций, физико-географические условия которых в ряде случаев значительно отличаются от условий АРМС.

Испытание комплекса программ автоматизированной обрасотки информации АРМС било проведено на материале сети АРМС Камчатск-гидромета. Опитная эксплуатация комплекса программ в течение 1983—1984 гг. позволяет сделать следующие выволи.

Переход к автоматизированной обработке данных APMC обеспечивает бистрое и качеотвенное получение табличного материала (таблица ТММ-AP) с результатами измерений и логического контроля, что позволяет использовать проверенные данные измерений APMC для

обобщения в информационно-справочных изданиях, для накоплеция на долговременных технических носителях и для последующего включения в Гидрометфонд СССР.

Устранение отдельных недостатков и дальнейшее совершенствование методов машинного контроля станет возможным лишь после внедрения комплекса программ обработки на всей сети АРМС и получения достаточного материала для разработки более детальных рекомендаций по проведению анализа результатов контроля.

Список литературы

- I. Временные методические указания по обработке наблюдений автоматических радиометеорологических станций. Обнинск, 1974. 20 с.
- 2. Грошева Л.А., Федорова Е.А. О вычислении средних месячных значений метеорологических элементов при пропусках наблюдений // Труды ГТО. 1983. Вып. 473. С.53-58.
- 3. Методические указания по машинной обработке и контролю данных гидрометеорологических наблюдений. Ч.І, вып.3, разд.І.— М.: Гидрометеоиздат, 1983.— 79 с.
- 4. Наставление гидрометеорологическим станциям и постам. Ч.2. вып.3. Л.: Гидрометеоиздат, 1969.
- 5. Φ е д о р о в а Е.А. Особенности обработки данных автоматических радиометеорологических станций АРМС М-IO7 // Труды ГГО. I986. Вып.493. C.49—55.

СОПОСТАВЛЕНИЕ МЕТОДОВ ПРИВЕДЕНИЯ АТМОСФЕРНОГО ДАВЛЕНИЯ, ПРИМЕНЯЕМЫХ В МЕЖЛУНАРОЛНОЙ ОПЕРАТИВНОЙ ПРАКТИКЕ

В последние десятилетия отмечалась значительная интенсиомкация международного обмена оперативной гидрометеорологической информацией. Значительно возрос объем данных, поступающих в национальные и региональные центры обрасотки. Сбор информации производится с обширных территорий, которые зачастую превосходят по площали не только отдельные государства, но и целые материки. Международный код для передачи оперативной гидрометеорологической информации /I/ предусматривает передачу двух групп данных по атмосферному давлению (р). Первая из них (третья группа кода) содержит сведения о давлении на уровне станции (р.), вторая (четвертая группа кода) представляет либо давление на уровне моря (р.), либо висоту соответствующей изобарической поверхности. Третья Группа не передается при наличии информации в четвертой группе. Следует отметить, что для современных прогностических схем давление на уровне моря не входит в число обязательных исходних данных.

При расчете висот изобарических поверхностей для больших регионов, производимом по полям ро, могут возникнуть рассогласования на границах государств в связи с тем, что значения ро получены в разных странах по различным методикам приведения давления к уровню моря. В случае изменения существующей практики и перехода к преимущественному сбору информации о давлении на станциях проблема сопоставимости методов приведения атмосферного давления сохранит свою актуальность, так как процедура приведения р к тому или иному уровню либо определение высот изобарических поверхностей используется практически во всех прогностических схемах. В связи с этим остается откритым вопрос о возможных расхождениях в значениях приведенного давления, обусловленных различиями в методах приведения р.

Сведения о методах такого рода, применяемых в различных странах, представлены в обзоре /4/, подготовленном ВМО и являющемся, согласно действующему Руководству ВМО по метеорологическим приборам и методам наблюдений /3/, наиболее полным обобщением методов приведения атмосферного давления, применяемых в международной практике.

Рассмотрим основные разновидности барометрической формулы,

на которых базируются различные методы приведения давления. Основное внимание при этом уделим предположениям и допущениям, принимаемым при выводе выражений, используемых на практике.

Исходным соотношением для получения всех без исключения формул, представленных в обзоре /4/, является уравнение статики атмосферы

$$\partial p/\partial z = -pg , \qquad (1)$$

где р — атмосферное давление, р — плотность воздуха, д — ускорение свободного падения. Интегрирование уравнения (I) для случая влажной атмосферы приводит к следующему соотношению между давлением $p_{\rm c}$ на уровне z и давлением $p_{\rm c}$ на уровне z, принятом за начало отсчета z:

$$\ln \frac{p_c}{P} = \frac{1}{R_a} \int_{z_b}^{z} \frac{g(z)dz}{T_v(z)} , \qquad (2)$$

где R_u — газовая постоянная сухого воздуха, T_v — виртуальная температура, $T_v = T$ (I + 0,378 $\frac{e}{\rho}$), e — парпиальное давление воляного пара.

Для практического применения соотношения (2) делается ряд упрощающих предположений относительно вида зависимостей g (z), T(z) и e(z) в пределах столба атмосферы (фиктивного или реального), для которого осуществляется приведение p. Именно видом принятых допущений определяются различия в значениях приведенного давления.

Использование предположения: g = const, $T_{v}(Z) = T_{v}(Z_{c}) - (Z - Z_{o})$ — такой подход к упрощению соотношения (2) принят в СССР /2/ и Венгрии — позволяет получить следующую формулу привецения:

$$\frac{p_{\alpha}}{p} = \left[1 + \frac{\gamma(z - \chi_{\nu})}{T_{\nu}(z)}\right]^{\frac{2}{3}R_{\alpha}}$$
(3)

Второй подход к модификации формулы (2) рассмотрим на примере соотношения для связи ρ с ρ_0 , основанного на введении понятия средней температуры слоя $[z,z_0]$ и приближенной замене интеграла в правой части (2) произведением

$$\int_{z_0}^{z} \frac{g(z)dz}{T_v(z)} \simeq \frac{g_0}{T_m} \int_{z_0}^{z} \left[1 - \frac{2(z-z_0)}{R}\right] dz . \tag{4}$$

при этом принимаетоя

$$T_{m} = [T(z_{o}) + T(z)]/2 ,$$

$$g = g_{o}R^{2}/[R^{2} + (z-z_{o})^{2}] \approx g_{o}[1 - 2(z-z_{o})/R] ,$$

где R — радмус Земли. Поправка на влажность вводится непосредственно в расчетное значение T_m . В некоторых странах для этого используется величина ℓ на уровне измерения давления ($\ell_{\rm S}$), в большинстве же стран, применяющих рассмотренную процедуру упрощения формули приведения ρ , пользуются априорно заданными зависимостями ℓ (∞).

Перейдя к десятичным логариймам, выразив T_m в градусах Цельсия: $T_m = t_m + 273$, 16 и выполнив интегрирование в правой части (4), можно получить окончательный вид формулы приведения:

применяемой в таком виде во Франции, Алжире, Камбодже, Эфиопии, Лаосе, Марокко, Судане, Таиланде, Тунисе, Вьетнаме, Кении, Танзании, Уганде. Следует отметить, что хотя в формуле (5) под T_{m} понимают среднюю температуру слоя $[z_{o}, z]$, при внводе (5) предполагалось лишь, что T_{m} лежит в промежутке $[T(z_{o}), T(z)]$. Указанное обстоятельство является дополнительным свидетельством приближенного характера соотношений (4) и (5). Поскольку значение T(z), используемое для расчета T_{m} , в подавляющем большинстве случаев неизвестно, его получают, исходя из предположения о линейном падении T(z) с висотой, причем значения грациента T(z) принимаются различными в разных странах. Чаще всего используются следующие значения: 0,005; 0,006; 0,0065; 0,01 К/м.

К третьему типу наиболее распространенных формул приведения давления следует отнести родственное (5) соотношение, базирующееся на переходе от шкалы геометрических высот к значениям гипсометрической высоты :

$$H - H_0 = \frac{1}{9c} \int_{z_0}^{z} g(z) dz , \qquad (6)$$

Используя шкалу H, а также принимая допущения, аналогичные допущениям, рассмотренным при выводе формулы (5), приходим к следующей формуле приведения ρ :

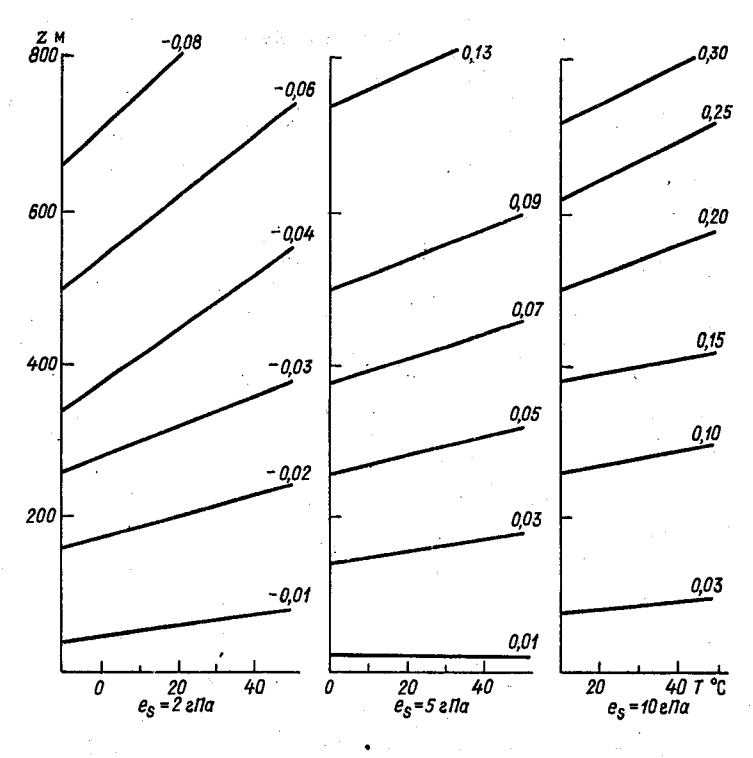
$$lg(p_0/p) = kH/T_m , \qquad (7)$$

в которой k — так называемая гипсометрическая постоянная, являющаяся комбинацией известных констант. В таком виде формула приведения рекомендована ВМО для использования в международной оперативной практике. При расчете m предлагается задавать k = 0,0065 k/м, а поправку на влажность вводить в соответствии с затабулированной зависимостью e(k), приведенной в обзоре k. Но даже при наличии рекомендованного, строго определенного вида формулы приведения, в разных странах, применяющих соотношение (7), имеются различия в трактовке особенностей его практического использования. Так, в ряде стран (СПА, Сирия, Швеция, Бразилия, Сальвадор, Доминиканская Республика, Конго, Иордания) при расчете температурного профиля учитываются суточный ход и локальные особенности поля температуры в данной местности. Значение температуры воздуха на станции заменяется комбинацией

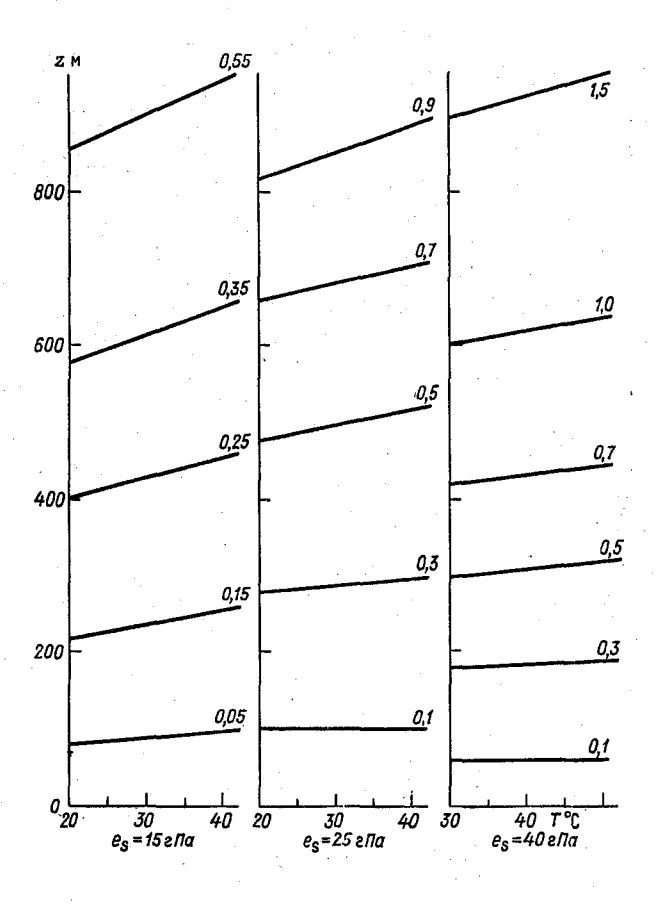
$$T = \frac{T_s + T_{12}}{2} + F(T)$$
,

где T_S — температура воздуха на станции в срок наблюдений; T_{12} — температура воздуха в срок, на 12 ч предшествующий рассматриваемому; Γ (T) — некоторая функция, подбираемая, исходя из местных условий. Таким образом, при значительном суточном ходе T_S на станции в значения приведенного ρ вносится некоторая поправка, значение которой в общем случае определить невозможно из—за не—определенности задания функции Γ (T).

С целью оценки различий, возникающих в значениях ρ_c при использовании рассмотренных выше формул приведения, нами были выполнены расчеты разностей поправок к давлению: $\delta \rho = \Delta \rho_i - \Delta \rho_k$, где i, k=1, k=1,



Изолинии δ_p при разных значениях e_s



Изолинии δ_{p} при разных значениях ℓ_{s} .

ь. которые необходимо добавить к измеренному на уровне 2 давлению. чтобы получить значения давления на уровне $z_0 = 0$. Значения Т_с изменялись от -40 до +40 °C, парциального давления водяного пара - от 2 до 45 гПа. Величины / поинимались равными: 0.005: 0.006: 0.0065: 0.0I K/m.

Как и следовало ожидать, вследствие структурного сходства формул (5) и (7), при одинаковых значениях Т (без учета суточного хола и вила функции Г). С. У и 7 разница в поправках. полученных по формулам (5) и (7), весьма незначительна и для рассмотренных диапазонов изменений определяющих параметров не превосходит 0.3 гПа.

Разности др между поправками, полученными по формулам (7) и (3), могут достигать обльших значений. Наглядное представление о том, как значения этих разностей меняются с ростом e_{ϵ} , можно получить из распределений δp (e_s , T_s , z), приведенных на рисунке. В этих расчетах значение было принято $\chi = 0.0065$ К/м. b = 1000 гПа. Наибольшие относительные изменения $\delta \rho$ наблюдаются при малых значениях e_s , с ростом e_s разности δ_D увеличивартся, а степень их зависимости от значений Т, уменьшается. При малых e_s разности $\delta \rho$ отрицательны, однако уже при $e_s = 5$ rNa они меняют знак, и дальнейший рост бр происходит в положительной области, достигая при больших χ и ℓ_s значений I-2 гПа.

Давление на станции, как следует из рассмотренных выше формул приведения (3), (5), (7), сказывается на значениях поправок Др двояко. Во-первых, значение р входит в окончательное значение поправки Др в виде множителя: во-вторых, от величины р зависит поправка к температуре на влажность. Действие второго из указанных факторов невелико ввиду малости отношения $e_{\rm s}/\wp$.

Разности между поправками, полученными по одинаковым формулам с разными значениями входных параметров находятся, как показали расчети, в пределах 0,5 гПа. Такого уровня могут, в частности, достигать расхождения в поправках, обусловленные различиями в задании функции F (таблицы значений F (Т) для некоторых стран привелены в обзоре /4/). Расхождения, возникающие за счет различной точности округления констант, входящих в формулы, достигают значений примерно 0,3 rПа. Влияние выбора того или иного значения градиента χ сказывается только на больших χ . Из вида всех рассмотренных формул приведения следует, что вариации У в пределах 0.005-0.01 К/м эквивалентны изменениям Т порядка единиц градусов и менее. Выполненные нами оценки зависимости Δp (T_s) для каждой формулы приведения показали, что расхождения в величинах

 $\Delta \rho$, вызванные такими изменениями $T_{\rm S}$, не превосходят сотых долей гектопаскаля лаже или больших 2 .

Обобщенный анализ полученных нами результатов позволяет утверждать, что при использовании различных формул приведения давления к заданному уровню, применяемых в международной оперативной практике, значение максимально возможных расхождений в Δ при высоте приведения менее 1000 м превосходит 2-2,5 гПа. В условиях умеренных широт, при небольшой влажности и невысокой температуре воздуха расхождения составляют около I гПа.

Список литературы

- I. Код для передачи данных гидрометеорологических наблюдений с наземных и морских наблюдательных станций КН-0I. Л.: Гидрометеоиздат, 198I. 72 с.
- 2. Методические указания по приведению атмосферного давления к уровню моря и вичислению висот изобарических поверхностей на метеорологических станциях. Л.: Гидрометеоиздат, 1979. 48 с.
- 3. Guide to meteorological instruments and methods of observation. Fifth edition, WMO. 1983. N 8.
- 4. Methods on use for the reduction of atmospheric pressure. WMO, Teohn. Note. 1968. N 91. 22 p.

Б.М.Ильин, Е.Е.Федорович, Е.Н. Чурина

ОПЫТ ИСПОЛЬЗОВАНИЯ СПЛАЙН—ФУНКЦИЙ ДЛЯ РАСЧЕТА КЛИМАТИЧЕСКИХ ХАРАКТЕРИСТИК СУММАРНОЙ РАДИАЦИИ ПО ДАННЫМ СРОЧНЫХ АКТИНОМЕТРИЧЕСКИХ НАБЛЮДЕНИЙ

Задача эмпирико-статистического исследования современного климата, являющаяся составной частью более широкой проблемы климатического мониторинга /2/, требует разработки новых методов систематизации и анализа информации о состоянии климатической системы. Качество этой информации во многом зависит от рационального построения и технического оснащения поставляющих ее наблодательных систем. Уровень развития средств обработки данных наблюдений. достигнутый к настоящему времени, позволяет в ряде сдучаев компенсировать имеющиеся недостатки наблюдательных систем путем комплексирования различных видов информации, совершенствования схем обработки и применения математических моделей для решения задач усвоения информационных полей. Такого рода компенсация является необходимой, например, в тех случаях, когда требуется привлечь для климатологического обобщения данные наблюдений за прошлье годы и десятилетия — именно такой пиапазон временных масшта бов представляет интерес для задач мониторинга климата /2. 3/. Это связано с тем, что системы наблюдений на протяжении указанных интервалов времени перестраиваются: изменяется состав данных наблюдений, их сроки, единицы измерений, размещение и приборное оснашение станций.

Подобную перестройку можно проследить на примере сети станций, ведущих актинометрические наблюдения. Большинство этих станций со времени организационного оформления актинометрической сети (1952—1957 гг.) осуществляют срочные (6 сроков) измерения составляющих радиационного баланса. Помимо этих наблюдений на ограниченном (и переменном) числе станций проводилась и проводится непрерывная регистрация всех или части составляющих радиационного баланса с помощью самопишущих приборов различных типов. Данные регистрации представляют особую ценность для климатологических обобщений ввиду возможности получения на их основе с большой точностью характеристик суточного хода, а также суточных, месячных и годовых сумм составляющих радиационного баланса. Знание этих карактеристик требуется для решения ряда прикладных задач, в частности для обоснования размещения гелиоэнергетических установок

/5, 6/. Данные срочных наблюдений, являющиеся эпизодическими по своей сути, можно использовать для расчета указанных климатических характеристик составляющих радиационного баланса лишь при условии разработки специальных методов восстановления их суточного хода /8, 9/.

Одной из важнейших составляющих радиационного баланса явля— ется суммарная радиация Q. На ее примере кратко рассмотрим основные методы восстановления суточного хода радиационных характеристик.

Первым в историческом плане методом восстановления суточного хода Q была его аппроксимация ломаной линией с последующим расчетом сумм радиации методом транеций /9/. Развитием этого подхода можно считать методику, предусматривающую графическое соединение ординат точек наблюдения в суточном ходе плавной кривой, определение значений Q в серединах часовых интервалов и расчет интегральных характеристик умножением полученных значений на длину часового интервала с последующим суммированием. Параллельно с разработкой упомянутых методов проводились исследования сопоставимости климатических характеристик Q, рассчитанных по данным срочных наблюдений и данным регистрирующих приборов, для разных широтных зон и условий облачности. В результате этих исследований были получени таблицы поправочных коэффициентов для уточнения сумм радиации, рассчитанных по данным срочных наблюдений /8/.

Рассмотренные методы позволили значительно пополнить сведения о климатических характеристиках солнечной рациации на территории СССР. При расчете сумм (или осреднении) Q за большие промежутки времени (год и более) восстановленные по данным срочных наблюдений распределения значений Q в суточном коде отличались от рассчитанных по данным регистрации не более чем на 3-5 % /8/. Однако уже при получении на основе данных срочных наблюдений месячных сумм и месячных ежечасных сумм Q погрешности расчетов увеличивались, сникая обоснованность рассчитываемых климатических характеристик. Дополнительным недостатком рассмотренных методов является отсутствие единой вычислительной схемы восстановления суточного хода, приспособленной для массовых расчетов на ЭВМ. Исходя из этого, целью авторов настоящей работы была разработка универсального алгоритма восстановления суточного хода и расчета месячных сумм Q, позволяющего свести к минимуму элементы субъективизма при расчете этих характеристик по данным срочных наблюдений для разных физико-географических и погодных условий. Сформулированная общая запача, в соответствии с областью приложения

результатов ее решения, может бить разделена на три частные:

- задача расчета месячных и годовых сумм Q по средним месячным срочным значениям суммарной радиации,
- 2) задача восстановления суточного хода (дневного распределения часовых сумм) и расчета суточных сумм Q по данным срочных наблюдений конкретного дня.
 - 3) задача восстановления месячных и годовых ежечасных сумм Q по средним месячным срочным значениям суммарной радиации.

В основу разработанного метода была положена аппроксимация суточного хода суммарной радиации естественным кубическим сплайном /4/:

$$Q_{i}(t) = x q_{i} + (1-x) q_{i-1} + \Delta t_{i-1} \times \left[(k_{i-1} - d_{i}) x (1-x)^{2} - (k_{i} - d_{i}) (1-x) x^{2} \right],$$
 (I)

где $x = (t - t_{i-1})/\Delta t_{i-1}$; $\Delta t_{i-1} = t_i - t_{i-1}$; $d_i = (q_i - q_{i-1})/\Delta t_{i-1}$; q_i — данные срочных наблюдений; k_i , i = 1, ..., N — коэффициенты сплайна; t_1 — точка восхода Сольца, t_N — точка захода Сольца, t_i , i = 2, ..., N— I — точки сроков наблюдений.

По определению естественный кубический сплайн удовлетворяет следующим условиям:

$$Q_{i}(t_{i}) = Q_{i-1}(t_{i}) , \qquad (2.1)$$

$$Q'_{i}(t_{i}) = Q'_{i-1}(t_{i})$$
 , (2.2)

$$Q_{i}''(t_{i}) = Q_{i-1}''(t_{i}) , \qquad (2.3)$$

$$Q_{1}''(t_{1}) = Q_{N-1}''(t_{N}) = 0.$$
 (2.4)

Для построения сплайна использовался стандартный метод, основанный на численном решении системы линейных уравнений с трехдиагональной матрицей /I/. Интегральные характеристики (суммы) радиации рассчитывались по сплайну тремя способами. В первом из них использовалось непосредственное интегрирование аналитического выражения сплайна (I):

$$S_{I} = \sum_{i=1}^{N-1} S_{Ii} ,$$

$$S_{ii} = \frac{\Delta t_i}{2} (q_{i+1} + q_i) + \frac{\Delta t_i^2}{42} (k_{i+1} - k_i)$$
 (3)

Второй способ представлял собой реализацию приближенного метода примоугольников:

$$S_{\underline{I}} = \sum_{i=1}^{N_h} S'_{hi} , \quad S'_{hi} = Q_{hi} \Delta t_{hi} , \qquad (4)$$

где Q_{hi} — рассчитанные по сплайну значения Q в серединах часовых интервалов, Δt_{hi} — часовые интервалы, V_h — число этих интервалов с момента восхода Солнца до его захода, S_{hi} — оценка часовой суммы за i—й час.

Третий способ позволял рассчитывать часовые суммы по аппроксимационной формуле (I) с помощью взятых аналитически интегралов:

$$S_{ii} = \sum_{i=1}^{N_h} S_{hi}^{"}, \quad S_{hi}^{"} = \int_{t_{hi}}^{t_{hi+1}} Q_i(t) dt \qquad (5)$$

Основиваясь на явном виражении для $Q_{i}(t)$ (I), били получени формули, связывающие S_{i}^{n} с параметрами сплайна k_{i} , Δt_{i} , d_{i} , которые использовались при расчетах. Последние два из приведенных соотношений позволяют рассчитывать как параметри суточного хода, так и суточные суммы Q. Формула (3) предназначена только для расчета суточных сумм. Наглядное представление о всех трех способах расчета интегральных характеристик Q можно получить из схемы, представленной на рисунке.

Для сравнения производилась текже аппроксимация суточного хода Q ломаной линией и расчет суточных сумм по формуле трапеций:

$$S_{T} = \sum_{i=1}^{M-1} S_{i,i} , \quad S_{i,i} = \frac{\Delta^{\frac{1}{2}}}{2} (q_{i+1} + q_{i}) . \tag{6}$$

Моменти времени восхода и захода Солнца, отвечающие нулевым значениям сплайна, рассчитывались по географическим координатам станции, а также по коэффициентам разложения в ряд Фурье склонения Солнца и поправки к местному солнечному времени. При расчете месячных ежечасных сумм по средним месячным срочным значениям Q

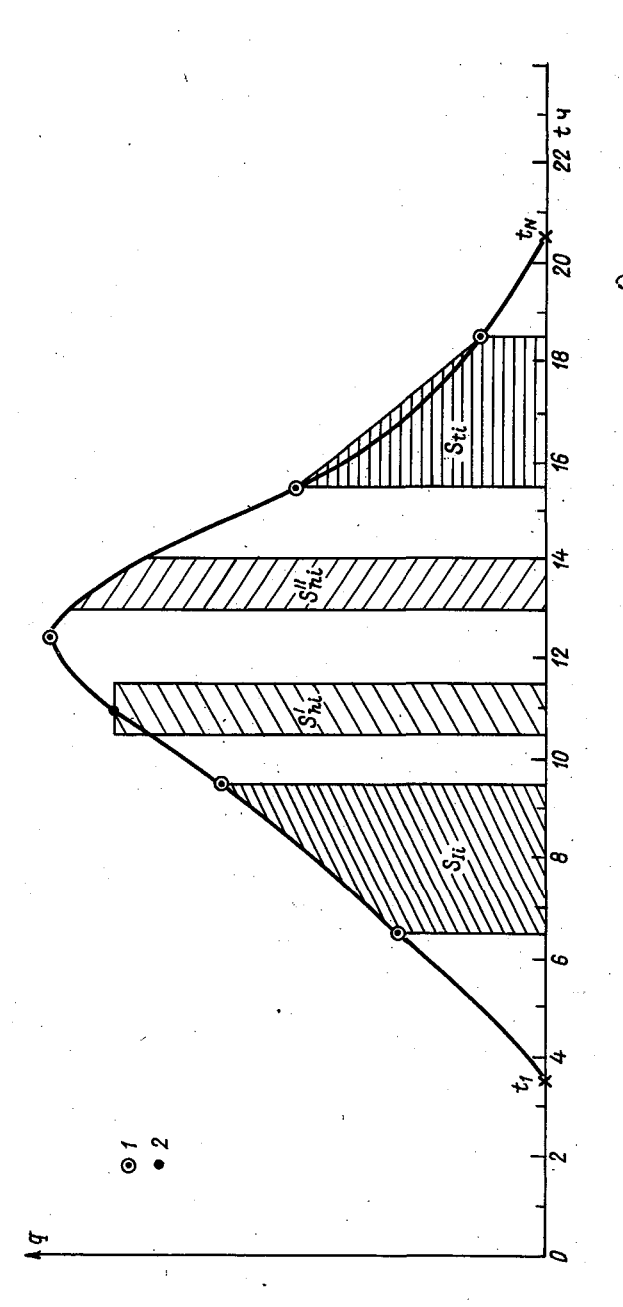


Схема восотановления суточного хода и расчета интегральных характеристик 🍳 по данным срочных наблюцений различными способами.

в середине часового интервала. I - сроки наблюдений, 2 - восстановленное значение Q

Способы обозначены в соответствии с (3)-(6).

Таблица I

Характеристики относительных погрешностей восстановления суточных сумм Q по ежедневным срочным данным.

Ст. Москва. март 1983 г.

Способ восстановления	$\bar{\delta}$	$ar{\delta}_{lpha}$	5 _ε	6 Fa
S _T	-0,I2I	0,153	0,169	0,140
SI	-0,0528	0,112	0,159	0,123
S _{īī}	-0,0536	0,112	0,159	0,123
Sā	-0,042I	0,115	0,154	0,124

сроки восхода и захода Солнца определялись для 15-го числа меся-ца.

В качестве исходной информации для восстановления суточного хода Q использовались данные срочных наблюдений, содержащиеся в Актинометрическом ежемесячнике, часть I. Рассчитанные распределения часовых суми Q в суточном ходе, а также суточные, месячные и годовые суммы радиации сопоставлялись с результатами расчетов этих характеристик по данным станций, на которых осуществляется параллельная со срочными наблюдениями регистрация Q самопишущими приборами. Данные регистрации также приводятся в Ежемесячнике.

На примере месячного массива срочных значений Q (ст.Москва, март 1983 г.) рассмотрим результаты применения разработанного метода для расчета суточных сумм радиации за конкретные дни, определение месячных и месячных ежечасных сумм Q. В табл. І представлены оценки относительных погрешностей расчета суточных сумм различными способами. Характеристиками погрешностей служат их средние значения $\overline{S} = \frac{4}{N} \sum_{i=1}^{N} S_{i}$, средние значения абсолютных величин S_{i} $\overline{S}_{q} = \frac{4}{N} \sum_{i=1}^{N} |S_{i}|$ и оценки среднего квадратического отклонения ошибок от средних:

$$\mathfrak{S}_{\mathcal{S}} = \left[\frac{1}{n-1} \sum_{i=1}^{n} \left(\delta_{i} - \overline{\delta}\right)^{2}\right]^{1/2} , \qquad (7)$$

$$\mathcal{G}_{\delta_{\alpha}} = \left[\frac{1}{n-1} \sum_{i=1}^{n} \left(|\delta_{i}| - \overline{\delta}_{\alpha} \right)^{2} \right]^{1/2}, \tag{8}$$

где $\delta_i = 4 - S_{ai}/S_{ai}$, \bar{n} - объем выборки, S_{ai} - результат расчета і-й суточной суммы по ашпроксимационной формуле. S.: то же по данным регистрации. Сопоставление различных способов расчета 5. показывает, что использование аппроксимании суточного хода Q сплайн-йункциями позволяет в данном случае почти в $\overline{\delta}_{c}$ раза уменьшить величину $\overline{\delta}_{c}$ по сравнению с погрешностью, получаемой при аппроксимации суточного хода доманой линией. Уменьшаются также оценки средних квалратических отклонений ошибок от средних как для δ , так и для $|\delta|$. К числу дополнительных достоинств разработанного метопа слепует отнести уменьшение систематической составляющей погрешности расчета суточных сумм, о чем можно судить по малым значениям δ , полученным в результате применения сплайн-аппроксимации. При этом различные способы построения аппроксимаций по сплайнам лают, как вилно из привеленных в таблице данных, близкие результаты.

Результаты расчета месячных ежечасных сумм, полученные пля того же массива данных, представлены в табл. 2. Оценки средних относительных погрешностей расчета, помещенные в последнем столоце таблицы, свидетельствуют о том, что предлагаемый метоп позволяет Получить в целом приемлемую погрешность расчета ежечасных сумм. -сравнимую с предельной погрешностью расчета месячных сумм радиашии по сетевым наблюдениям /8/. Наименее точно восстанавливаются суммы в ранние утренние и позиние вечерние часы, относительная погрешность расчета этих суми постигает 25-30 %. Различия в суммах, полученных с помощью разных способов сплайн-аппроксимации. невелики. В дневные часы они не превосходят 1-2 %, однако в первие часи после восхода Солица и непосредственно перед его заходом. эти различия становятся ощутимыми. Следует, однако, заметить, что при малых высотах Сольца, отвечающих указанным часовым интервадам. Точность измерения потоков разиании невысока, полученные различия находятся в пределах погрешности расчетов сумм по данным регистрации. Восстановление ежечасных сумм по осредненным данным срочных наблюдений для рассмотренного массива данных является, как видно из представленных в таблице результатов, более точным, чем восстановление сумм по ежелневным срочным ланным.

Результати апробации разработанного метода расчета суми Q на материале ежедневных наблюдений послужили основой для его опытного применения к расчету средних месячных и годовых суми Q по многолетним рядам срочных наблюдений.

Дополнительный интерес при этом представляли оценки различий между суммами, рассчитанными по данным срочных наблюдений и по

Таблица 2

Месячние ежечасние сумми Q (МДж/м²), восстановленние различными способами.

- месячные ежечасные суммы, рассчитанные по данным регистрации \mathbb{Q}) Ст.Москва, март 1983 г. (S_R - месячние ежечасн

Способ						Интервал, ч	л, ч						10
новления	7	8	6	IO II	II	I2	I3	I4	I5	ĬĜ	41	I8	ુ
S	2,13		20,72	9,43 20,72 32,00 40,62 41,55 39,21 36,54 29,96 19,66 9,38	40,62	41,55	39,2I	36,54	29,96	19,66	86,8	2,27	1
	1		По	По осредненным за месяц данным срочных наблюдений	ным за	месяци	анним с	хиньоф	наблюде	ний			
~ ~ ~ ~ ~ ~ ~ ~ ~ ~ ~ ~ ~ ~ ~ ~ ~ ~ ~	I,77 2,2I	9,89		19,78 29,25 36,3I 40,09 39,84 35,45 28,26 19,76 29,14 36,18 39,92 39,66 35,33 28,2I	36,3I 36,18	40,09	39,84 39,66	35,45 35,33	28,26 28,21	19,88 II,47 I9,88 II,47	11,47	3,20	3,0
				По ежедневным данным	невным	данным	срочных наблюдений	наблюд	ений		•		
. S.	I,29	I2,89	2I,45	28,92 34,44 37,44	34,44	37,44	37,24 33,66	33,66		[19,6I	II,35	I,46	υ, Θ
S.	2,34	12,18	85 , 12	,88 84	34,34	37,30	37,09	33,52	1.5.12	13°28	7.8 . 01	% %	က်

данным регистрации для разных климатических зон. Исходными данными для расчетов служили осредненные за месяц данные десятилетних (1976—1985 гг.) срочных наблюдений Q на станциях Москва, Таш-кент, Верхнее Дуброво (Средний Урал), Семиналатинск (Северо-Восточный Казахстан), Оленёк (Северная Якутия). На всех этих станциях в указанные годы срочные наблюдения за суммарной радмацией проводились параллельно с ее регистрацией.

По существующим климатическим оценкам /8/, ряды наблюдений такой длины являются статистически обоснованными для оценки климатических характеристик Q. Сравнительный анализ оценок норм месячных сумм Q, рассчитанных различными способами, можно провести, воспользовавшись данными расчетов, представленными в табл.З. Обращает на себя внимание систематическое занижение оценок норм, полученных методом трапеции в зимние месяцы, и завышение таких же оценок в летний период. Эта особенность слабее выражена для норм ст.Оленёк, погрешности расчета которых по срочным данным всеми способами больше, чем для норм на других станциях.

Можно также заметить, что все способы сплайн-аппрокоимании -TO MIRSOM ONHMES A MOOH ENHOPERS OWNHOWNES TOWN SHOW OTOHPOTVS носительное значение этого занижения пля всех станций, за исключением ст. Оленёк, не выходит за пределы 5 %. В целом же погрешности расчета месячных сумм по сплайнам имеют несистематический характер. Что полтверждается также высокой точностью (в пределах I-2 %) полученных с использованием сплайн-ашпроксимации головых сумм для всех рассмотренных отанций. Существенных закономерностей в распределениях средних квадратических отклонений месячных сумм G_s , как видно из результатов расчетов, приведенных в табл.4, не наблюдается. Следует лишь отметить, что при расчете этой характеристики распределений месячных сумм 🔍 преимущества сплайн-аппрокоммании проявляются не столь отчетливо, как при расчете норм. Так, для от Ташкент метод трапеций дает, по крайней мере, не кудшие результаты, чем использование сплайнов. Средние квадратические отклонения месячных сумм для ст.Оденёк рассчитываются с высокими погрешностями как по сплайнам, так и методом трапеции. Сплайн-аппроксимация позволила более точно по сравнению с метолом трапеций оценить величины бо только для ст. Москва.

Статистическая обработка относительных погрешностей восстановления месячных сумм Q по данным срочных наблюдений рассмотренных пяти станций позволила оценить средние значения этих погрешностей, а также характеристики их отклонений от средних значений. Сопоставление статистических характеристик, полученных для

Таблица 3 Оценки норм месячных сумм \mathbb{Q} (МДж/м 2), полученные различными способами. 1976—1985 гг.

	Способ						Ме	рсяц					
Станция	расчета месяч- ных сумм	I	П	ΪΠ	IУ	У	ŊΙ	ЯΠ	УШ	IX	X	XI	XII
Москва	Sg	60	I34	260	376	535	57I	549	455	259	I28	49	37
	S ₁	57	I37	262	36I	534	597	567	459	256	I28	49	36
	S _Ī	57	I36	262	355	536	599	568	459	260	I29	44	35
	S _T	48	II4	252	344	494	635	604	436	245	99	39	29
Верхнее	SR	73	I58	343	454	596	623	594	455	284	I 56	83	50
Дуброво	$s_{\mathbf{r}}$	70	I56	344	447	596	647	603	449	286	I53	81	49
	SI	69	I56	344	440	598	648	606	448	289	I55	74	52
	Ser	58	I29	329	425	55I	686	645	423	273	II5	65	40
Семипа-	$S_{\mathbf{g}}$	9I	I79	379	482	599	689	640	509	333	172	95	63
латинск	S _I	85	I78	378	476	588	669	633	504	32I	I62	87	57
	Sī	85	I 7 8	372	470	589	672	637	510	326	I65	80	56
	ST	72	I48	355	455	545	7I2	676 [.]	477	307	I22	69	50
Оленёк	SR	8	49	217	430	579	583	56I	389	I85	83	I3	0
	SI	2	62	219	435	6I7	588	573	396	I97	8I	- I8	0
	Sī	['] 3	6I	218	435	610	588	573	396	I88	80	12	. 0
	ST	0,6	49	206	407	544	607	593	365	I76	64	8	0
Ташкент	Sk	204	270	40I	546	736	825	850	7 55	588	373	220	I70
	Sı	200	273	396	54I	723	835	844	773	594	372	222	I62
	S 1	I99	277	396	536	710	855	87I,	773	599	369	222	I62
	ST	I69	220	380	520	686	902	920	74I	568	354	171	I 29

различных способов восстановления суточного хода, можно произвести на основе данных расчетов, приведенных в табл.5. Можно заметить, что для станций, расположенных в умеренных широтах, сплайна аппроксимация позволяет значительно уменьшить погрешности восстановления месячных сумм Q по сравнению с методом трапеций. Так, средние значения ошибок δ_c при применении метода трапеций пре-

Таблица 4 Средние квадратические отклонения \mathbb{G}_{\S} (МДж/м 2) месячных сумм \mathbb{Q} от норм, подученные различными способами. 1976—1985 гг.

												<u> </u>	<u> </u>
a	Способ	<u> </u>		10.	<u> </u>		Mec	яц					
Станция	месяч- ных сумм	I	ΙП	П	IУ	y	УI	УП	УШ	IX	X	XI	XII
Москва	SR	8	22	42	4I	96	73	70	44	45	2I	IЗ	9
	$S_{\mathbf{I}}$	9	20	45	43	97	81	76	40	4 8	22	12	.9
*	$S_{\bar{\mathbf{x}}}$	19	20	45	43	97	8I	76	40	49	23	12	9
	ST	7	16	43	4 I	91	86	79	37	4 6	I 6	9	8.
Верхнее	SR	8	I 5	34	33	43	48	84	5I	52	23	7	6
Дуброво	S _I	7	12	36	39	31	36	70	50	58	28	5	6
- -	Si	7	12	36	38	3I	36	69	50	59	28	5	7
	S .	6	IO	34	37	30	37	72	4 8	55	21	4	5
Семипа-	SR	6	I 5	36	71	49	71	49	59	30	23	I 5	8
латинск	$S_{\mathbf{I}}$	6	I4	36	68	40	I09	60	7 5	26	23	·I5	5
	Sō	6	14	36	68	40	I09	60	76	26	24	I 4	5
	ST	5	II	35	65	36	IIЗ	6I	7I	25	I 9	13	4.
Оленёк	SR	12	7	18	33	102	IIO	76	87	36	7	2	0
,	Sr	0,8	43	40	37	53	II6	6I	65	2I	12	8	. 0
	S _ū	I	42	40	37	53	II6	6I	65	Ι9	12	4	0
	ST	0,2	27	38	34	47	120	65	60	19	7	3	0
Ташкент	SR	20	29	44	74	59	4 I	49	22	20	42	26	20
	Si	22	39	4 I	8I	58	40	4 I	24	19	43	29	23
4 	S _ē	22	40	4 I	8I	58	40	40	24	19	43	29	22
	ST	32	32	40	79	56	4 3	43	22	¹ 19	4 I	23	18

восходят значения ошибок сплайн-ашпроксимации в 2-3 раза и более, а значения \mathcal{S}_{ξ_0} и \mathcal{S}_{ξ_0} для сумм \mathcal{S}_{τ} больше значений средних квадратических отклонений для сумм \mathcal{S}_{Γ} и \mathcal{S}_{Γ} в 1,5-2 раза. Небольшие, по сравнению с методом трапеций, значения $\widetilde{\mathcal{S}}$, относящинся к способам \mathcal{S}_{Γ} и \mathcal{S}_{Γ} , свидетельствуют о малости систематических отклонений сумм, рассчитанных по сплайнам, от их значений.

Таблица 5

Статистические карактеристики погрешностей восстановления месячных сумм (), по данным срочных наблюдений за десятилетний период

· · · · · · · · · · · · · · · · · · ·					** <u> </u>
Станция	Способ расчета месячных сумм	$\bar{\delta}_{\alpha}$	ઈ _{ઈં.}	δ̄,	€ ⁸
Москва	S1	0,040	0,030	0,00I	0,050
	51	0,048	0,037	-0,008	0,059
	87	0,122	0,075	-0,085	0,II5
Верхнее Дуброво	Տ _τ	0,037	0,028	-0,008	0,046
	Տա	0,042	0,035	-0,009	0,054
	Տ _τ	0,I30	0,084	-0,098	0,120
Семипалатинск	S _T	0,057	0,049	-0,036	0,066
	S _I	0,064	0,057	-0,04I	0,075
	S _T	0,142	0,096	-0,II9	0,122
Оленёк	S _T S _T	0,18I 0,132 0,209	0,282 0,235 0,252	0,033 0,00I -0,I44	0,333 0,269 0,295
Ташкөнт	S _I	0,028	0,03I	-0,058	0,04I
	S _I	0,033	0,032	-0,029	0,046
	S _T	0,107	0,085	-0,079	0,III

подученных по данным региотрации. Знак оценки $\overline{\delta}$ для случая S_{τ} показывает, что метод трапеций в целом занижает значения месячных сумм Q для всех рассмотренных станций.

Выволн

І. Применение сплайн-анпрокоммаций для восстановления среднего месячного суточного хода Q по данным срочных наблюдений позволяет понизитв уровень относительных погрешностей расчета месячных сумм Q до значений 3-7 %. При расчете по срочным данным годовых сумм методы оплайн-анпрокоммации дают результаты, практычески совпадающие с результатами расчетов сумм Q по данным регистрации.

- 2. Для станций, расположенных в умеренных пиротах, аппроксимация суточного хода сплайном значительно повышает точность оценок норм месячных сумм Q по сравнению с применяемым в настоящее время для этих целей методом трапеций.
- 3. Суточные суммы Q за конкретные дни рассчитываются на основе разработанного метода со средней относительной погрешностью IO-I2 %, что вполне приемлемо для ряда прикладных задач.
- 4. Предложенный метод сплайн-аппроксимации суточного хода Q обеспечивает достаточно высокую точность ($\overline{\delta}_{Q}$ в пределах 5-7%) восстановления распределений месячных и годовых ежечасных сумм Q, что делает его перспективным, в частности, для решения задач климатологического обеспечения гелиоэнергетических проектов.

Список литературы

- І. Волков Е.А. Численные метолы. М.: Наука. 1982.
- 2. Груза Г.В. Мониторинг современного климата как эмпирико-статистическая основа долгосрочных прогнозов погоды // Труды ВНИИТМИ-МЦД. 1986. Вып. 129.
- 3. Груза Г.В., Ранькова Э.Я. Структура и изменчивость наблюдаемого климата. Температура воздуха северного полущария. — Л.: Гидрометеоиздат, 1980.
- 4. Завьялов Ю.С., Квасов В.И., Мирошниченко В.А. Методы сплайн-функций. — М.: Наука, 1980.
- 5. Кобишева Н.В., Копанев И.Д. Основные принципы ведения "Кадастра по климату СССР" // Труды ГТО. 1981. Вып. 460.
- 6. Копанев И.Д. Обосновных результатах и перспективе развития исследований по прикладной климатологии // Труды ITO. 1984. Вып. 485.
- 7. Пивоварова 3.И. О временной структуре рядов сумм солнечной радиации разного масштаба осреднения // Труди ITO. 1974. Вып. 307.
- 8. Пивоварова З.И. Радиационные характеристики климата СССР. Л.: Гидрометеоиздат, 1977.
- 9. Руководство по контролю актинометрических наблюдений. Л.: Гидрометеоиздат, 1962.

Г.П. Резников

ПРЕЦИЗИОННЫЕ ВЫЧИСЛЕНИЯ ГИГРОМЕТРИЧЕСКИХ ВЕЛИЧИН С ПРИМЕНЕНИЕМ ПРОГРАММИРУЕМЫХ МИКРОКАЛЬКУЛЯТОРОВ (ФОРМУЛЫ)

Родь препизионных измерений величин, характеризующих вдажность воздуха, не ограничивается в настоящее время задачами, возникающими на уровне эталонов этих величин. В практике определения точностных характеристик рабочих средств измерений влажности (особенно вхоляших в состав информационно-измерительных систем). при исследовании физических процессов, связанных с образованием туманов и облаков, прешизионные измерения определяют успех решения задач. Погрешность измерений обусловливается инструментальной составляющей погрешности непосредственно измернемых величин и погрешностью обработки. Последняя. в свою очередь, зависит от выбора вида зависимостей, точности входящих в них констант и выбранного алгоритма вичислений. Расширение круга задач. связанных с прешизионными измерениями, побуждает применить в этих случаях широко распространенную портативную программируемую вычислительную технику. Но недостаточный объем регистровой и программной памяти наклалывает ограничения на такой выбор, и он оказывается нетривиальным.

В настоящей статье и выполняется обоснованный выбор исходных физических зависимостей взаимых прецизионных пересчетов гигрометрических величин. Они ориентированы на реализацию в программах для программируемых микрокалькуляторов (ПМК). Последние являются по существу электронными клавишными внчислительными машинами с символьно-коловым программированием.

Следует отметить, что для приближенных вычислений гигрометрических величин с применением ПМК и микропроцессоров уже приведены программы в действующем нормативном документе /2/.

В процессе прецизионных вичислений решается задача пересчета значений одних гигрометрических величин (заданных) в другие (вичисляемие) с минимальной погрешностью. Выбор гигрометрических величин, участвующих в пересчетах, осуществлен с учетом степени их употребления, а также их непосредственного измерения существующими прецизионными средствами измерения влажности воздуха: точка роси $\mathbb T$ (конденсационный гигрометр), парциальное давление водяного пара $\mathcal C$ (кулонометрический), относительная влажность $\mathcal V$ (сорбщионно-электрический), а также температура смоченного термо-

Δπωn			Коэффициент		
d Corner	ر.	ડ	\mathcal{C}_3	Ċ,	Cs
4.Векслер [.Зонтаг	-6,095 174 8·10 ³	+2,116 173 595·10 +2,112 499 52·10	-2,722 240 4·10 ⁻²	-2,722 240 4·10 ⁻² +1,684 079 0·10 ⁻⁵ +2,450 5 -2,724 555 2·10 ⁻² +1,685 339 6·10 ⁻⁵ +2,457 5	+2,450 505 8 +2,457 5 50 6

Таблица 2

Автор	0	5	7 °C	35	55
A.Bercnep 6,II2 I3 I3 I4.30 errar 6,II2 I8 $\delta = \frac{E_{wb}-E_{wb}}{E_{wb}}$, $\epsilon = \frac{1}{2}$	6,112 13	8,724 96	17,051 81	56,264 49	157,522 73
	6,112 18	8,724 48	17,053 35	56,266 5I	157,524 32
	-0,8	+5,5	-I	-3,6	-I

метра \mathcal{E}^{\dagger} (психрометр).

В основу расчетов положены формулы и зависимости, нормируемые в /2/. за исключением формулы связи между давлением насышенного воляного пара и температурой в однокомпонентной системе. Эта связь является фундаментальной иля гигрометрии и уже около леух веков продолжает оставаться объектом исследований и уточнений /І. 5-8/. К настоящему моменту уже насчитывается не один десяток уравнений, анпроксимирующих эту зависимость /6/. Широко используемая при исходных измерениях формула Гоффа и Грэча, описывающая указанную зависимость, была принята рядом международных организаций, в том числе ВМО, в 1946 г. и приводится в /2/. В последующие десятилетия были выполнены исследования, позволившие повысить точность и постоверность характера зависимости межлу павлением насышенного воляного пара и температурой: измерено с высокой точностью давление насышенного воляного пара при нескольких значениях температуры в диапазоне от 0 до 90 °С, уточнены значения ряда физических констант, принята новая межиунаролная практическая температурная шкала (МПТШ-68), получены новые данные о водяном паре как реальной неконденсированной фазе воды в однокомпонентной и многокомпонентной системах (в частности, в смеси с возлухом). усовершенствованы методы ашпроксимации и интерполяции. Все это позволило вначале А.Векслеру (США) предложить в 1976 г. /8/, а затем Д. Зонтату (ГДР) в 1982 г. /3, 7/ уточнить формулу вида

$$\ln E_{w}(T) = c_{1}T^{-1} + c_{2} + c_{3}T + c_{4}T^{2} + c_{5}\ln T , \qquad (I)$$

в которой E_w — давление насыщенного водяного пара над плоской поверхностью химически чистой воды в однокомпонентной системе, гПа; $T = T + T_0$, T — температура по шкале Цельсия, $T_0 = 273$, 13 К — температура плавления льда по шкале Кельвина; C_4 , C_2 , C_3 , C_4 , C_5 — коэффициенты, которые этими авторами оцениваются по-разному (табл.1).

Сопоставление результатов вычислений $E_{\rm w}$ по этой формуле при двух указанных наборах коэффициентов приводит к выводу о том, что разности между ними знакопеременны, но не превышают по абсо-лютному значению 0,006 % (табл.2).

Полученное наибольшее отклонение результатов Зонтага от результатов Векслера оказывается на порядок меньше, чем среднее квадратическое отклонение результатов вычислений по Зонтагу, оцениваемое им самим в ± 0.05 % для диапазона температуры от 0 до ± 100 °C и в ± 0.28 % для диапазона от 0 до ± 50 °C. Вышеизложенные

Таблица 3

	ე ∘ ე	E _{wr} (T) rlla	E _{w3} (7) rHa	$\delta = \frac{E_{w3} - E_{wr}}{E_{wr}}$	-,103x AT, 15-5, 10-3°C
•	I00	1013,251 3	1013,261 7	I,029	0,3
	80	473,660 9	473,754 4	9,951	2,5
	60	I99,254 4	I99,333 2	39,568	6,9
	40	73 ,7 73 3	73,8I3 5	54,514	IO,2
	20	23,370 8	23,385 7	63,673	IO,3
	0	6,I07 O	6,II2 I83	84,867	II,7
	- 20	I,253 8	I,256 3	201,81	23,4
	-4 0	0,189 09	0,190 48	733,72	70,8
					and the second s

сведения делают понятной наблюдающуюся тендеицию к замене используемой формулы /2/ формулой Зонтага /3/ как более корректной с физической точки зрения. Для реализации же вычислений с применением IIMK она имеет принципиальное преимущество, поскольку требует намного меньше регистровой и программной памяти. Следовательно, для решения поставленной задачи необходимо отдать ей безусловное предпочтение. Но поскольку она является конкурирующей с формулой, приводимой в нормативном документе, то в интересах соблюдения принципов обеспечения единства измерений необходимо сопоставить результаты вычислений по этим двум формулам (табл.3).

Как видно из приведенных сопоставлений, отличие значений носит монотонно изменяющийся характер и увеличивается плавно по мере уменьшения температуры от 100 до 0 °C, а при отрицательной
температуре — с резко увеличивающейся скоростью. Если принять во
внимание, что предел допускаемой погрешности прецизионного конденсационного гигрометра достигает 0,2 °C, то уже при -20 °C неопределенность исходной зависимости отличается лишь на порядок
(0,023 °C) от указанной инструментальной погрешности. Таким образом, очевидна актуальность задачи стандартизации формулы, описывающей эту зависимость. Вместе с тем в процессе обработки результатов прецизионных измерений вплоть до эталонных в гигрометрии
уже сейчас может быть использована формула Зонтага во всем диапазоне положительных значений температуры без нарушения принципов
единства измерений.

В процессе прецизионных измерений и вычислений необходимо учитывать реальные свойства паровоздушной смеси, ее отличие от свойств водяного пара в однокомпонентной системе. Это должно учитываться при расчетах, на что указывается в нормативном документе /2/. Отличие выражается в том, что при одном и том же значении температуры термодинамического равновесия водяного пара и воды давление насышенного водяного пара в однокомпонентной системе меньше, чем в многокомпонентной (например, в смеси с воздухом). Степень отличия зависит от общего давления воздуха и температуры. при одном и том же давлении наименьшее отличие отмечается примерно при 0 °C. Таким образом, кривая насыценного водяного пара в многокомпонентной системе всегда проходит над кривой для однокомпонентной системы (т.е. для "чистого" водяного пара). Следовательно, в случае прецизионных измерений конденсационным гигрометром в воздухе может допускаться существенная ошибка принципиального характера, если значение парциального давления находить, ограничиваясь зависимостью давления насышенного водяного пара от температури в однокомпонентной системе, соответствующей нижней кривой, что приводит к заниженным результатам. И обратно, если по измеренному парциальному давлению водяного пара в воздухе (например. кулонометрическим гигрометром) находить точку роси по зависимости пля опнокомпонентной системы, то возникает погрешность, завышающая пействительное значение точки росы.

Учет отличия значения давления насыщенного водяного пара в многокомпонентной системе от значения этой величины в однокомпонентной системе осуществляется с помощью корректирующего коэффициента, который является функцией давления, температуры и состава атмосферы, т.е.

$$\mathsf{E}_{e}(\tau, \mathsf{p}) = \chi(\tau, \mathsf{p}) \; \mathsf{E}_{\mathsf{n}}(\tau) \; , \qquad (2)$$

тде \mathcal{T} — температура равновесия конденсированной и неконденсированной фаз води; р — общее давление в системе; E_n — давление насыщенного водяного пара в однокомпонентной системе при температуре \mathcal{T} ; $|E_c$ (\mathcal{T} , ρ) — давление насыщенного водяного пара в многокомпонентной системе (в смеси) при температуре \mathcal{T} и общем давлении р .

Возвращаясь к недавно приведенным примерам, можно видеть, что корректным результатом в первом случае будет результат, полученный с применением формулы (2). Во втором случае для определения точки росы необходимо измеренное значение парциального давле-

ния разделить на корректирующий коэффициент, соответствующий приближенному значению точки роси $\widetilde{\tau}$, найденному без учета $\mathcal K$ (в приближении $E_n\approx E_c$), а по вичисленному E_n , пользуясь завиоимостью E_n ($\widetilde{\tau}$) для однокомпонентной системы, найти действительное значение точки росн $\widetilde{\tau}$.

Очевидна также необходимость учета f в случае прецизионных вычислений относительной влажности f в многокомпонентной системе:

$$\psi_{c} = \frac{E_{c}(\tau)}{E_{c}(t)} = \frac{E_{n}(\tau) \chi(\tau, p)}{E_{n}(t) \chi(t, p)} , \qquad (3)$$

в имеющихся известных источниках, в том числе и /2, 4/, значения χ представляются в табличной форме. При автоматизированных же вычислениях, особенно на ПМК, необходимо аналитическое представление χ как функции температуры и давления. Исходя из графиков, построенных по табличным данным для χ , характеризующей паровоздушную смесь, насыщенную водяным паром относительно воды, можно подобрать следующее аналитическое выражение:

$$\mathcal{J}_{w8}(\tau,p) = 1,0024 - 4.10^{-6}(500-p) + 5.10^{-7} \frac{p}{900} \left[\tau - 0.03(900-p)\right]^{2}.$$
 (4)

Формула отражает карактер графического отображения этой функции, при котором в качестве переменной принята температура \mathcal{T} плоской поверхности води и пара в градусах Цельсия, а в качестве параметра — давление паровоздушной смеси ρ в гектопаскалях. Каждому значению ρ соответствует своя парабола в координатах (χ , ρ). Все параболы смещаются вверх по мере увеличения ρ . Вершина параболи для $\rho = 500$ гПа находится на уровне $\chi = 1,0024$, что и отражается первым слагаемым. Смещение вершини парабол по ординате (χ) описывается вторым слагаемым, в котором $4 \cdot 10^{-6}$ играет роль масштабного множителя. Смещение вершин вдоль оси абсцисс (2) с изменением давления отражается частью аргумента третьего слагаемого, а именю -0.03 (900 — ρ). Третье слагаемое отражает квалратическую зависимость χ от τ при фиксированном значении ρ ; при этом обнаруживается, что масщтабиружийй множитель несколько зависит от давления и поэтому принимает вид 5.40^{-7} .

Сравнение значений \mathcal{N}_{wb} (\mathcal{T} , ρ), рассчитанных по полученной формуле, с соответствующими табличными значениями показывает, что ее относительная погрешность не превышает ± 0.02 % в метеорологическом диапазоне температуры воздуха, т.е. от -50 до 60 °C, м в диапазоне ρ от 500 до 1100 гНа. Она входит в качестве состав—

изищей относительной погрешности вичисления парциального давления водяного пара, находящегося в смеси с воздухом. В пересчете на погрешность точки росы это составляет: $\pm 0,002$ °C при $\mathbb{T} = -50$ °C; $\pm 0,003$ °C при $\mathbb{T} = -50$ °C. Для оценки степени значимости полученных погрешностей можно обратить внимание, что на уровне исходной фундаментальной зависимости, как показано выше, отличие по двум сопоставленным формулам, например, при $\mathbb{T} = 0$ °C составляет 0,012 °C, т.е. вчетверо больше, чем за счет погрешности полученной формулы для \mathbb{X} .

При вычислениях на ПМК для экономии регистровой памяти представляется возможным придать полученной формуле более компактный вид, выполнив ряд преобразований:

$$\mathcal{J}_{w_{B}}(\tau, p) = 1,0004 + \left[4 \cdot 10^{-6} + 5,56 \cdot 10^{-10} (\tau + 0,03p - 27)^{2}\right] p \tag{5}$$

или, заменив численные значения величин символами:

$$\mathcal{L}_{\text{WR}}(\mathcal{T}_{1} P) = \delta_{c} + \left[\delta_{1} + \delta_{2} (\mathcal{T} + \delta_{3} P - \delta_{4})^{2} \right] P. \tag{6}$$

Формулы для $E_n(\mathcal{T})$ и $\mathcal{Y}_{w,g}(\mathcal{T},\rho)$ используются во всех последующих вычислениях и соответственно программы вычислений этих величин используются как подпрограммы.

Анализ рассмотренных формул обращает внимание на то, что помимо непосредственно измеряемых гигрометрических величин прецизионные измерения требуют данных о давлении и температуре воздужа.

При измерениях точки роси в реальных условиях необходимо принимать во внимание, что в зоне влагочувствительного элемента (зеркала) давление $\rho_{\rm T}$ отличается от давления анализируемого воздуха $\rho_{\rm B}$ из—за разрежающего действия побудителя расхода. Поэтому определять парциальное давление водяного пара в воздухе следует по формуле

$$e_{8} = F_{n}(T) \chi_{w_{B}}(T, p_{T}) \frac{\rho_{a}}{\rho_{T}}, \qquad (7)$$

а относительную влажность —

$$\varphi_{B} = \frac{F_{n}(T)\chi_{wB}(T, P_{T})}{F_{n}(t)\chi_{wB}(t, P_{B})} \frac{P_{B}}{P_{T}}$$
(8)

Очевидно, что по формуле аналогичного вида должни внчисляться эти величини при их воспроизведении прецизионными генераторами влажности (на методе двух температур или двух давлений);

$$e_{k} = E_{n}(t_{\mu}) \mathcal{L}_{w_{B}}(t_{\mu}, p_{\mu}) \frac{P_{k}}{P_{\mu}} , \qquad (9)$$

$$\varphi_{\kappa} = \frac{E_{n}(t_{\mu}) \chi_{w_{B}}(t_{\mu}, P_{\mu})}{E_{n}(t_{\kappa}) \chi_{w_{B}}(t_{\kappa}, P_{\kappa})} \frac{P_{\kappa}}{P_{\mu}} .$$
(10)

В последних двух формулах величини с инцексом "н" относятся к наситителю, а с индексом "к" — к камере. Если $\rho_{\rm g}=\rho_{\rm c}$, то формули переходят в вишеприведенные. Все это дает основание для виполнения общей универсальной программи вичислений.

Прецизионные вычисления гигрометрических величин по известной температуре t смоченного термометра, температуре t паравоздушной смеси и ее общему давлению р проводятся по формуле /2/:

$$e_{s} = E_{n}(t') \chi_{ws}(t',p) - A_{n}p(t-t')(1+a_{w}t')$$
, (II)

где \mathcal{A}_{L} — действительное значение психрометрического коэффициента, которое определяется экспериментальным либо экспериментально-расчетным путем; \mathcal{Q}_{W} — коэффициент, учитывающий зависимость от температуры удельной теплоты фазового превращения конденсированной воды в пар и от других величин, входящих в выражение для психрометрического коэффициента, \mathcal{Q}_{W} = 0,001 15 (°C)⁻¹ для дистиллированной воды по ГОСТ 6709-72 и состава сухого воздуха по ГОСТ 4401-81.

В последнем случае расчет $\mathcal{A}_{\mathtt{A}}$ для прецизионного аопирационного психрометра выполняется по формуле

$$\mathcal{A}_{\mathbf{n}} = \mathcal{A}_{\mathbf{n}} - \mathcal{Y}_{\mathbf{n}} \left(v_{\mathbf{n}} - v_{\mathbf{n}} \right), \tag{12}$$

где A_{μ} — номинальное значение психрометрического коэффициента для поихрометра данного типа, экопериментально найденное при номинальном значении скорости аспирации V_{μ} ; V_{μ} — экспериментально но найденное действительное значение скорости аспирации для данного экземпляра психрометра; V_{μ} — номинальное значение коэффициента пропорциональности для психрометра данного типа (практически не меняется от экземпляра к экземпляру).

В разрасотанной программе используются значения: $\mathcal{A}_{\mu} = 662 \cdot 10^{-6} \text{ K}^{-1}$; $\mathcal{V}_{\mu} = 20 \text{ м/c}$; $\mathcal{V}_{\mu} = 56 \cdot 10^{-6} \text{ K}^{-1} \cdot \text{м}^{-1}$ с для аспирационных психрометров M-34 и MB-4.

Прецизионные вичисления точки роси по заданному значению парциального давления водяного пара в паровоздушной смеси, а также парциального давления водяного пара и точки роси по заданному значению относительной вдажности являются обратными по отношению к ранее рассмотренным. Вычисления здесь осложняются тем, что зависимость давления насыщенного водяного пара, от температуры в аналитической форме для прецизионных вычислений содержит транс-Цендентное слагаемое и степени выше первой, поэтому выражение точки рось в явном виде невозможно. В связи с этим при вычислениях используются итерационные циклы, при реализации которых на кажлом шаге итерации вичисляется значение давления насищенного водяного пара по прецизионной формуле для очередного приближенного значения точки роси. Первое приближенное значение точки роси можно найти по явному вирежению ее из двухчленной формулы Зонтага /3, 7/ для зависимости давления насыщенного водяного пара от температуры:

$$\ln E_w(\tau) = A_w T_{\tau}^{-1} + B_w ,$$

где $T_{\tau} = \tau + T_0$; $T_0 = 273,15$ K; $A_w = -5,418$ 701 248 10^3 K; $B_w = 21,648$ 097 94. Из этой формулы

$$T_{\tau} = \frac{A_{w}}{\ln E_{w} - B_{w}} . \tag{13}$$

Вичисление очередного приращения точки Δ_{ij} T_{ij} роси выполняется во формуле

$$\Delta_{j} T_{\tau} = \frac{\Delta_{j} e}{V_{j}} = \frac{E_{nj} - e_{n}}{V_{j}}, \qquad (14)$$

где E_{n_j} — очередное приближенное значение давления насыщенного водяного пара; e_n — известное значение парциального давления водяного пара; γ_j — производная в точке T_{τ_j} :

$$\mathcal{T}_{i} = dE_{\omega}(T_{\tau})/dT_{\tau} = -A_{\omega}E_{\omega}T_{\tau j}^{-2}$$
(15)

Предельное значение приращения на последнем цикле итерации выбра-

но равным 10^{-3} $^{\rm O}$ С, что обеспечивает необходимую точность и вместе с тем не увеличивает чрезмерно время счета.

Возможна также организация вичислений с поотоянным числом циклов итераций. Она приводит к более короткой программе, но в большинстве случаев время счета не оптимально, поскольку постоянное число циклов должно вноираться наибольшим из всех, возникающих при счете. Однако даже применение этой модификации не обеспечивает возможности вичисления в пределах одной программы по \mathcal{L} или по \mathcal{L}' одновременно \mathcal{L} и \mathcal{T} из-за недостаточного объема программной памяти ПМК. В связи с этим в указанных двух случаях приходится пользоваться пакетом из двух программ.

В последующей публикации будут приведени программы и комментарии к ним.

Список литературы

- І. Бегунов А.А., Качкачишвили Л.Д., Матвеев Л.Т. О давлении насыщенного воляного пара // Метеорология и гидрология. 1978. 192. —
- 2. ГОСТ 8.524-85. Психрометрические таблици. Построение, содержание, расчетные соотношения. - М.: Изд. стандартов, 1985. -34 с.
- 3. 3 о н т а г Д. Новне значения термодинамических величинводяного пара // Измерительная техника. 1982. № 9. С.54-56.
- 4. Международные метеорологические таблицы, І-П серии, подготовленные С.Летестю. ВМО - № 188 ТР.94/Пер. под ред. А.Х.Хргиана. - Обнинск: ВНИИТМИ-МЦД, 1975. - 266 с.
- 5. G o f f J.A. Saturation pressure of water on the New-Kelvin Scale // Proc. Symp. Humidity and Moisture. New York: Reinhold, 1965.
- 6. Kostyrko K., Szumowski J., Szerszen A. Tablice psychrometriczne i hydrometryczne // Panstwowy Instytut Meteorologii i Gospodarki Wodney. - Warszawa: Panstwowe Wydawnictwo Naukowe, 1982. - 614 s.
- 7. Sonntag D. Formeln verschiedenen Genauigkeitsgrades zur Berechnung des Sättigungsdampfdruckes über Wasser und üner Eis und ihre Anwendung auf einige praktische Feuchtemeßaufgaben // Abhandlungen des Meteorologischen Dienstes der DDR, N 129 (B XVII). - Berlin: Akademie-Verlag, 1982. - 60 S.
- 8. We x ler A. Vapor pressure equation for water // J. Res. NBS. A. Physics and Chemistry. 1976. 80A. P.213-230.

COJEPKAHUE

П.Я.Н и к и ш к о в. Требования к метеооборудованию,	
предназначенному для получения метеоинформации, необходимой	
при обеспечении взлета и посадки воздушных судов на аэродро-	
MAX TA	3
А.С.С о л о н и н. Об анализе и синтезе систем метеоро-	
логического обеспечения авиации	26
А.С.С о л о н и н. О координирующих стратегиях в иерар-	
хической системе управления воздушным движением с учетом	
метеорологических условий	33
∨ С.М.Пероин, Л.В.Анискин. Обизмерении ха-	
рактеристик ветра на аэродромах	40 %
Р.А.К руглов. Ретрорефлекторы для трансмиссомет-	
ров	51
Ю.А.Житарев, Н.А.Плешкова, Е.В.Рома-	
н о в. О повышении достоверности показаний базисных фото-	
метров Φ И-I при расоте в составе автоматической метеостан-	
HMM	57
А.А.А фанасьев, Е.В.Романов. Полуавтома-	
тическое кодирование групп явлений погоды в метеоооообщениях	
автоматических аэродромных станций	62
С.М.Персин, В.И.Лайктман. Характеристики	
изменчивости поля метеорологической оптической дальности	MT
(МОД) в оптически неоднородной атмосфере	71
В.И.Лайхтман, С.М.Персин. Исследования	
структуры поля дальности видимости одиночного огня в опти-	05
чески неоднородной атмосфере	85
Л.С.М ордовина. О возможности получения информа-	
ими о метели с помощью измерения электрического тока	99
С.М.Персин, Л.А.Щепановская. Обизме-	
рениях турбулентных потоков двумя комплектами пульсационной	109
аппаратуры в приземном слое атмосферы	103
Т.П.Грибова, Л.А.Грошева. Обуточнении	
алгоритмов пространственного контроля режимной метеорологи-	II9
ческой информации на ЕС ЭВМ	
Э.Г.Б огданова. Использование связей между раз-	
личными метеорологическими характеристиками в алгоритмах из	
внутристанционного контроля (на примере атмосферных осад-	125
KOB)	

Л.Ф.Ш к о л я р. Об опите критического контроля ре-	
зультатов наблюдений за влажностью воздуха	I 35
Т.П.Грибова. О восстановлении значений темпера-	
туры почвы на глубинах под естественным покровом при авто-	
матизированном контроле информации	I40
В.С.Копычева, Т.П.Светлова. О возмож-	
ности получения осредненных по площади величин при контроле	
режимной метеорологической информации	I47
и.В.Колотовкин, В.В.Осипова, Е.А.Фе-	
д о р о в а. Автоматизированная обработка данных радиоме-	
теорологических станций М-107	I 55
Л.С.Мордовина, Е.Е.Федорович. Сопо-	
ставление методов приведения атмосферного давления, приме-	
няемых в международной оперативной практике	I6I
Б.М.Ильин, Е.Е.Федорович, Е.Н.Чури-	
н а. Опыт использования сплайн-функций для расчета клима-	
тических характеристик суммарной радиации по данным срочных	
актинометрических наблюдений	I69
Г.П.Резников. Прецизионные вычисления гигро-	
метрических величин с применением программируемых микро-	
калькуляторов (формулы)	I82

Сборник научных трудов

Труды ІТО

вып.523

МЕТОДИКА И ТЕХНИЧЕСКИЕ СРЕДСТВА ОБЕСПЕЧЕНИЯ МЕТЕОРОЛОГИЧЕСКИХ НАБЛЮДЕНИЙ

Редактор В.И.Кузьменко

H/K

Подписано в печать 28.I2.88. М-27242. Формат 60х88/I6. Бумага офсетная. Печать офсетная. Усл.-печ. л. I2,09. Усл.кр.-отт.I2,32. Уч.-изд.л. I2,I8. Тираж 500 экз. Индекс МОЛ-IIO. Заказ 94 Цена 85 коп. Заказное.

Гидрометеоиздат, 199226, Ленинград, В.О., ул.Беринга, д.38. Московская типография № 9 НПО "Всесоюзная книжная палата" Госкомиздата СССР.

109033, Москва, Ж-33, ул. Волочаевская, д.40.